



FH | JOANNEUM
University of Applied Sciences

Engineering Knowledge Transfer Units to Increase
Student's Employability and Regional Development

การสอน “พื้นฐานพลศาสตร์ยานยนต์” 1

by Dr. Karl Reisinger

ข้อมูลเบื้องต้น, ยางรถ, พลศาสตร์ตามยาว

สำหรับใช้ในการศึกษาเท่านั้น*



Co-funded by the
Erasmus+ Programme
of the European Union

This project has been funded with support from the European Commission. This publication reflects the views only of the author, and the Commission cannot be held responsible for any use which may be made of the information contained therein.598710-EPP-1-2018-1-AT-EPPKA2-CBHE-JP

FH-Joanneum GmbH.

University of Applied Sciences, Graz, Austria



สถาบันวิศวกรรมยานยนต์

- หลักสูตรปริญญาตรี
- หลักสูตรปริญญาโท

Dr. Karl Reisinger

Assoz. Prof.(FH)

- พลศาสตร์ยานยนต์
- เมคคาทรอนิกส์



Co-funded by the
Erasmus+ Programme
of the European Union

Dr. Karl Reisinger

FH | JOANNEUM
University of Applied Sciences

Content of Slot 1 + 2

- เราจะสอนไดนามิกยานยนต์ในหลักสูตรปริญญาตรีและปริญญาโทของ **UAS Graz** ได้อย่างไร

- **การนำเสนอ**

- จุดมุ่งหมาย, คุณสมบัติหลักสูตร, สถานที่ในหลักสูตร
- เนื้อหา — ภาพรวมพร้อมตัวอย่าง
 - พฤติกรรมของยาง, ไดนามิกตามยาว, พลวัตด้านข้าง, ไดนามิกแนวตั้ง

ยินดีรับฟังคำถาม,
ในขณะที่กำลังนำเสนอ

- **การประชุม สนทนาในกลุ่ม**

- การนำเสนอและการอภิปราย

จุดมุ่งหมายของหลักสูตรพลศาสตร์ยานยนต์



นักศึกษาในระดับปริญญาตรีต้องรู้...

- รถเคลื่อนที่ได้ได้อย่างไร?
ความรู้พื้นฐาน, เงื่อนไข, วิธีการ
- ยางเท่านั้นที่สัมผัสกับถนน!
 - **Primary spring**
 - **No Force w/o Slip**
 - พฤติกรรมไม่เชิงเส้น
 - รวมยาว. และแรงข้างเคียง
- **Longitudinally**
 - แรงต้าน, การสร้างแบบจำลอง
 - การถ่ายโอนโหมลตามยาว
 - กำลังเครื่องยนต์, ความเร็ว, สำหรับการเคลื่อนที่แบบเร่ง, การใช้พลังงาน
 - โมเดลจำลองไปข้างหน้าและข้างหลัง

นักศึกษาในระดับปริญญาโทต้องรู้...

- จะทำให้รถเร็วขึ้นและประหยัดได้อย่างไร?
ความรู้ปริญญาตรีแต่ลึกซึ้ง
- พฤติกรรมของยางภายใต้น้ำหนักบรรทุกรวมและรุ่นต่างๆ
 - **TM-Easy by Hirschberg-Rill**
 - แนวทางของ **Pacejka's** ในหลักการ



จุดมุ่งหมายของหลักสูตรพลศาสตร์ยานยนต์ 2



นักศึกษาในระดับปริญญาตรีต้องรู้...

- รถเคลื่อนที่ได้ได้อย่างไร?
ความรู้พื้นฐาน, เงื่อนไข, วิธีการ
- **Laterally**
 - สมการเพื่อรับ ODE รุ่น Single Track ที่มีค่าคงที่, ความเร็ว.
 - การทดสอบที่จะได้รับชั่วคราว และพฤติกรรมของสภาวะคงตัว.
 - **Under-/Oversteering**
- **Vertically**
 - **Parameters for Comfort**
 - อธิบายความขรุขระของถนน

นักศึกษาในระดับปริญญาโทต้องรู้...

- จะทำให้รถเร็วขึ้นและประหยัดได้อย่างไร?
ความรู้ปริญญาตรีแต่ลึกซึ้ง
- **Laterally**
 - การถ่ายโอนโหมลดด้านข้าง
 - ขับรอบที่เร็วที่สุด
 - **G-g-diagram and Milliken-Moments-Diagram**
- **Ride – Vertical Dynamics**
 - ค้นหาสปริงช่วงล่างและแดมเปอร์ที่เหมาะสมที่สุดในแง่ของความสบาย, ความปลอดภัยในการขับขี่และอากาศพลศาสตร์

จุดมุ่งหมายของหลักสูตรพลศาสตร์ยานยนต์ 3



นักศึกษาระดับปริญญาตรีต้องรู้...

- รถเคลื่อนที่ได้ได้อย่างไร?
ความรู้พื้นฐาน, เงื่อนไข, วิธีการ
- วิธีการจำลองสถานการณ์
 - การจำลองย้อนหลัง (**Matlab**)
 - การจำลองไปข้างหน้า (**Simulink**)
 - โปรแกรมเชิงพาณิชย์ส่งอะไร จำนวนพารามิเตอร์ (**veDYNA/TESES**)

นักศึกษาระดับปริญญาโทต้องรู้...

- จะทำให้รถเร็วขึ้นและประหยัดได้อย่างไร?
ความรู้ปริญญาตรีแต่ลึกซึ้ง
- วิธีการจำลองสถานการณ์
 - เวลารอบโดยใช้แบบจำลอง 1 **DOF** และ **g-g-diagram (Matlab)**
 - **Using AVL/VSM:** การระบุพารามิเตอร์โดยใช้ข้อมูลที่วัดได้, การจำลองเวลารอบ, การวิเคราะห์ความไว, การเพิ่มประสิทธิภาพพลังงาน

คุณสมบัติสำหรับหลักสูตร



หลักสูตรปริญญาตรี

- **5th semester, 2 ECTS**
 - บรรยาย 20 ชม. 4 แนวทางปฏิบัติ
- หลักสูตรก่อนหน้าที่จำเป็น
 - คณิตศาสตร์วิศวกรรม
 - พื้นฐานในกลศาสตร์/ไดนามิก
 - ลักษณะของไดรฟ์ไฟฟ้า
 - **Matlab/Simulink**
 - เครื่องยนต์สันดาปภายใน
- ควบคู่ไปกับหลักสูตรนี้
 - วิศวกรรมแชสซี
 - เทคโนโลยีขับเคลื่อนและขับเคลื่อน
 - ในการทดสอบรถยนต์

หลักสูตรปริญญาโท

- **3rd semester, 2 ECTS**
 - บรรยาย 20 ชม. 4 แนวทางปฏิบัติ
 - หลักสูตรก่อนหน้าที่จำเป็น
 - หลักสูตรปริญญาตรีของเรา หรือ
 - ปริญญาตรี วิศวกรรมเครื่องกล, วิศวกรรมเมคคาทรอนิกส์
- + Supplementary Exams in**
- **Matlab, Simulink,**
 - **Vehicle Dynamics & Chassis Eng.**



Engineering Knowledge Transfer Units to Increase
Student's Employability and Regional Development

ภาพรวมพฤติกรรมของยาง

วิธีทำความเข้าใจสลิป, ความไม่เชิงเส้นของยาง และผลกระทบ



What drives the car?

- ยางเป็นเพียงส่วนหนึ่งในการถ่ายเทแรงไปยัง
 - accelerate/brake
 - drive a turn



Tyre Production:

<http://www.youtube.com/watch?v=Li-MKobBg5w>

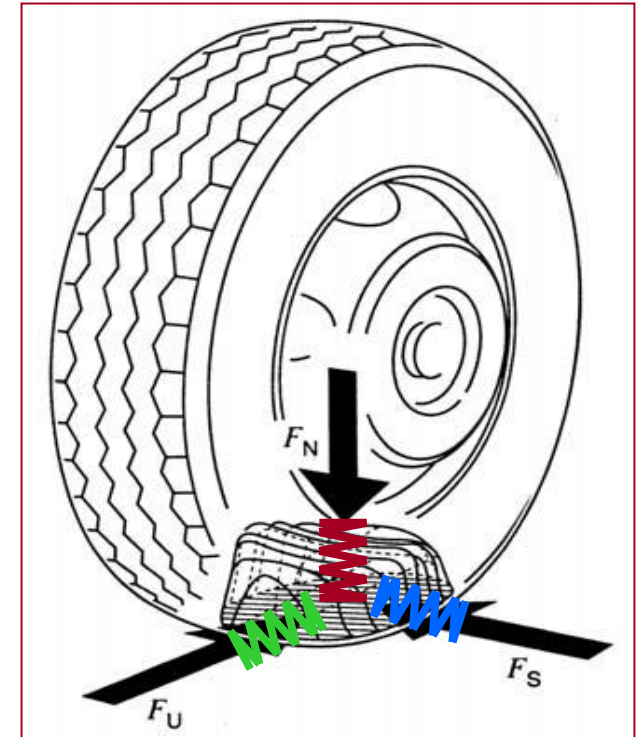
Bias-Ply Tyre vs. Radial Tyre

<http://www.youtube.com/watch?v=i0n8SK9V2s>



Tire = Primary Spring

- ... in 3 directions (3 DOF)
- **comfort**
 - กรองแรงสั่นสะเทือนจากท้องถนน
- แรงจุด
 - ช่วงล่างเคลื่อนไหวน้อยลง
 - ความแปรปรวนของน้ำหนักบรรทุกเล็กน้อยกว่า
- ประสิทธิภาพการหมุน
 - ปรับสมดุลความไม่สม่ำเสมอเล็กน้อย



Wheel with pressure distribution in contact area [Bosch02]

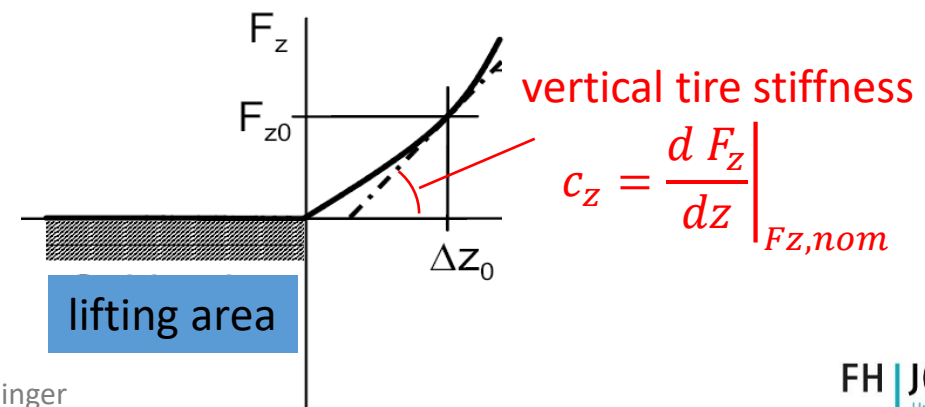
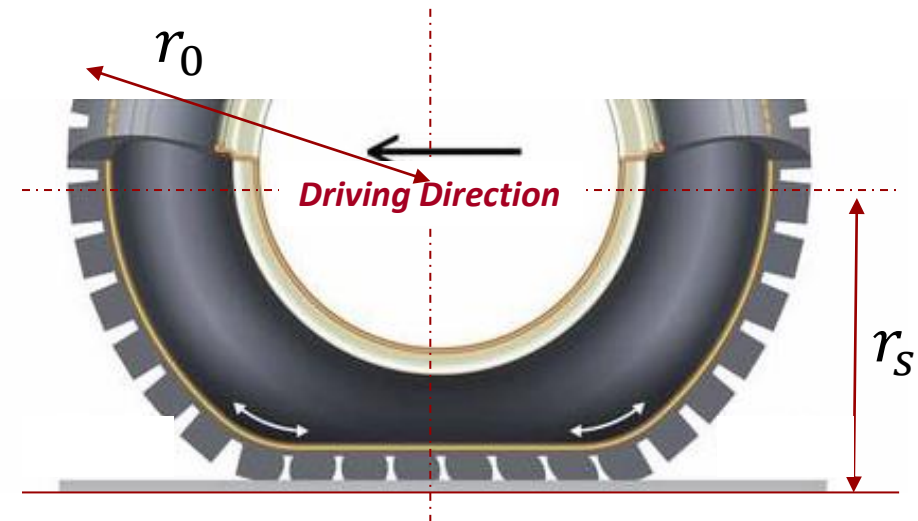


Tire Radii

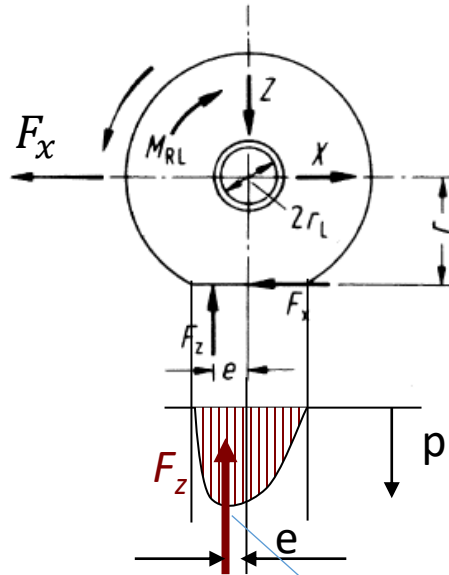
- Outer Radius r_0
- Static Loaded Radius r_s
- $r_s = f(F_z, p)$
- Effective Radius $r_e = \frac{U_{eff}}{2\pi}$
- $r_e = f(p, v)$
- Estimations¹⁾ $r_e \approx \frac{2r_0 + r_s}{3}$

1)

- Reimpel, Grundlagen der Fahrwerktechnik, Vogel 2000
- Rill G.: Road Vehicle Dynamics, CRC Press, 2011



Rolling Resistance Coefficient f_R



$$F_x \cdot r_e = F_z \cdot e$$
$$F_x = f_R \cdot F_z$$

- f_R depends on
 - tire radius
 - toe in, camber
 - pressure
 - road
 - asphalt, roughness, earth, sand, ...
 - speed
 - (Hub & brake friction)

Distribution of vertical load if rolling to left side

ระดับประสิทธิภาพของยาง

Reifen der Klasse C1		Reifen der Klasse C2		Reifen der Klasse C3	
CR in kg/t	Energieeffizienzklasse	CR in kg/t	Energieeffizienzklasse	CR in kg/t	Energieeffizienzklasse
$CR \leq 6,5$	A	$CR \leq 5,5$	A	$CR \leq 4,0$	A
$6,6 \leq CR \leq 7,7$	B	$5,6 \leq CR \leq 6,7$	B	$4,1 \leq CR \leq 5,0$	B
$7,8 \leq CR \leq 9,0$	C	$6,8 \leq CR \leq 8,0$	C	$5,1 \leq CR \leq 6,0$	C
–	D	–	D	$6,1 \leq CR \leq 7,0$	D
$9,1 \leq CR \leq 10,5$	E	$8,1 \leq CR \leq 9,2$	E	$7,1 \leq CR \leq 8,0$	E
$10,6 \leq CR \leq 12,0$	F	$9,3 \leq CR \leq 10,5$	F	$CR \geq 8,1$	F
$CR \geq 12,1$	G	$CR \geq 10,6$	G	–	G

195/65 R15 91 T
Autoreifen Winter



C1 .. Passenger Car, C2 .. Light Trucks, C3 .. Trucks

<https://ec.europa.eu/transparency/regdoc/rep/1/2009/DE/1-2009-348-DE-F2-1.Pdf>

Test procedure

[https://eur-lex.europa.eu/legal-content/EN/TXT/?qid=1570609195857&uri=CELEX:42011X1123\(03\)](https://eur-lex.europa.eu/legal-content/EN/TXT/?qid=1570609195857&uri=CELEX:42011X1123(03))

plain steel drum, $d_{Drum} = 2\text{ m}$, 25 °C , for C1 :
speed=80 km/h, $F_z=80\%$ of max. tire load

ระดับประสิทธิภาพของยางในอากาศยาน

C1 tyres		C2 tyres		C3 tyres	
<i>RRC in kg/t</i>	<i>Energy efficiency class</i>	<i>RRC in kg/t</i>	<i>Energy efficiency class</i>	<i>RRC in kg/t</i>	<i>Energy efficiency class</i>
$RRC \leq 5,4$	A	$RRC \leq 4,4$	A	$RRC \leq 3,1$	A
$5,5 \leq RRC \leq 6,5$	B	$4,5 \leq RRC \leq 5,5$	B	$3,2 \leq RRC \leq 4,0$	B
$6,6 \leq RRC \leq 7,7$	C	$5,6 \leq RRC \leq 6,7$	C	$4,1 \leq RRC \leq 5,0$	C
$7,8 \leq RRC \leq 9,0$	D	$6,8 \leq RRC \leq 8,0$	D	$5,1 \leq RRC \leq 6,0$	D
$9,1 \leq RRC \leq 10,5$	E	$8,1 \leq RRC \leq 9,2$	E	$6,1 \leq RRC \leq 7,0$	E
$RRC \geq 10,6$	F	$RRC \geq 9,3$	F	$RRC \geq 7,1$	F

C1 .. Passenger Car, C2 .. Light Trucks, C3 .. Trucks

<https://ec.europa.eu/transparency/regdoc/rep/1/2018/EN/COM-2018-296-F1-EN-ANNEX-1-PART-1.PDF> (2018)

195/65 R15 91 T

Autoreifen Winter



C



B



72dB

Comparison Sports to ECO-Tires, an estimation



- Vehicle Mass $m_{veh} = 1600$ kg
- neglect lift force
- Lifetime $L=44\ 000$ km¹⁾
 - 1 Litre petrol costs 1.20 €, fuel value $H_u = 11.5 \frac{\text{kWh}}{\text{kg}} \cdot 0.75 \frac{\text{kg}}{\text{l}}$, gives 2.32 kg CO₂
 - Mean efficiency of Spark Ignited Engine : approx. 25% in cycle
- Energy saves in kWh if you use Class B or Class E per 100 km
- How does consumption sink, l/100km?
- CO₂ saves in g/km?
- Safed money while lifetime?

1)

https://www.reifendirekt.at/FAQs/Fragen_rund_um_die_Produnkte_Fragen_zu_Reifen_Fragen_zum_Reifenalter.html#Fragen_rund_um_die_Produnkte_Fragen_zu_Reifen_Fragen_zum_Reifenalter-246

เครื่องทดสอบยางแทนเครื่อง



Tire in Testing Machine

http://www.youtube.com/watch?v=W8UiE7yvO_M&feature=related

<https://www.youtube.com/watch?v=dZhTdljr2Zc&feature=related>



Co-funded by the
Erasmus+ Programme
of the European Union

การทดสอบยางในสภาพถนนจริง

- สภาพถนนจริง
- ผลลัพธ์เปลี่ยนไปตามสภาพอากาศ
- ในการวัดตัวรถ
 - มุมเอียงไม่ได้กำหนดไว้อย่างดี
- เครื่องวัด-รถพ่วง,
- เครื่องวัด-รถบรรทุก



Tire Measurement Trailer

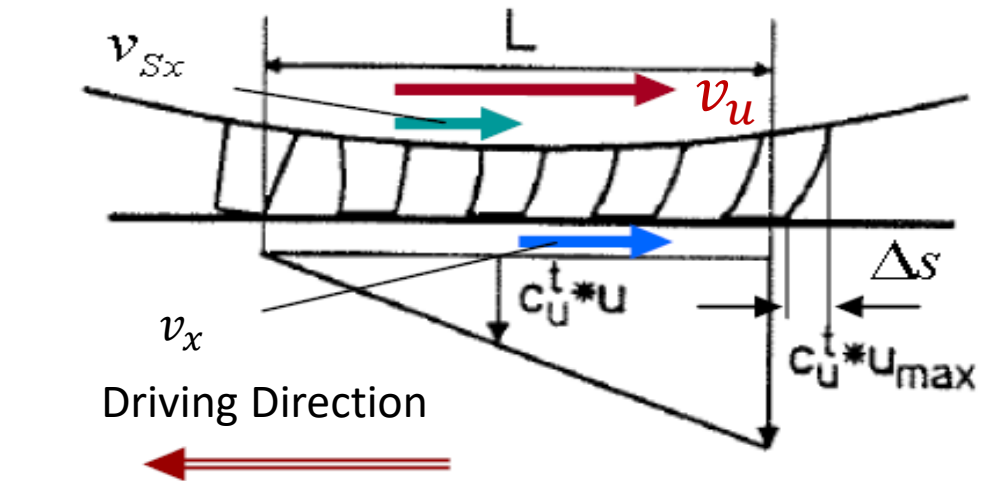


Measurement Truck: <http://www.fkfs.de>

Brush Model

- ไม่มีความเครียดโดยไม่ต้องเครียด → ไม่มีแรงลมยางไม่ลื่น!
- ล้อที่ขับเคลื่อนด้วยจะหมุนเร็วกว่าที่ไม่ขับเคลื่อน
- ล้อเบรคหมุนช้าลง
- Brush model
 - treat element **front** position: **unloaded and undeformed**
 - rubber deforms due to load within the print front to rear
 - circumference speed $v_u = r_e \cdot \omega$
 - Different to the speed of the wheel centre.
 - While wheel centre moves print length L , the tire has to move by Δs more to „load“ the rubber.
- **NO SLIP – NO GRIP**

Example: Wheel with drive torque, not braking



Rel. velocities seen from wheel centre

Tire Slip

$$r_e \cdot \omega = v_{wheel} + v_{sx}$$

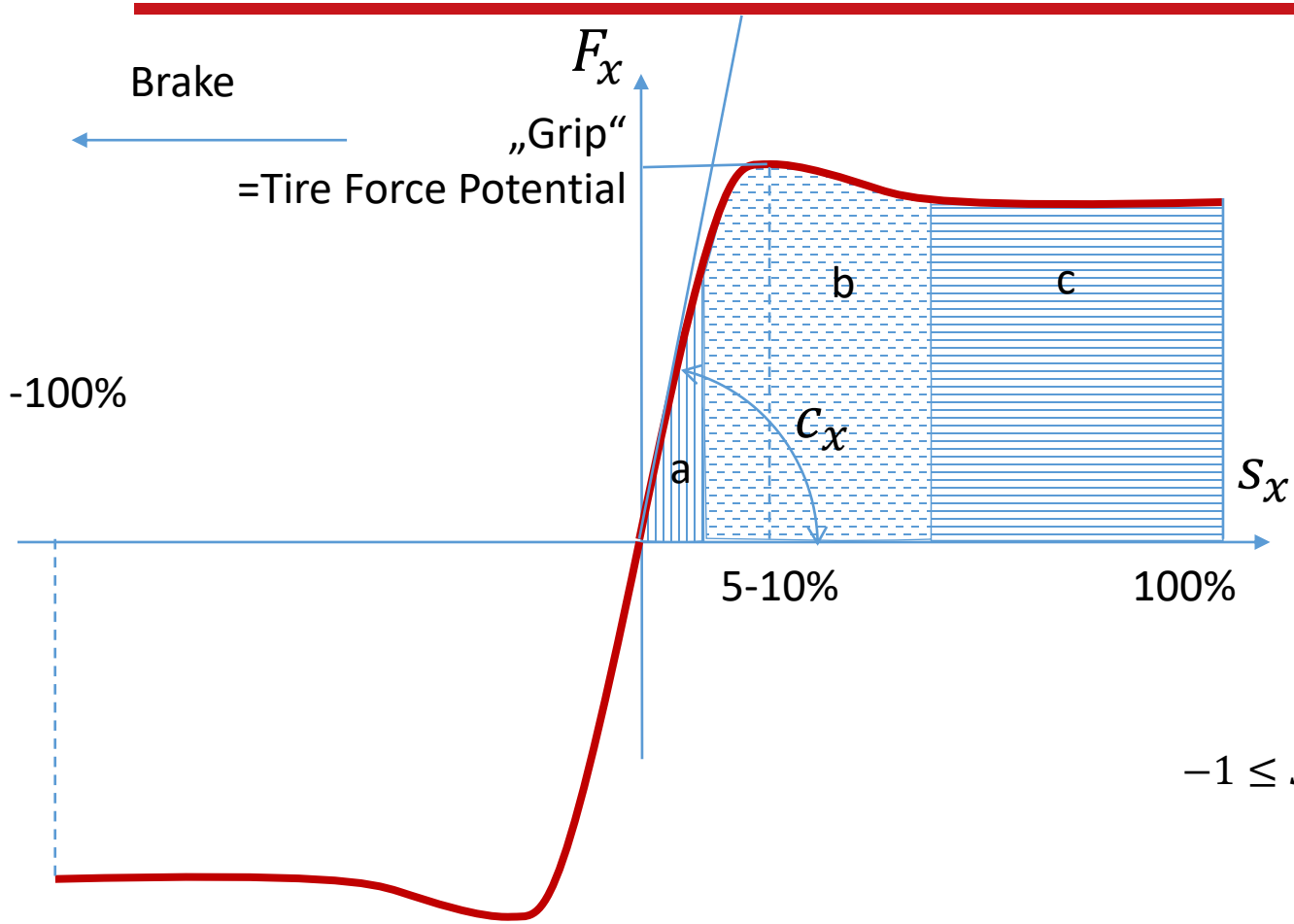
- v_x ... rim centre velocity over ground
 - $v_x = v_{veh}$ without steering, driving straight forward

- v_{Sx} ... Slip velocity

$$-1 \leq S_x \leq 1, S_x = \begin{cases} \frac{r_e \cdot \omega - v_x}{r_e \cdot \omega} & \dots \text{drive mode} \\ 0 & \dots \text{rolling with rolling resistance} \\ \frac{r_e \cdot \omega - v_x}{v_x} & \dots \text{thrust mode or braking} \end{cases} = \frac{r_e \cdot \omega - v_x}{\max(r_e \cdot \omega, v_x, eps)}$$

- S_x ... Slip according Mitschke/Wallentowitz
- eps ... small number to avoid div. by zero at stillstand.

ลักษณะของแรงลื่นของยาง



- F_x ... longitudinal force transferred in print
- s_x ... longitudinal slip
- Rolling: $s_x = 0$ by definition of r_e
- $c_x = \frac{dF_x}{ds}$... Long. Tire slip stiffness for lin. models
- $\mu_x(s_x) = \frac{F_x}{F_z}$... tire force coefficient

- Mitschke/Wallentowitz:

$$-1 \leq S_x \leq 1, S_x = \begin{cases} \frac{r_e \cdot \omega - v_x}{r_e \cdot \omega} \dots \text{thrust mode} \\ 0 \dots \text{rolling with rolling resistance} \\ \frac{r_e \cdot \omega - v_x}{v_x} \dots \text{coast down or braking} \end{cases}$$

Lateral Slip = Side Slip

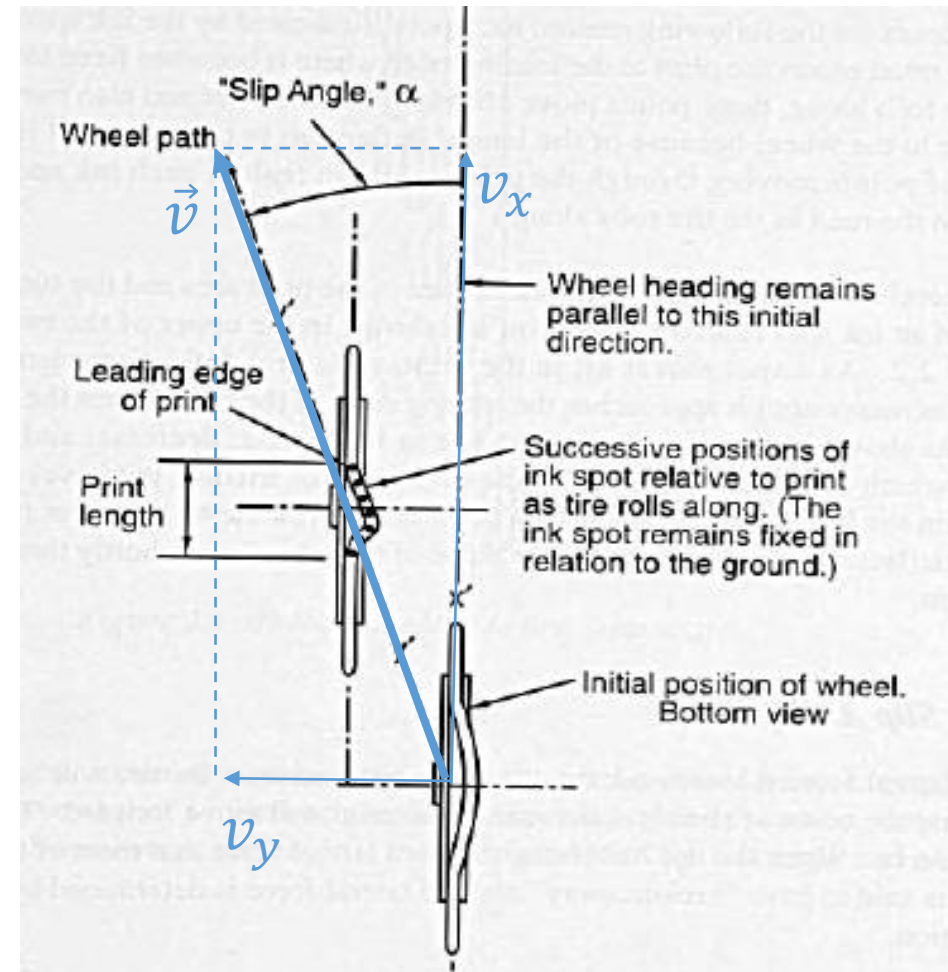
- Side Slip

$$s_y = \frac{v_y}{v_x}$$

- Side Slip Angle α

$$\tan(\alpha) = s_y$$

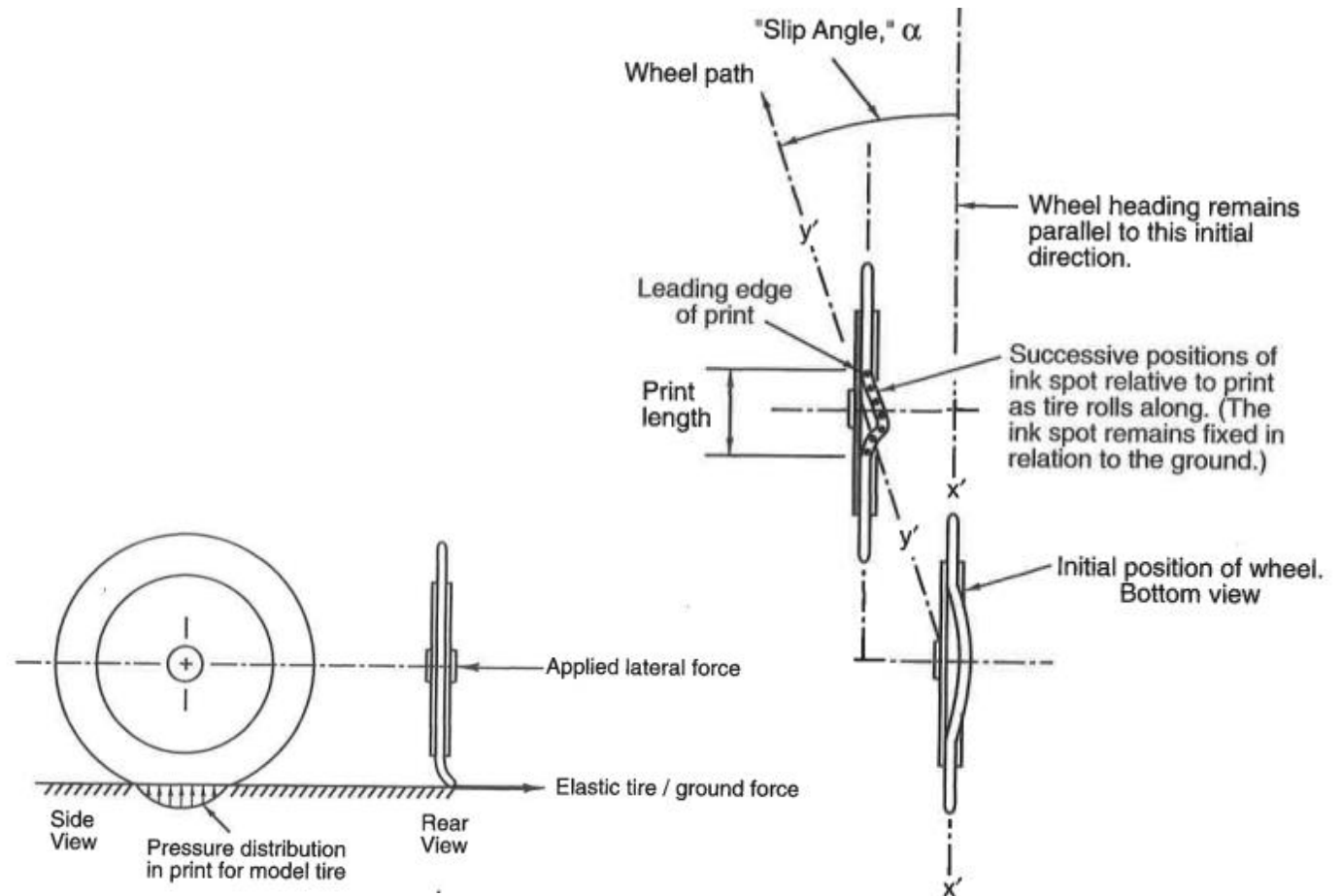
- Self alignment torque
->the lateral force distribution



GM Wheel [Milliken95]

Tyre Slip in x and y

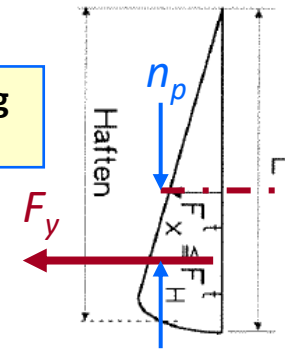
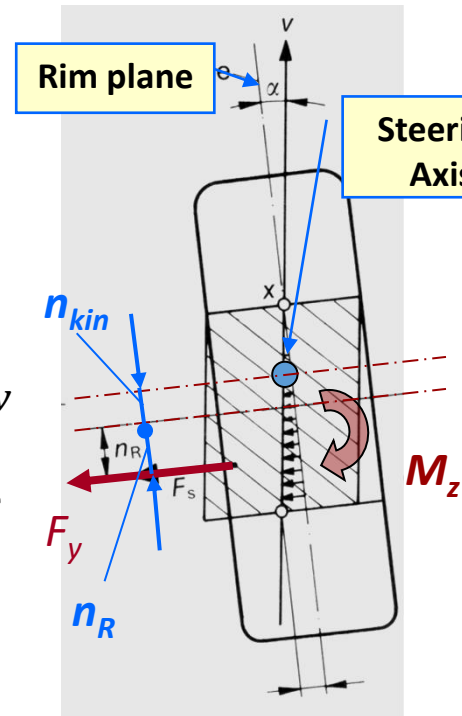
- no stress without strain
 - no force transfer without deformation
- deformation of a rolling wheel makes wheel slip
 - regular slip is not skidding of rubber on road surface!



[Milliken W., Milliken D.: Race Car Vehicle Dynamics, SAE 1995]

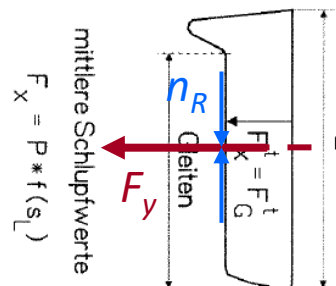
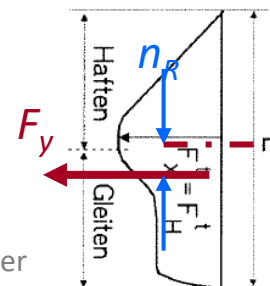
Self Aligning Torque M_z due to Lat. Force

- $M_z = F_y \cdot (n_p + n_{Kin})$
 - $F_y = \int_{x=0}^L \frac{dF_y}{dx} dx$
is not symmetrically distributed!
- tire trail, (pneumatic) trail n_p
 - $n_R \cong \frac{1}{6} \cdot L$, L ... print length at low F_y
 - n_p decreases if the max. friction potential was reached in areas of the print
 - M_z is a good feedback to the driver for road friction (less if slippery)
- kinematic trail n_{Kin}
 - due to steering geometry
 - given by the engineer



- small side force
- Print sticks totally on road
 - Linear distribution
 - $n_p \cong \frac{L}{6}$

- high side force
- Tire sticks within the front area, slides after reaching a maximum
 - Squeezing
 - Resultant side force moves forward



große Schlupfwerte
 $F_x = F_G$

mittlere Schlupfwerte
 $F_x = P * f(s)$

ทางเรขาคณิต

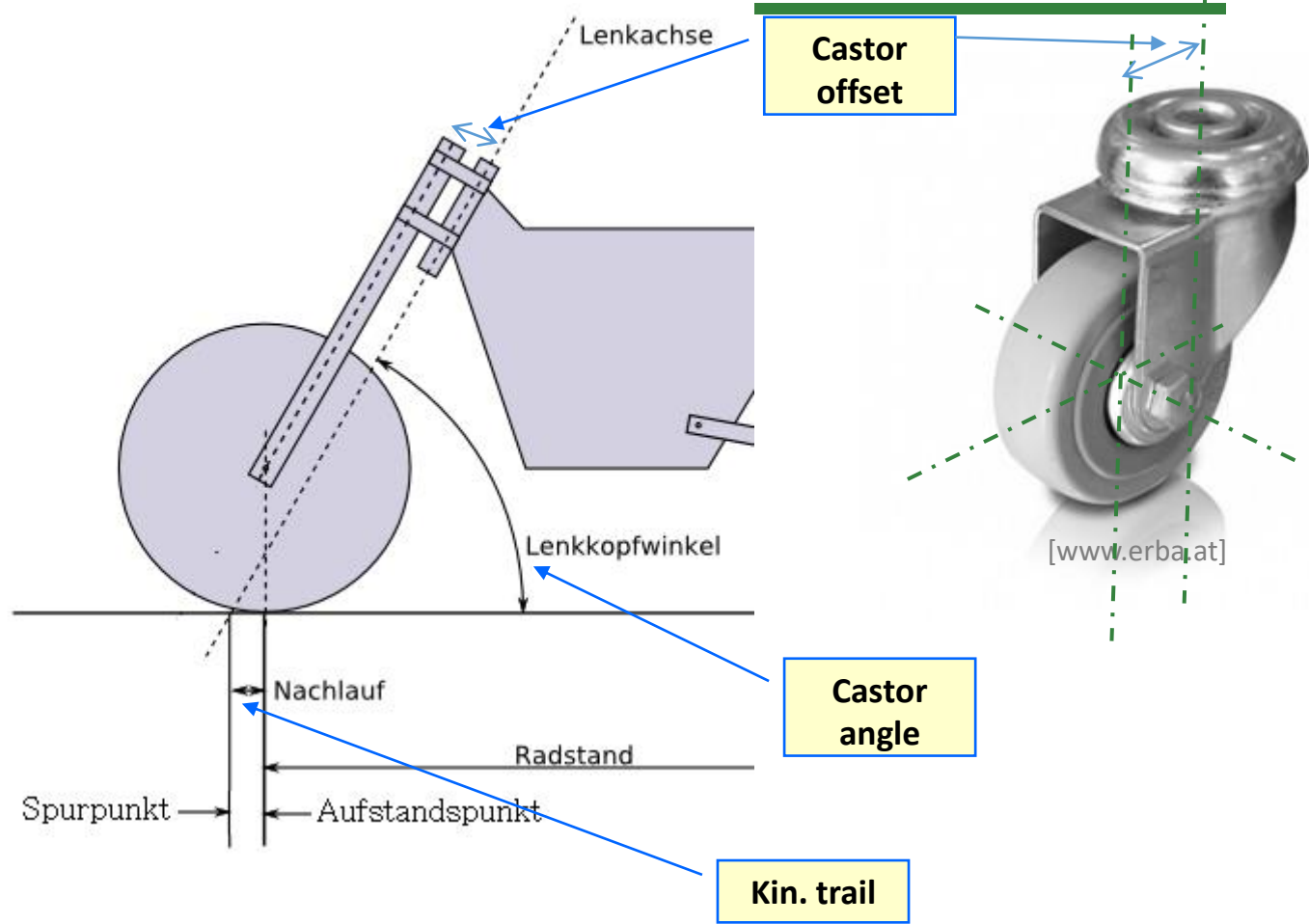
- = kinematic trail, mechanical trail,
Caster(Am.),Castor(Brit.)

- ระยะห่างระหว่างศูนย์กลางล้อที่ฉายไปยังถนนถึงทางแยกของแกนบังคับเลี้ยวและถนน

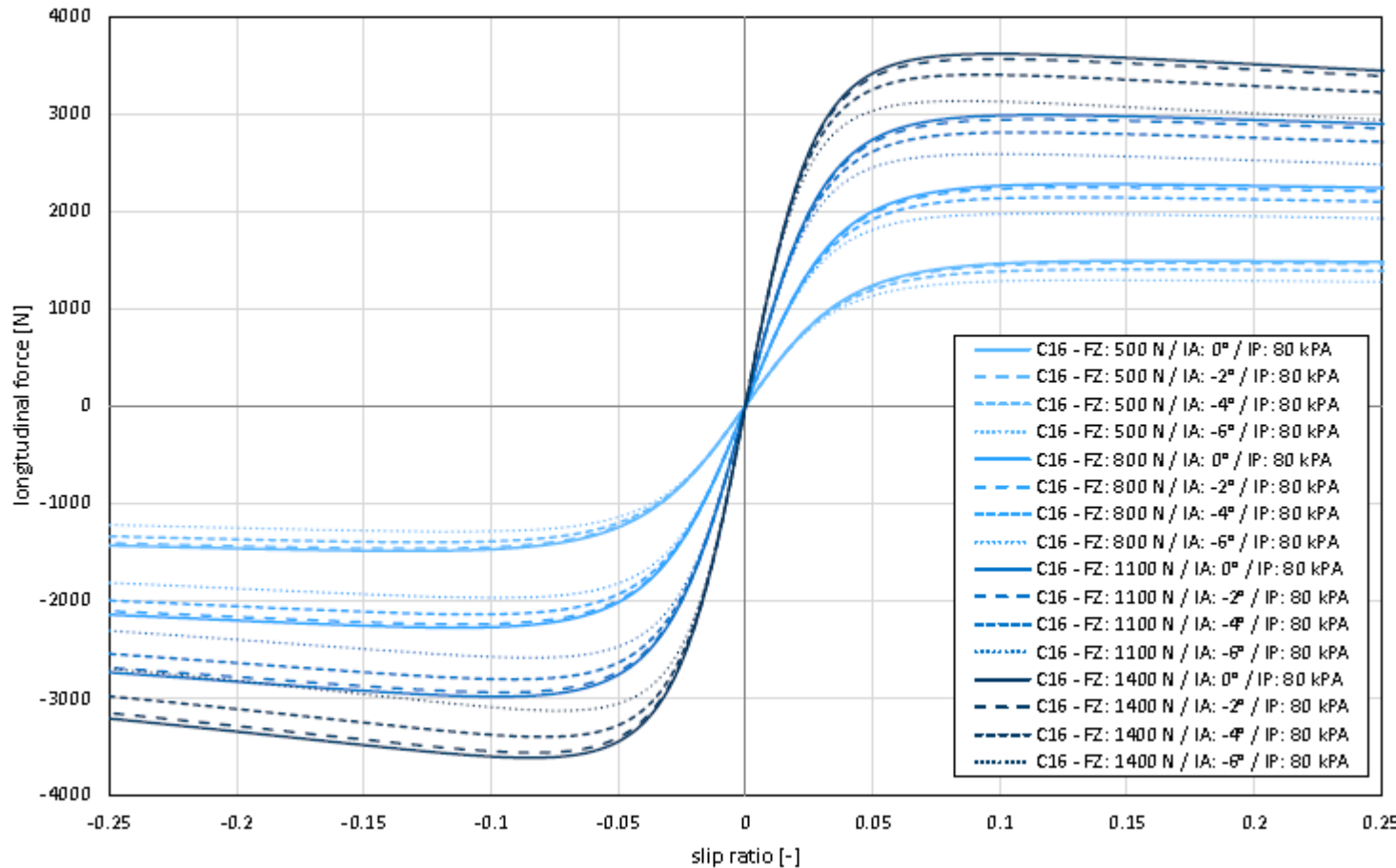
- Given by

- Caster offset
- Caster angle

$$n = n_R + n_G$$



การพียงพาโหลดล้อ



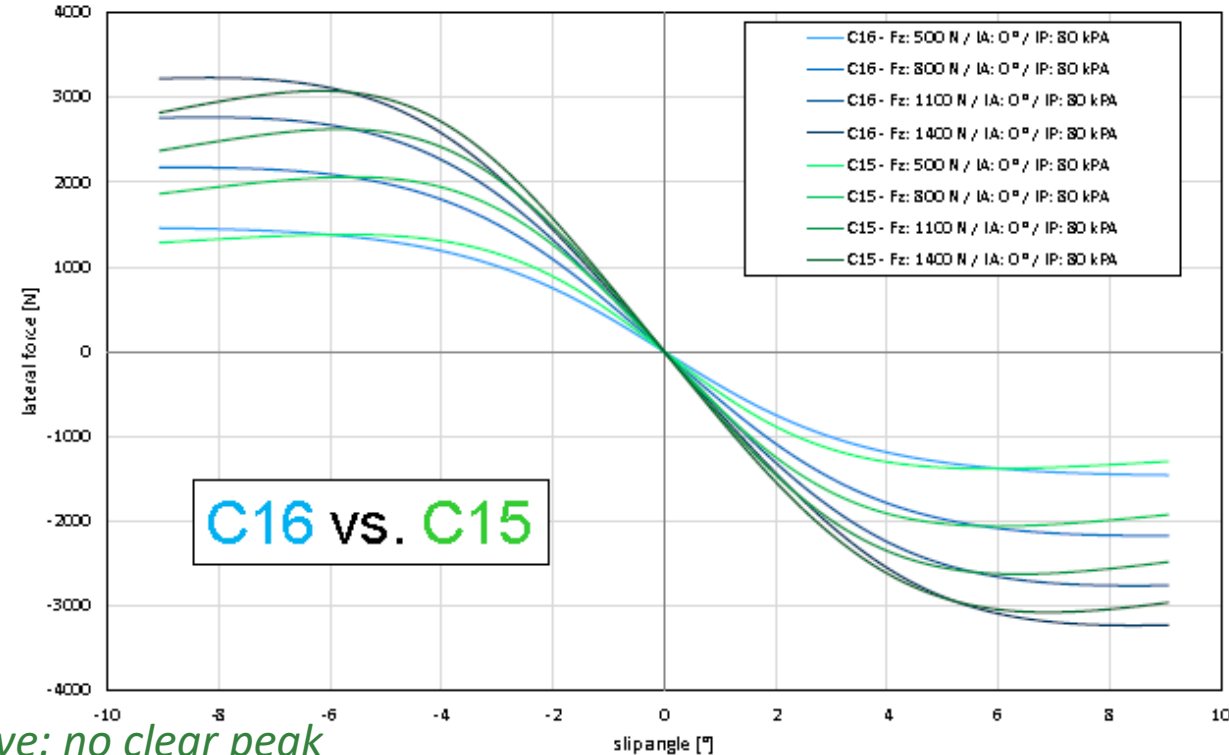
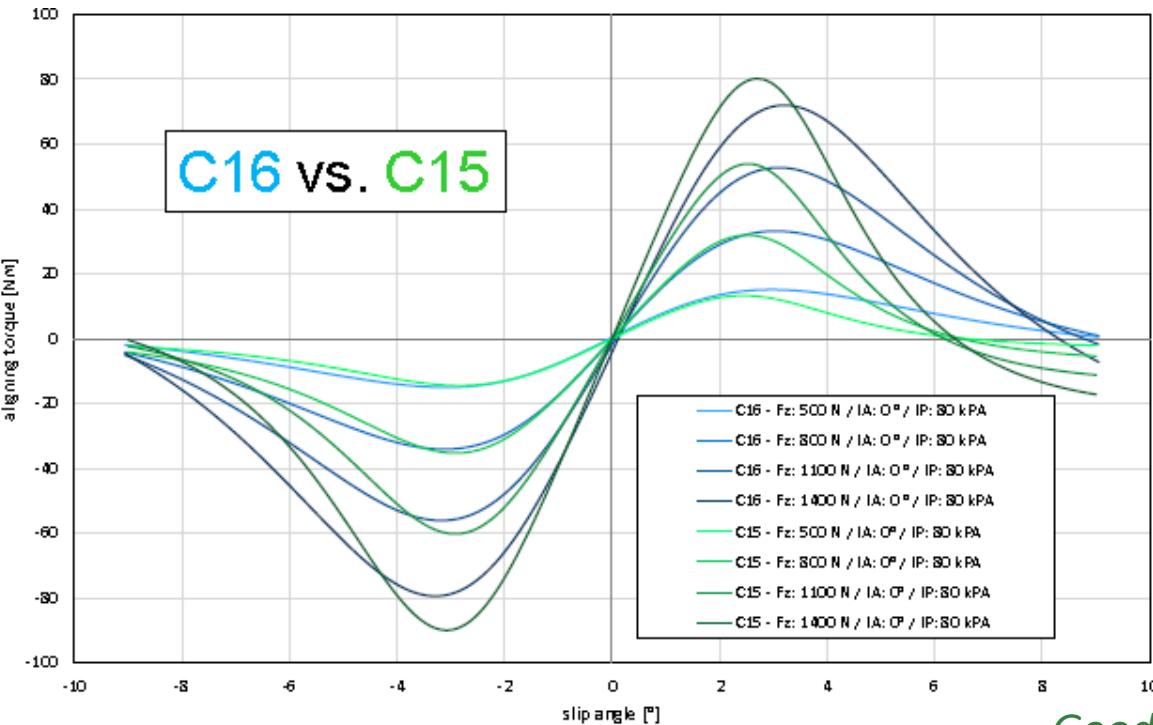
• ไม่เชิงเส้น!

- หากคุณเพิ่มโหลดเป็นสองเท่า คุณจะ
ได้รับแรงน้อยกว่าสองเท่า

$$F_x(2 \cdot F_z) < 2 \cdot F_x(F_z)$$
$$\mu_x(2 \cdot F_z) < \mu_x(F_z)$$

ทิศทางด้านข้างเหมือนกัน!

แรงบิดในการจัดตำแหน่งตัวเองและแรงด้านข้าง



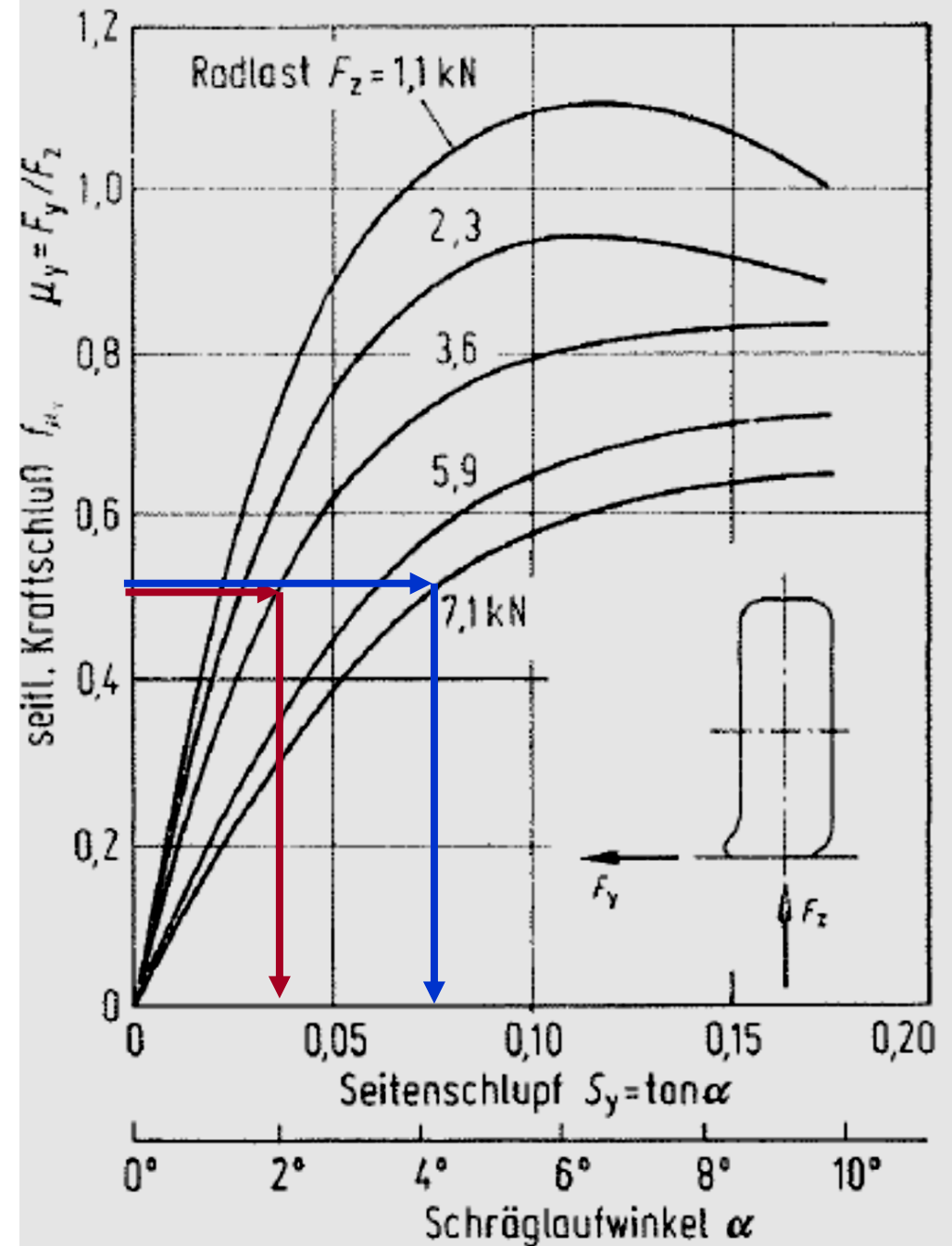
Source: Continental
C15, C16 2 types of Formula S Racing tires

Good to drive: no clear peak
Self Alignment Torque = Feedback to driver about grip μ_{max} !
Nonlinearity about Fz:
„You loose more at inner side, than you gain in outer side“

อิทธิพลของการกระจายน้ำหนักล้อซ้ายขวา

- ตัวอย่าง
 - 1st axle:** โหลดเท่ากันซ้ายและขวา
 - Roll torque is transferred by 2nd axle
 - $F_{z1}=F_{z2}=3600\text{N}$,
 - $F_{y1}=F_{y2}=1800\text{N}$,
 - $\mu_y=F_y/F_z=0.5$
 - $\rightarrow\alpha=2^\circ$
 - 2nd axle:** ล้อด้านในแทบจะยกขึ้น
 - $F_{z1}=7200\text{N}$, $F_{z2}=0\text{ N}$
 - $F_{y1}=3600\text{N}$, $F_{y2}=0$
 - $\mu_{y1}=F_{y1}/F_{z1}=0.5$
 - $\rightarrow\alpha=4^\circ$
- เพลามีน้ำหนักบรรทุกต่างกันมากจะมีสลิปด้านข้างมากกว่า
 - Influenced by Anti Roll Bar.

Seitenkraftkennfeld
[Mitschke04]



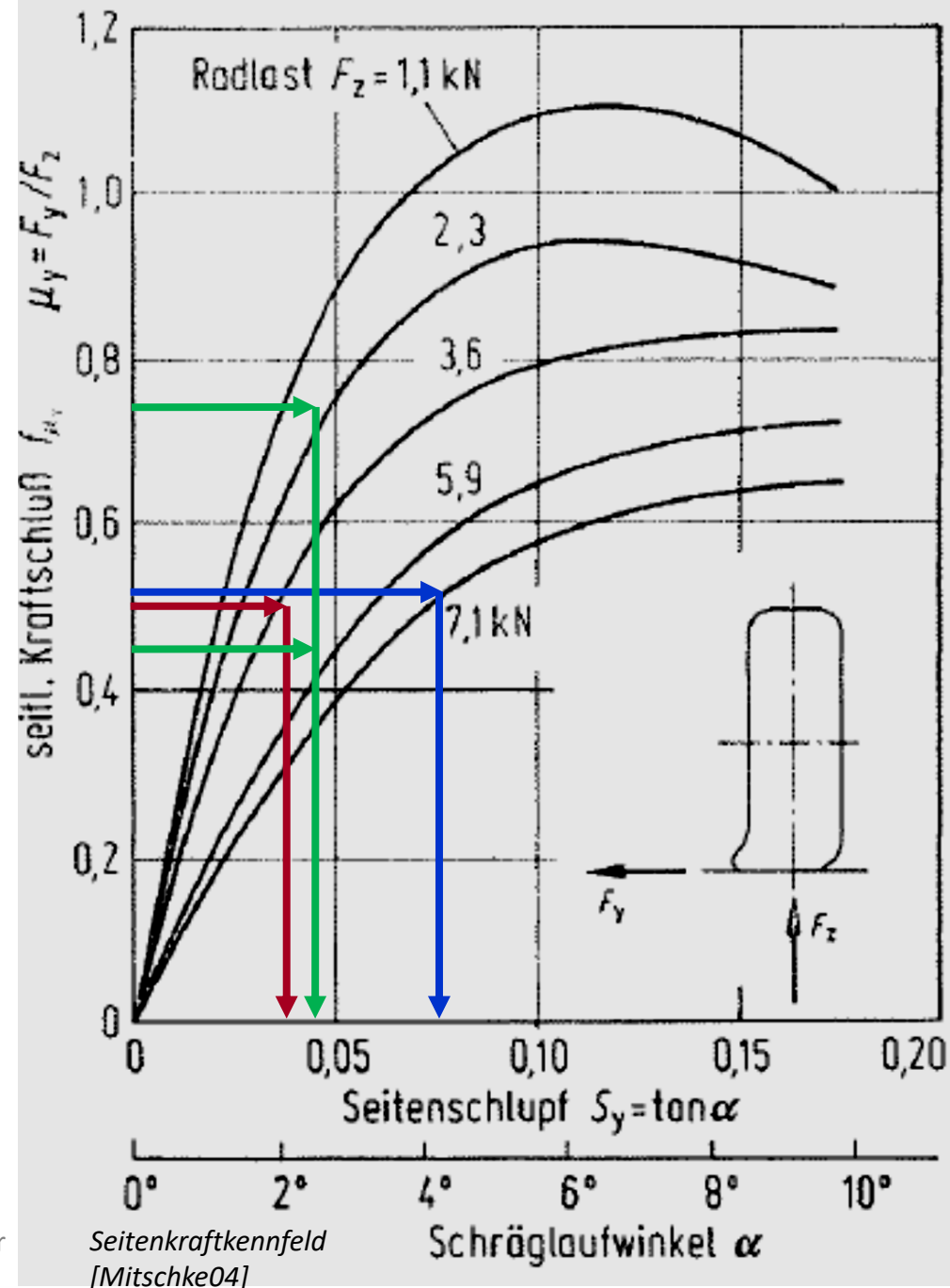
อิทธิพลของการกระจายน้ำหนักล้อ ซ้ายขวา

Other Suspension:

Roll moment is transferred 50% / 50% front and rear axle

- Front and rear axle are loaded equally.
- $F_{z,i} = F_{z,stat} \pm \Delta F_z$
- VA und HA: $F_{z1}=5400$ N, $F_{z2}=1800$ N
- Sum of lat. tire forces at one axle is given

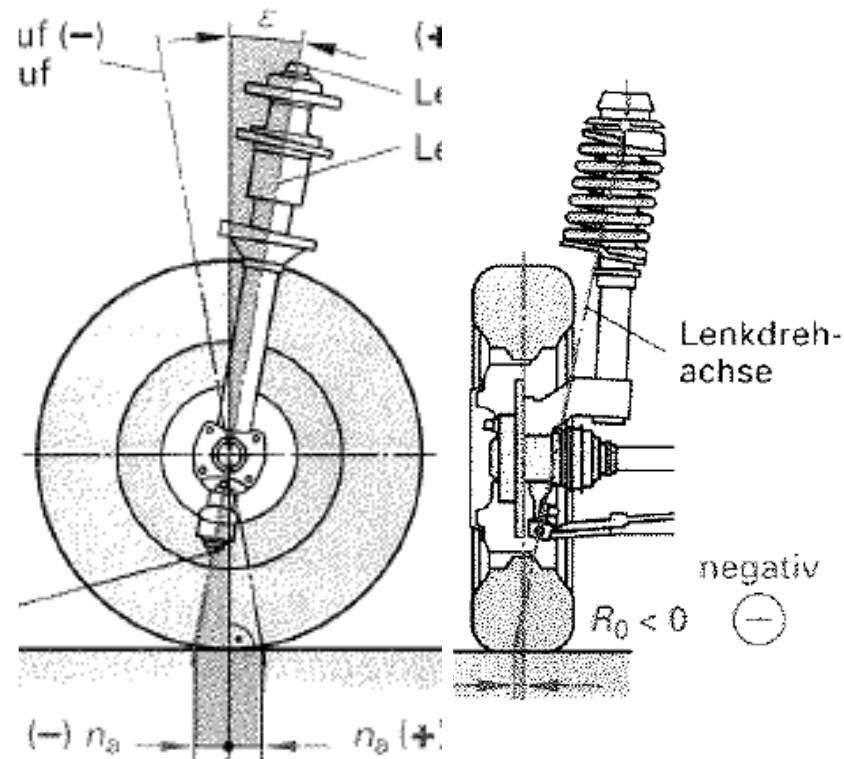
$$m_{Axle} \cdot a_y = F_{y1} + F_{y2} = 3600$$
 N
- Same tire slip angle left and right, because the wheels are connected by the car (exact at wide curves)
- We search the slip, where $F_{y1} + F_{y2} = 3600$ N
- $F_{y1}=0.42 \cdot 5400$, $F_{y2}=0.73 \cdot 1800$
 $\rightarrow \alpha = 2.5^\circ$



Cause of Wheel Steering Moment M_z

จากแรงข้างยาง

- castor angle
- castor offset
- Kinematic Trail
- pneumatic trail

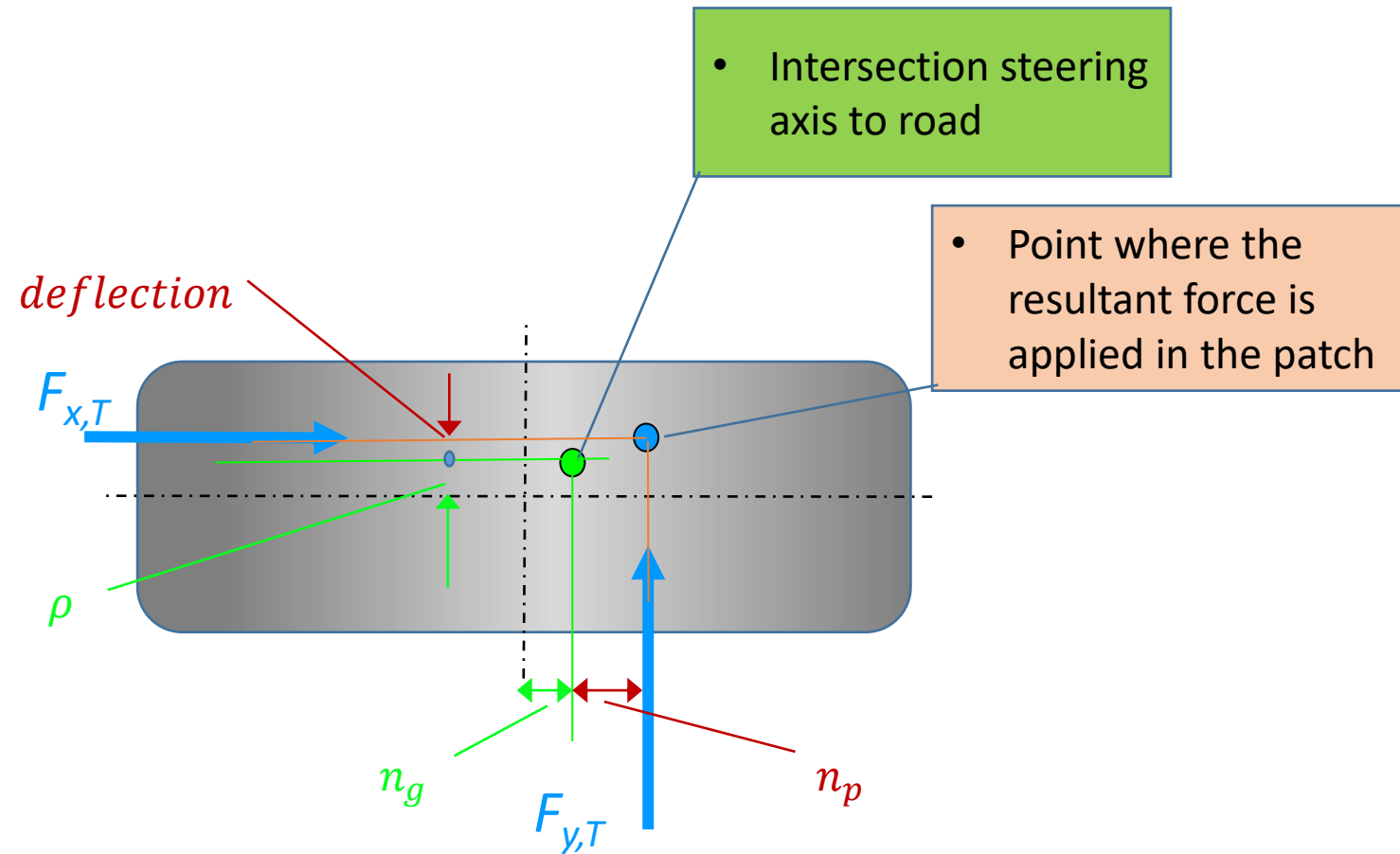


[Reimpel00]

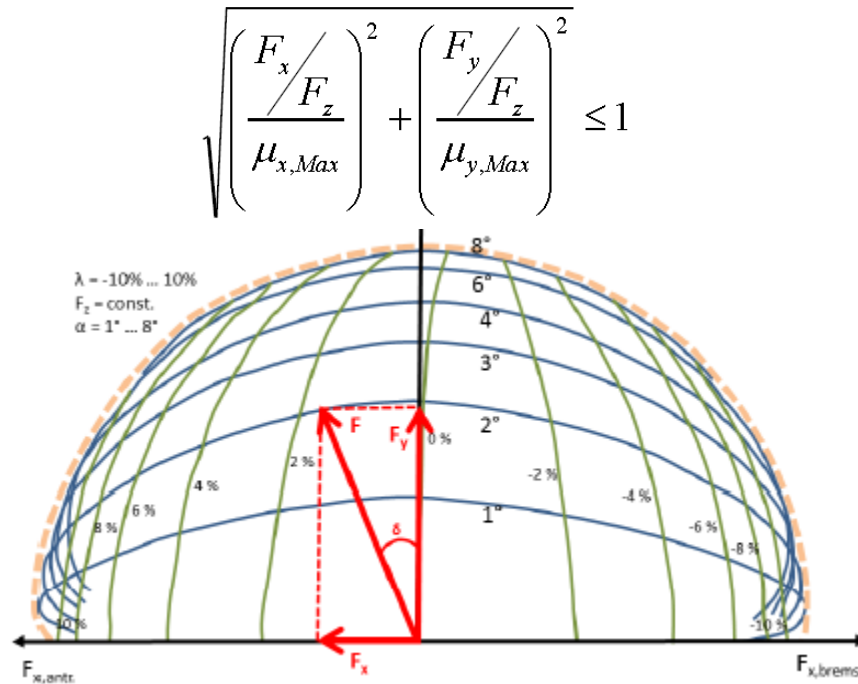
จากแรงตามยาวของยาง

- king pin inclination angle
- king pin offset
- Scrub Radius
- tire deformation

โมเมนต์บังคับพวงมาลัยเนื่องจากแรงรวม



“วงกลมแรงเสียดทานของ Kamm’s”



• Wunibald Kamm, 1893 - 1966

- ผลรวมเรขาคณิตของแรงตามยาวและแรงด้านข้างต้องอยู่ภายในวงกลม

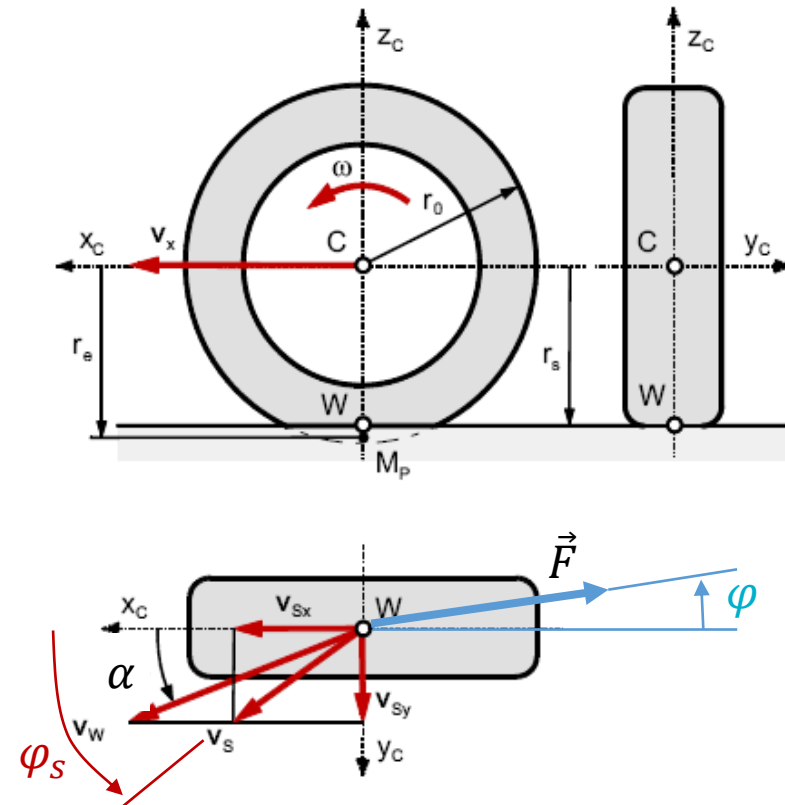
• (Krempel's improvement)

- $F_{y,max} < F_{x,max}$
- โดยปกติสิ่งนี้เรียกว่าวงกลมแรงเสียดทานของ Kamm's

$$\sqrt{\left(\frac{\mu_x}{\mu_{x,max}}\right)^2 + \left(\frac{\mu_y}{\mu_{y,max}}\right)^2} \leq 1, \mu_i = \frac{F_i}{F_z}$$

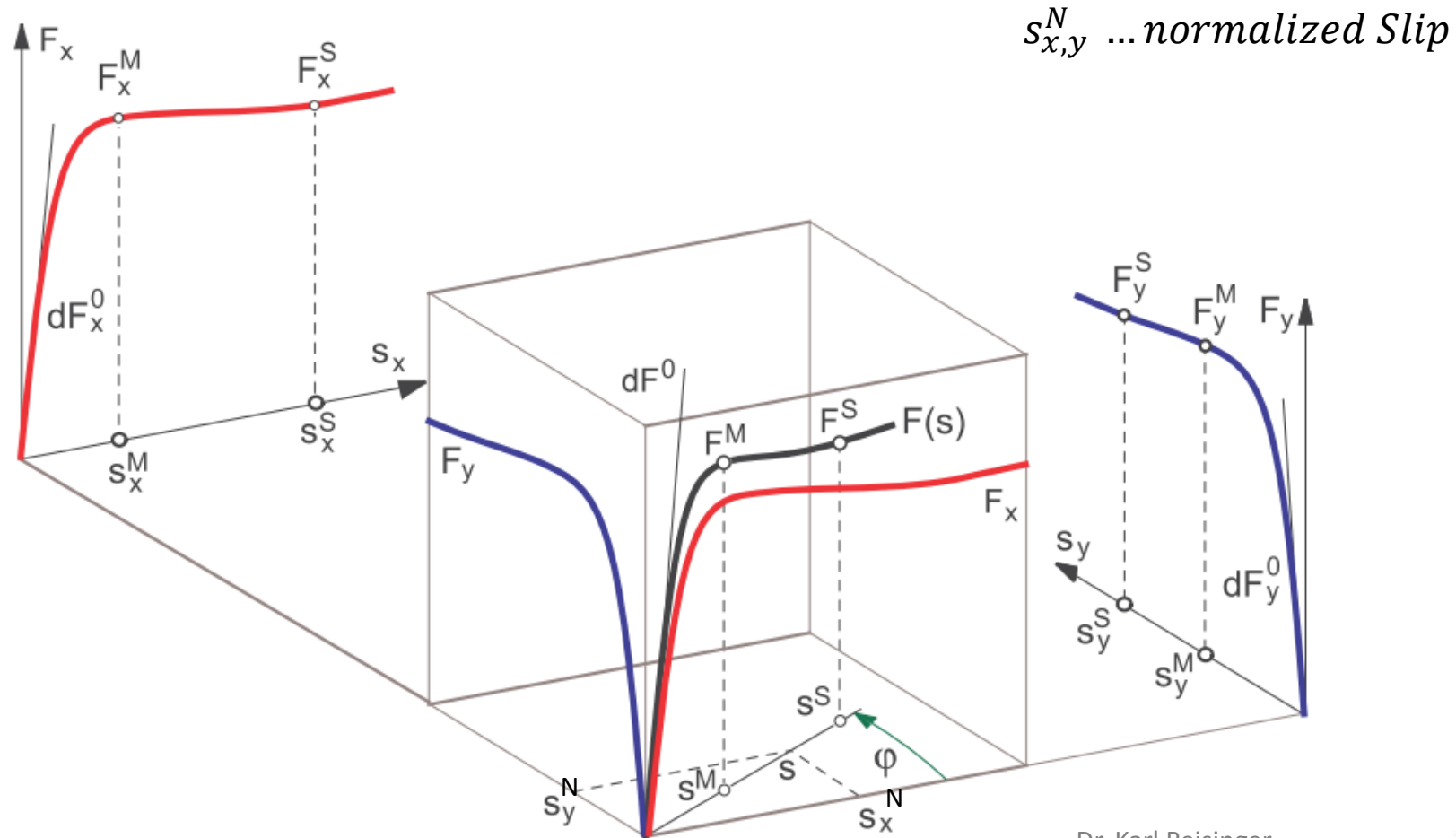
สถิตยศาสตร์ — คำจำกัดความที่แตกต่างกันเล็กน้อย

- Mitschke-Wallentowitz (2003)
relative speed over impressed speed
 - $s_x = \frac{r_{eff} \cdot \omega - v_x}{\max(r_{eff} \cdot \omega, v_x)} = \frac{v_{Sx}}{\max(r_{eff} \cdot \omega, v_x)}$
 - $-1 \leq s_x \leq 1$
- Mitschke, Pacejka $s_y = \frac{v_y}{v_x} = \tan(\alpha)$
- 3 important angles
 - Tire slip angle α
 - Force angle φ
 - angle of relative velocity print to road φ_s
 - Due to anisotropic tire: $\varphi_s > \varphi$



Velocities at the wheel [Hirschberg06]

สถิตยศาสตร์และแรงรวม

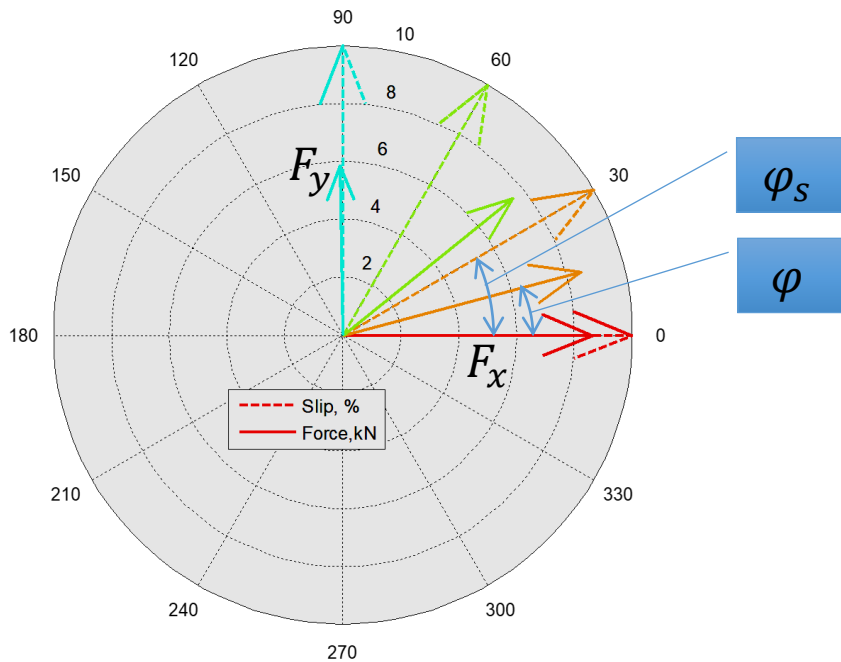


[Rill G.]

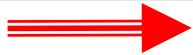
Dr. Karl Reisinger

ทิศทางการเคลื่อนที่และการลื่นและแรงที่ 10% slip

Amount of Tyre Force for constant slip depending on slip angle
Passenger Car Tyre 205/55R16 (Rill. S87), $F_z=8\text{ kN}$



ระนาบกลางของยาง
ทิศทางการไปข้างหน้า



$F_z = 8.0\text{ kN}$	$F_z = 8.0\text{ kN}$
$dF_x^0 = 200\text{ kN}$	$dF_y^0 = 80\text{ kN}$
$s_x^M = 0.100$	$s_y^M = 0.220$
$F_x^M = 8.70\text{ kN}$	$F_y^M = 7.50\text{ kN}$
$s_x^S = 0.800$	$s_y^S = 1.000$
$F_x^S = 7.60\text{ kN}$	$F_y^S = 7.40\text{ kN}$

$$\varphi \neq \alpha, \varphi \neq \varphi_s$$

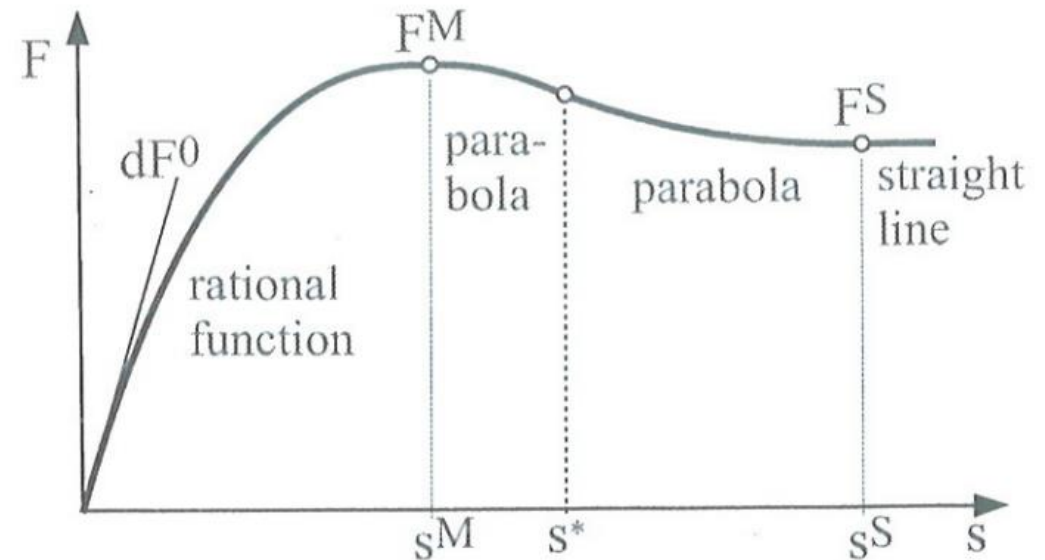
- α ... มุมระหว่างความเร็วของศูนย์กลางล้อและระนาบกลางล้อ
- φ_s ... มุมระหว่างความเร็วของรอยเท้าและระนาบกลางล้อ
- φ ... มุมระหว่างแรงสัมผัสและระนาบกลางล้อ

Semi-Empirical Tire model

Hirschberg-Rill TM-Easy: $F(s)$

- Parameters
- $dF^0 = \left. \frac{dF}{ds} \right|_{s=0}$.. Stiffness
- (s^M, F^M) .. Maximum
- (s^S, F^S) .. Begin of Slide
- Equation

$$F(s) = \begin{cases} \frac{s}{1 + \frac{s}{s^M} \left(\frac{s}{s^M} + \frac{dF^0 s^M}{F^M} - 2 \right)} dF^0 \\ F^M - a(s - s^M)^2 \\ F^S + b(s^S - s)^2 \\ F^S \end{cases}$$

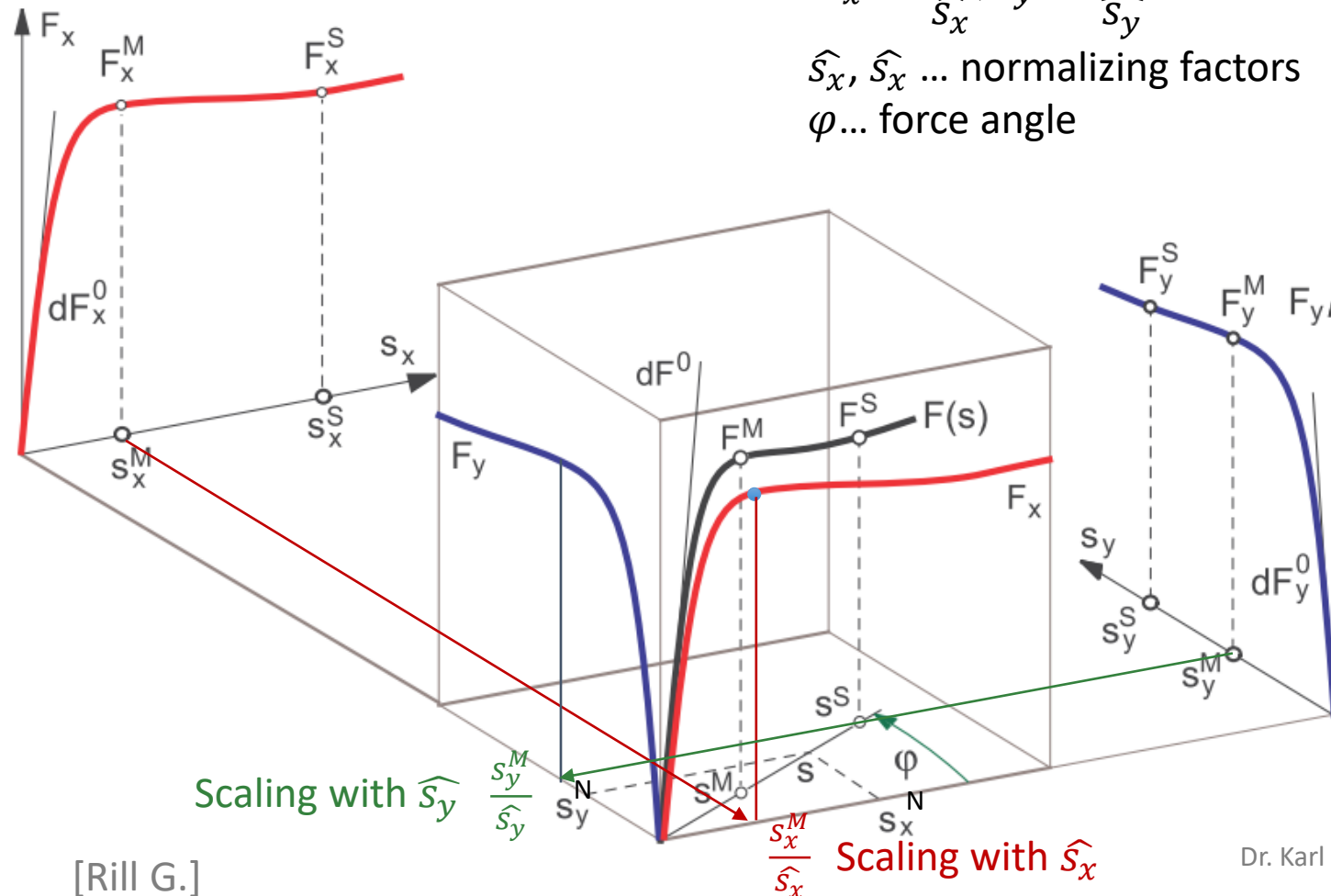


สถิตยศาสตร์และแรงรวม

$$s_x^N = \frac{s_x}{\hat{s}_x}, s_y^N = \frac{s_y}{\hat{s}_y} \dots \text{normalized slip}$$

$\hat{s}_x, \hat{s}_y \dots$ normalizing factors

$\varphi \dots$ force angle



Hirschberg-Rill TM-Easy: Combined Forces 1

- Normalized Slip
- $s_x^N = \frac{s_x}{\widehat{s}_x}, s_y^N = \frac{s_y}{\widehat{s}_y}$
- Slip Normalizing Factors $\widehat{s}_{x,y} = f(s_x^M, s_y^M, F_x^M, F_y^M, dF_x^0, dF_y^0)$
 - considers, that the tyre is weaker in y than in x
- Resultant Slip
- $s = \sqrt{(s_x^N)^2 + (s_y^N)^2}$
- But: Normalization is not necessary, if $F_x = s_x = 0$ or $F_y = s_y = 0$
[Rill G.]

Normalized Slip is watched in $\varphi - Plane$

= Force Plane

$$F_x = F \cos \varphi \quad \text{and} \quad F_y = F \sin \varphi$$

$$F(s) = \begin{cases} s^M dF^0 \frac{\sigma}{1 + \sigma \left(\sigma + dF^0 \frac{s^M}{F^M} - 2 \right)}, & \sigma = \frac{s}{s^M}, & 0 \leq s \leq s^M \\ F^M - (F^M - F^G) \sigma^2 (3 - 2\sigma), & \sigma = \frac{s - s^M}{s^G - s^M}, & s^M < s \leq s^G \\ F^G, & & s > s^G \end{cases}$$

$$dF^0 = \sqrt{\left(dF_x^0 \hat{s}_x \cos \varphi \right)^2 + \left(dF_y^0 \hat{s}_y \sin \varphi \right)^2},$$

$$s^M = \sqrt{\left(\frac{s_x^M}{\hat{s}_x} \cos \varphi \right)^2 + \left(\frac{s_y^M}{\hat{s}_y} \sin \varphi \right)^2},$$

$$F^M = \sqrt{\left(F_x^M \cos \varphi \right)^2 + \left(F_y^M \sin \varphi \right)^2},$$

$$s^G = \sqrt{\left(\frac{s_x^G}{\hat{s}_x} \cos \varphi \right)^2 + \left(\frac{s_y^G}{\hat{s}_y} \sin \varphi \right)^2},$$

$$F^G = \sqrt{\left(F_x^G \cos \varphi \right)^2 + \left(F_y^G \sin \varphi \right)^2}$$

$$\cos \varphi = \frac{s_x / \hat{s}_x}{s} \quad \text{and} \quad \sin \varphi = \frac{s_y / \hat{s}_y}{s}$$

[Rill G.]

Hirschberg-Rill TM-Easy: Load Dependence

- Force parameters dF^0, F^M, F^S : quadratic rule
- $$Y(F_Z) = \frac{F_Z}{F_Z^N} \left\{ 2 Y(F_Z^N) - \frac{1}{2} Y(2F_Z^N) - \left[Y(F_Z^N) - \frac{1}{2} Y(2F_Z^N) \right] \frac{F_Z}{F_Z^N} \right\}$$
- $$\rightarrow \mu(F_Z) = \frac{Y(F_Z)}{F_Z} \dots \text{linear interpolation}$$
- Slip parameters s^M, s^S : linear rule
- $$X(F_Z) = X(F_Z^N) + [X(2F_Z^N) - X(F_Z^N)] \left(\frac{F_Z}{F_Z^N} - 1 \right)$$

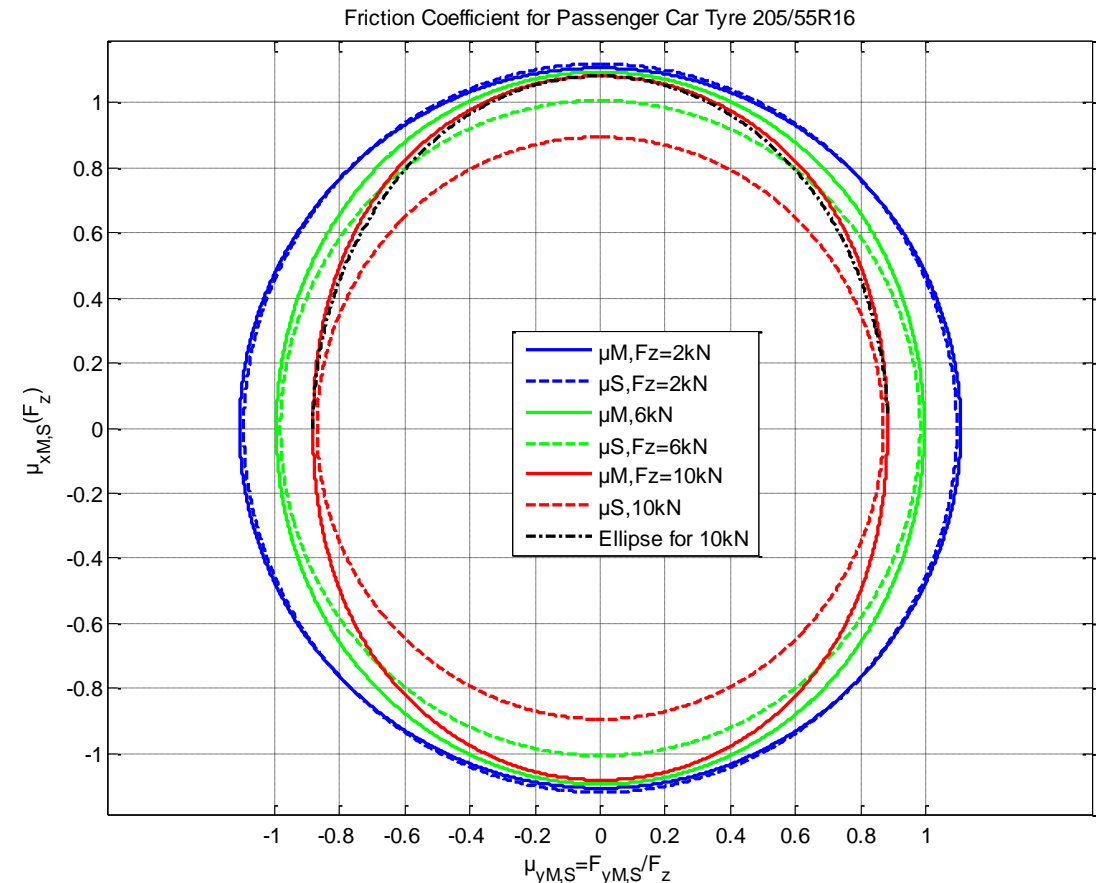
[Rill G.]

- โปรดอ่านบทความที่ให้ไว้ใน Moodle:
- Hirschberg_Rill_Weinfurter_Tire model TM-Simple_User-Appropriate Tyre-Modelling for Vehicle Dynamics in Standard and Limit Situ.pdf

Hirschberg W., Rill G.: User-Appropriate Tyre-Modelling for Vehicle Dynamics in Standard and Limit Situations, Vehicle System Dynamics, Vol. 38, 2002, Issue 2, Pages 103-125 | Published online: 09 Aug 2010

แรงเสียดทานขึ้นอยู่กับ $\mu_{m,s}(F_z)$

- $\mu_M = \frac{F^M}{F_z}$.. สูงสุด. แรงเสียดทาน, μ_S ..
 ค่าสัมประสิทธิ์ความฝืดเลื่อนของยางรถยนต์
 โดยสาร, ผลลัพธ์ของ TM-Easy



Semi-Empirical Tyre model

Pacejka's famous Magic Formula ¹⁾

- “a distorted” Sine function
- $Y(x) = D \sin[\arctan(B\Phi)] + S_v$
- $\Phi = (1 - E) x + \left(\frac{E}{B}\right) \arctan(B x)$
- $x = \kappa + S_h, x = \alpha + S_h$
- $\kappa_x = \frac{r_e \omega - v_x}{v_x}$... slip ratio, α ... มุมสลีปข้าง
- v_x ... ความเร็วของศูนย์กลางล้อในทิศทางของระนาบศูนย์กลาง = x -ทิศทาง
- B, C, D, E, S_h, S_v ... พารามิเตอร์ที่เหมาะสมกับพฤติกรรม,
นั่นคือฟังก์ชันพหุนามที่แตกต่างกันของ F_z , มุมเอียง (“camber”) และความกดอากาศ.
- The Magic Formula can describe $\mu_x(\kappa), \mu_y(\alpha), M_z(\alpha)$.

also for large road
wave-lengths only!

- 1) introduction: Bakker E., Pacejka H., Lindner L.: A New Tire Model with an Application in Vehicle Dynamics, SAE April 1989

Pacejka Magic Formula: ความหมายของพารามิเตอร์

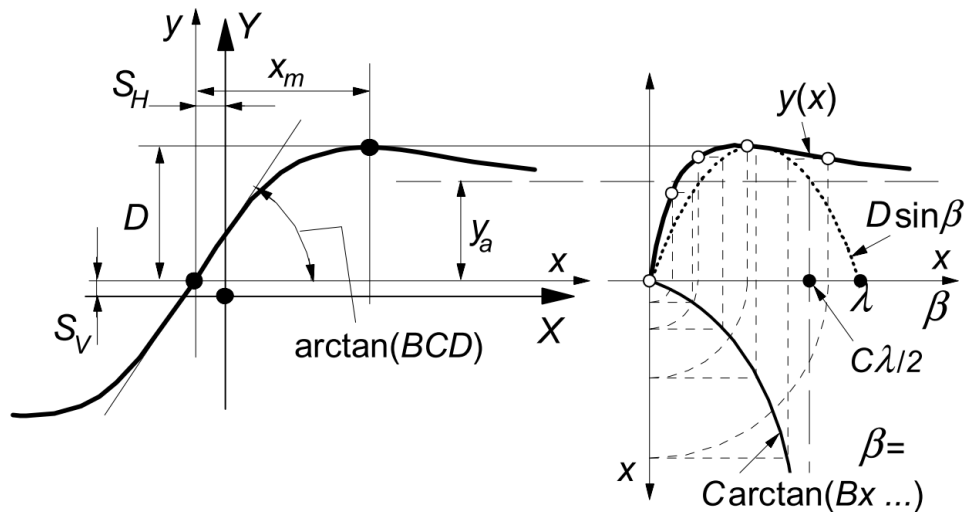


Fig. 4.9. Curve produced by the original sine version of the Magic Formula, Eq.(4.49). The meaning of curve parameters have been indicated.

- D ... จุดสูงสุด
- BCD ... ความฝืด
- S_v, S_h ... ไม่สมมาตร
 - eg: S_v due to camber
 - S_h เนื่องจากโปรไฟล์ไม่สมมาตร

การฟังพลาโหลดของ Pacejka's

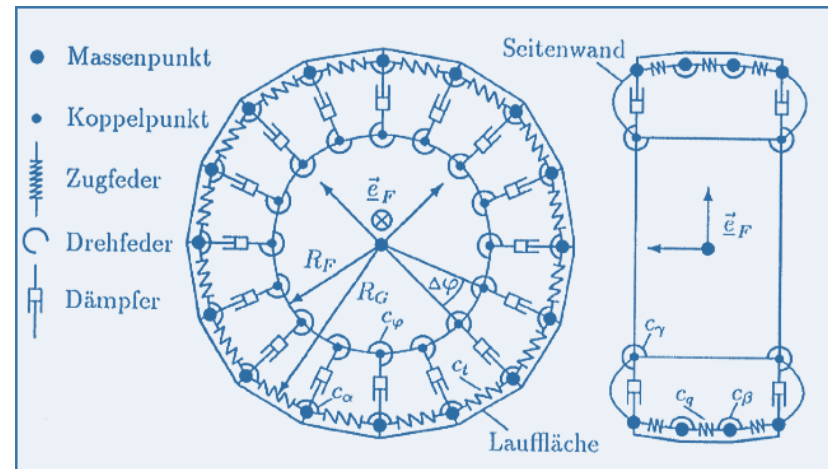
- Fit-function ที่แตกต่างกันสำหรับแต่ละพารามิเตอร์, e.g.
 - $D = a_1 F_Z^2 + a_2 F_Z$
 - $BCD = \frac{a_3 F_Z^2 + a_4 F_Z}{e^{a_5 F_Z}}$
- Process to get Tyre Model
 - Fit B, C, D, E, S_h, S_v using Magic Formula for each F_Z
 - Fit parameters a_1, a_2, \dots using special load functions.
 - Different Fit-Functions depending on version of Pacejka Model

รุ่นยาง: ละเอียดตามต้องการ...

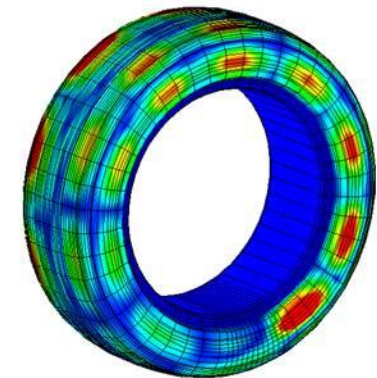
- โมเดลลักษณะเฉพาะ,
(real time capable)
 - “Magic Formula” (Hans Pacejka),
 - TM-Simple, TM-Easy (Hirschberg-Rill)
 - ความไม่สม่ำเสมอของความยาวคลื่นกว้าง
 - $1/\text{ความโค้งของถนน} > r_e$

- โมเดลมวลรวม, การจำลอง MKS
 - รุ่น MKS มีชิ้นส่วนที่แข็งแรงซึ่งเชื่อมต่อกับสปริงและแดมเปอร์
 - e.g. RMOD-K, F-Tyre, ...
 - Offroad, curb stone edge

- Continua, FEM Models
 - NVH การจำลอง
 - Tyre การพัฒนา

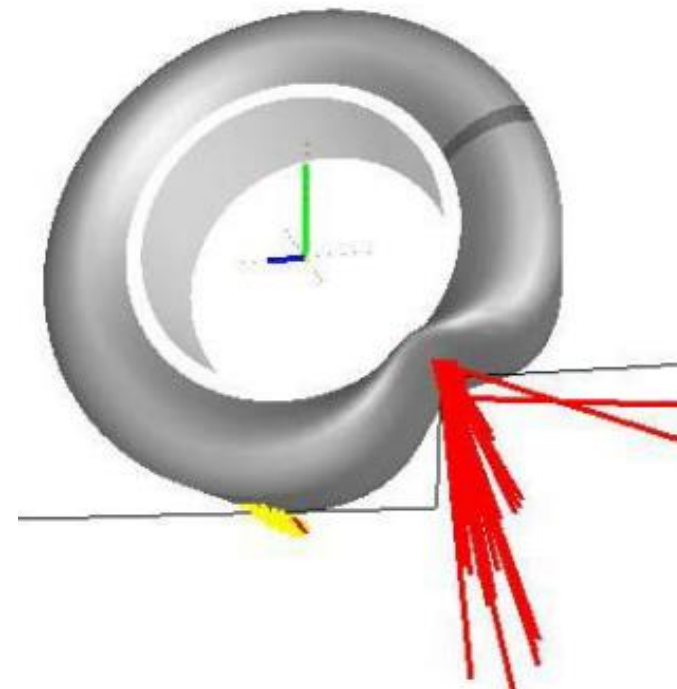


MKS tyre model [Mitschke04]



<https://www.tuhh.de/forschung/fobe/2005/a1998.5-03/w.67.1129626881235.html>

F-Tire ที่ขอบหินขอบถนน



[Gipser: Reifenmodelle i.d. Fahrdynamik, wikipedia]



Engineering Knowledge Transfer Units to Increase
Student's Employability and Regional Development

ไดนามิกตามยาว

แบบร่างเดียว, การทดสอบแบบชั่วคราวและแบบคงที่
โมเดลชิมย้อนหลัง, โมเดลชิมไปข้างหน้า



Duties of long. Dynamics

- แรงลาก (**aerodynamic, rolling**)
- รถเร่งความเร็วได้เร็วแค่ไหนเนื่องจากแรงบิดของเครื่องยนต์?
- รถยนต์สามารถเร่งความเร็วได้เร็วแค่ไหนเนื่องจากยาง?
- การใช้พลังงานเพื่อขับเคลื่อนวงจบบางอย่าง?
- **Traction-Force Effort Diagram** เพื่อแสดงความสามารถของรถ

แรงลาก (Fahrwiderstand)



Static drag forces at horizontal road	Our assumption	Comment
Climbing resistance	$F_C \cong m_{veh} \cdot g \cdot \sin(\alpha)$	very high
Aerodynamic Drag	$F_{AD} = c_{wx} \cdot A_x \cdot \frac{\rho}{2} v^2$	Largest in horizontal road above 40-70 kph
Rolling Force, Rolling Drag	F_R $\cong f_R \cdot m_{veh} \cdot g \cdot \cos(\alpha)$	Largest at low speed, very high in mud & sand; In racing, aerodyn. downforce must be considered.
Mechanical drag losses due to brakes and wheel bearings	≈ 0	Neglectable with proper working brakes and low preload at bearings.
Losses in drivetrain due to bearings, ...	≈ 0	e.g. a preloaded taper roller bearing of input shaft of read axle differential costs 0.9% of traction energy.
Damper induced drag	≈ 0	Very low at regular roads, plays a rule Offroad; Compare Putzik 2008
toe induced resistance	≈ 0	must be adjusted within some angle minutes
Curve induced resistance (lateral velocity at tire times side force consumes power)	≈ 0	Low with low lateral accelerations. Usually not considered in consumption models.

Aerodynamic Drag

- แรง = ความดันความเร็ว \times ค่าสัมประสิทธิ์การลากของอากาศ \times พื้นที่ที่คาดการณ์
- $$F_{wx} = \frac{\rho_{Air}}{2} (v_{veh,x} + v_{amb,x})^2 c_{wx} A_x$$
- รถยนต์นั่งสมัยใหม่
 - $A_x \sim 2 \text{ m}^2$, $c_{wx} \sim 0.3-0.4$,
- รถเพื่อการพาณิชย์
 - $A_x \sim 8 \text{ m}^2$, $c_{wx} \sim (0.45)- 0.85$
- มอเตอร์ไซค์, คนขับนั่งตัวตรง
 - $A_x \sim 1.0 \text{ m}^2$
 - $A_x c_{wx} \sim 0.5 - 0.6 \text{ m}^2$
 - **Loremo (Study): $c_{wx} = 0.2$**



Loremo [<http://www.hybridantrieb.org>]

การวัดการลาก

- การทดสอบโคสต์ดาวน์ที่ถนนแวนอนในมาตรการ
เกียร์ว่าง

- ความต้านทานการหมุน
- + Aerodynamic Drag
- + การสูญเสียในไดรฟ์รถไฟ

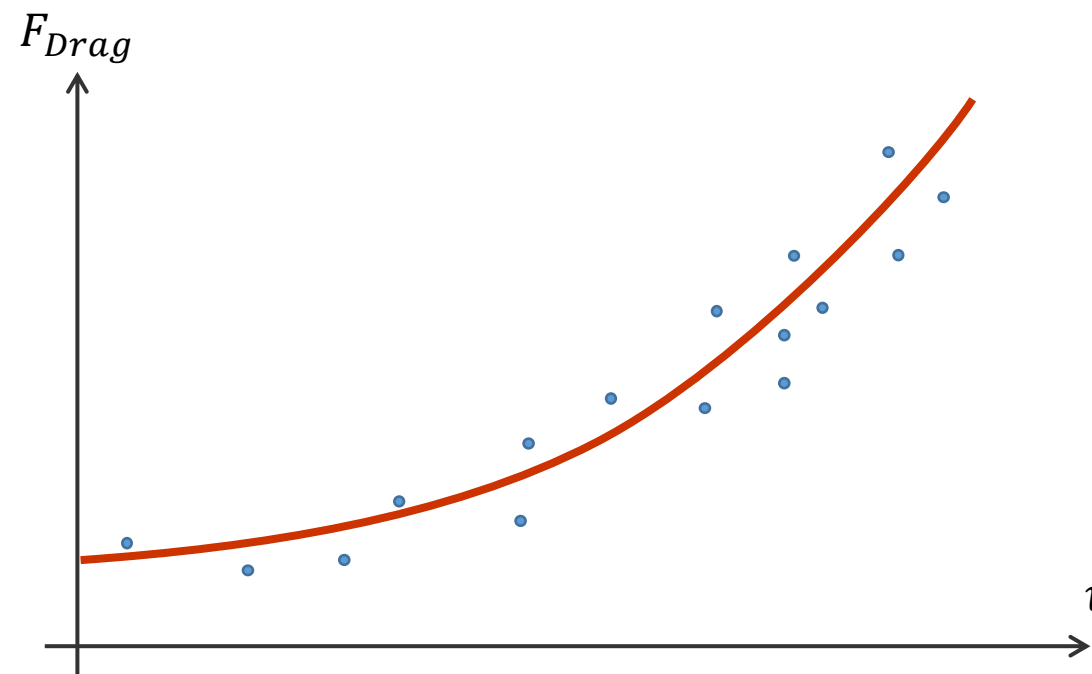
- วัดความเร็วเมื่อเวลาผ่านไป

- แตกต่างไปตามกาลเวลา,
calc. ลาก

$$(m_{veh} + m'_{rot}) \cdot \frac{dv}{dt} = F_{Drag} \cong F_R + F_{AD}$$

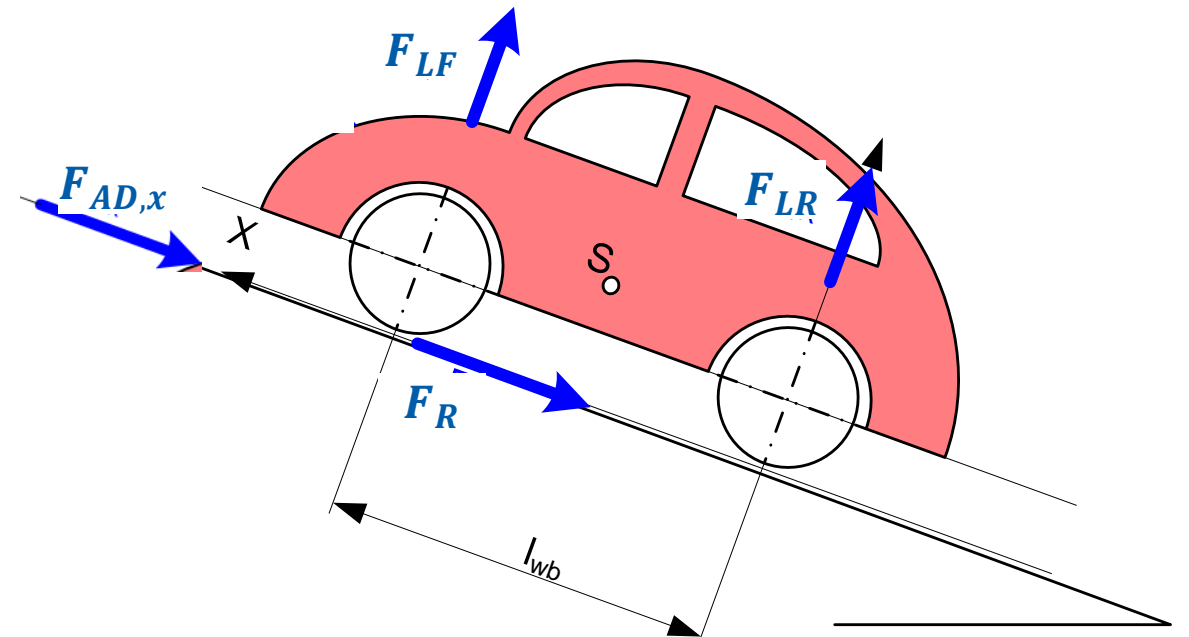
- พอดีสมการพาราโบลากำลังสอง

$$F_{Drag} = A + B \cdot v + C \cdot v^2$$

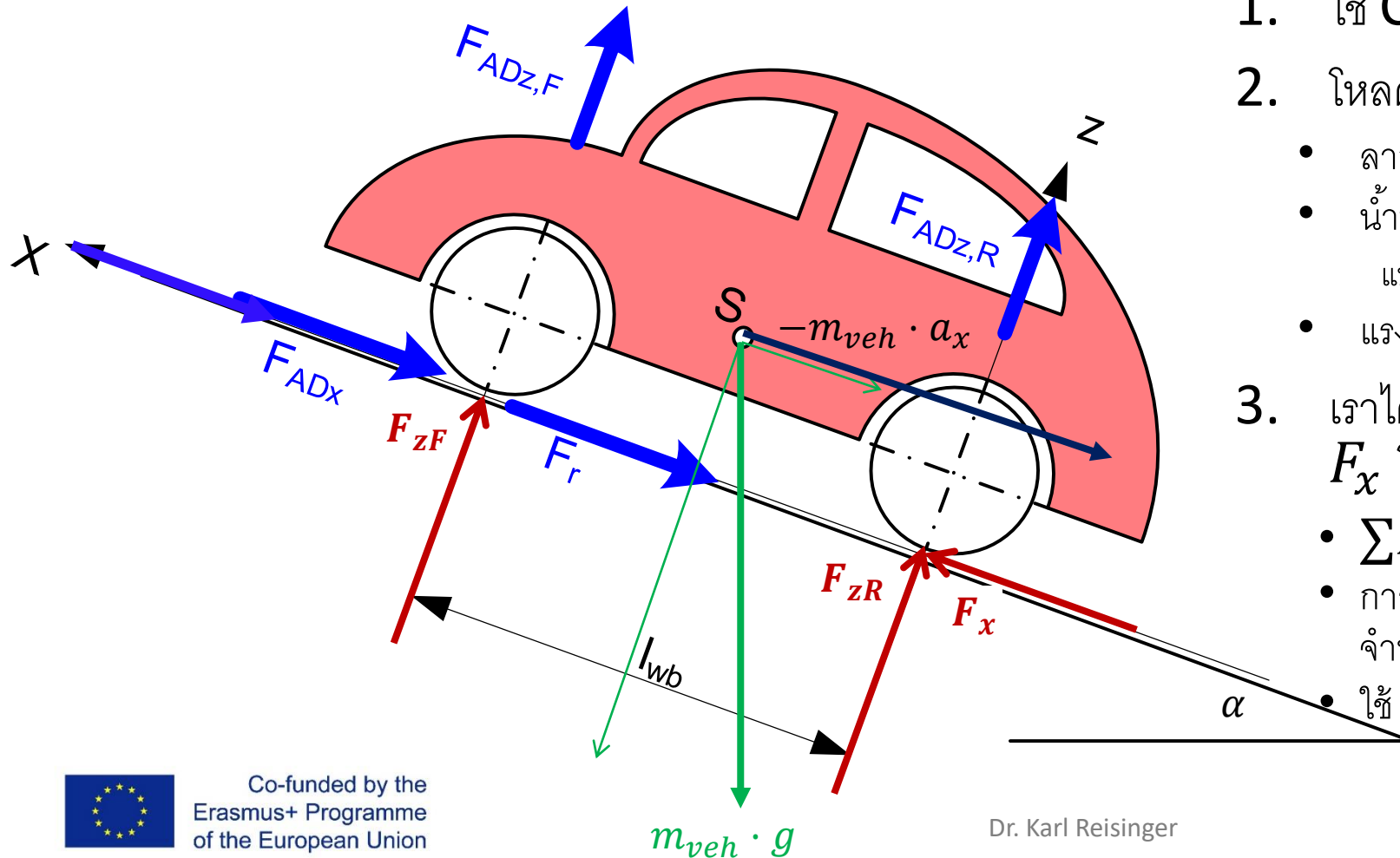


Aerodynamic Lift

- เกี่ยวข้องกับรถแข่ง
- อุโมงค์ลมหรือการจำลอง
 - วัดแรงที่รอยยาง
 - $F_{ADx}, F_{ADz,F}, F_{ADz,R}$
 - Divide by A_x oder $A_z \rightarrow c_{wx}, c_{ADzF}, c_{ADzR}$
 - $F_{ADF/R} = \frac{\rho_{Air}}{2} (v_{veh,x} + v_{amb,x})^2 c_{ADF/R} A_x$
or
 - $F_{ADzF/R} = \frac{\rho_{Air}}{2} (v_{veh,x} + v_{amb,x})^2 c_{ADzF/R} A_z$
 - ข้อควรสนใจ: วรรณกรรมที่แตกต่างกันใช้พื้นที่ที่ระบุต่างกัน A_x หรือ A_z
 - หากพิจารณา ยกให้ลากที่ระดับถนน.
- No lift data?
 - ประมาณการ c_{wx}
 - ศูนย์ประมาณการของแอปพลิเคชันแรงลากอากาศ F_{ADx} สำหรับ $M_{ADy} = F_{ADx} \cdot h_{AD}$



มุมมองของ Allembert ให้สมการง่าย ๆ

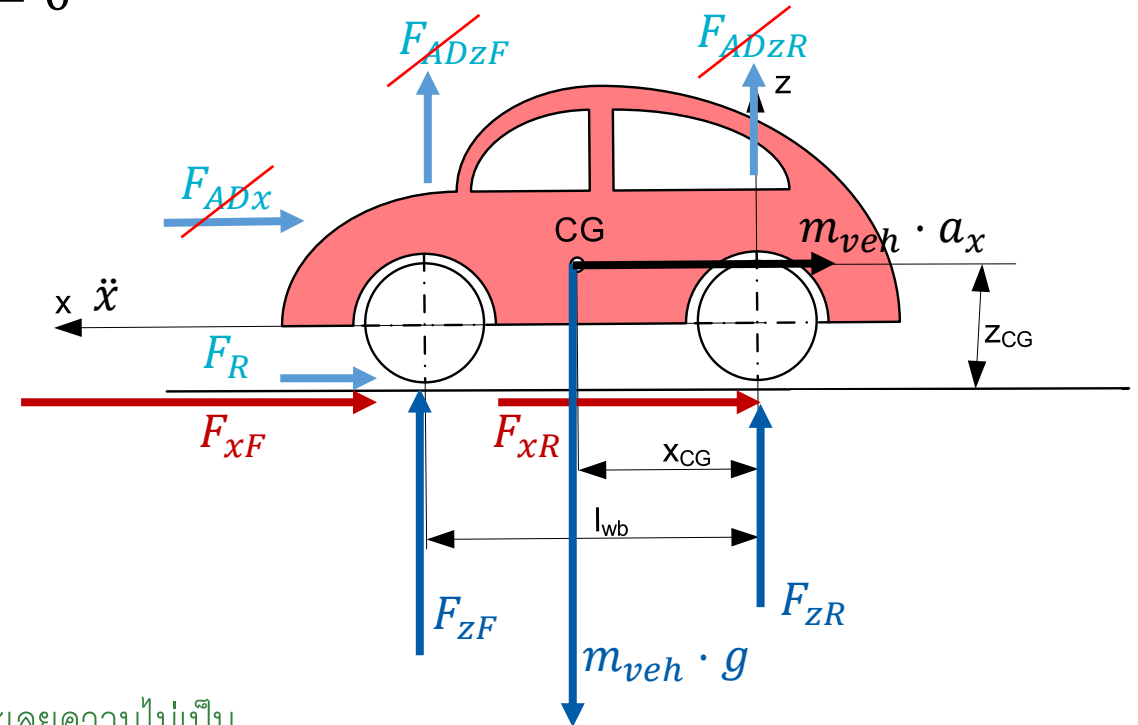


1. ใช้ CS ในเครื่องบินบนถนน
2. โหลดที่ใช้
 - ลากและยกกำลัง
 - น้ำหนัก $G = m_{veh} \cdot g$
แบ่งเป็นส่วนประกอบ
 - แรงเฉื่อย $-m_{veh} \cdot a_x$
3. เราได้รับโหลดล้อแบบไดนามิก $F_{zF,R}$ และแรงดึง F_x โดยสมการกึ่งสถิต
 - $\sum F_x = 0, \sum F_z = 0, \sum M_y = 0$
 - การใช้หน้าสัมผัสล้อสำหรับผลรวมของช่วงเวลาให้เงื่อนไขจำนวนน้อย.
 - ใช้ $F_R = (m_{veh} \cdot g \cdot \cos(\alpha) + F_{LF} + F_{LR}) \cdot f_R$

ตัวอย่าง

การกระจายโหลดล้อถนนเรียบ

- $+m g x_{CG} - m a_x z_{CG} - F_{zF} l_{wb} = 0$ with $F_{wzF} = 0$
- $F_{zF} = m g \frac{x_{CG}}{l_{wb}} - m a_x \frac{z_{CG}}{l_{wb}}$... Lin. Equation
- $\frac{F_{zF}}{m g} = \frac{x_{CG}}{l_{wb}} - \frac{a_x z_{CG}}{g l_{wb}}$
- $\frac{F_{zR}}{m g} = 1 - \frac{x_{CG}}{l_{wb}} + \frac{a_x z_{CG}}{g l_{wb}} = 1 - \frac{F_{zF}}{m g}$
- หน้าการกระจายแบบคงที่: $\frac{F_{zF0}}{m g} = \frac{x_{CG}}{l_{wb}} = 0.56$
- การกระจายแบบสถิต หน้า/หลัง : 56%/44%
- การกระจายแบบไดนามิก หน้า/หลัง @ $-10 \frac{m}{s^2}$: 80.5%/19.5%
- การกระจายเบรกที่เหมาะสมที่สุด: ในอัตราส่วนต่อน้ำหนักบรรทุกของล้อ (ละเลยความไม่เป็นเชิงเส้นของยาง)



Influence of rot. Inertia

- เมื่อเร่งความเร็ว เราใส่พลังงานจลน์เข้าไปในส่วนที่หมุนได้.
- เราต้องใส่มวลเท่าไรหรือถึงจะมีลักษณะการทำให้คุณภาพลดลง หรือ ความเฉื่อย?

มวลที่หมุนจะต้องเร่งด้วยเครื่องยนต์ แต่อย่าเร่งด้วยยาง!

$$m_{veh} \cdot a_x = -F_{Drag} - F_{climb} - F_{xTire}$$

$$(m_{veh} + m_{rot}) \cdot a_x = -F_{Drag} - F_{climb} - F_{xDrive}$$

- $E_{kin,rot} = \sum \frac{1}{2} J_i \omega_i^2 = E_{kin,mrot}$
- $J \dots$ ความเฉื่อยของมู่เส้/โรเตอร์, ล้อ
- $\omega_{wheel} \cong \frac{v_x}{r_e}$
- $\omega_{eng} = \omega_{wheel} \cdot i_{gear}$
- $\frac{1}{2} m_{rot} v_x^2 = \frac{1}{2} \cdot [J_{eng} \cdot \omega_{eng}^2 + 4 \cdot J_{wheel} \cdot \omega_{wheel}^2]$

$$m_{rot} = (J_{eng} \cdot i_{gear}^2 + 4 \cdot J_{wheel}) \cdot \frac{1}{r_e^2}$$
 - ที่สำคัญกว่า, ยิ่งวิ่งเร็ว
 - ที่สำคัญกว่าในเกียร์ต่ำ
- $m_{tot} = m_{veh} + m_{rot} = \lambda \cdot m_{veh},$

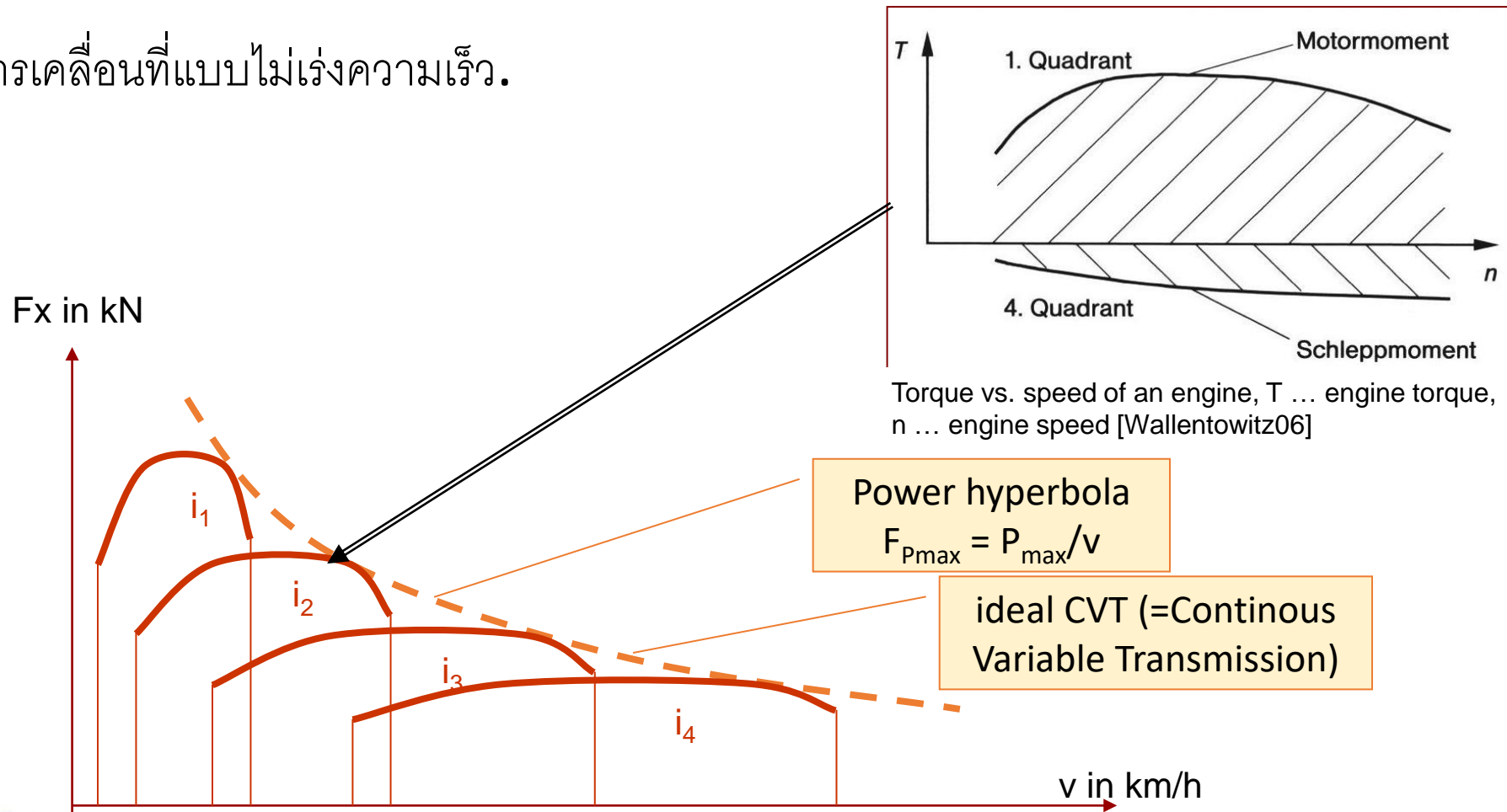
$$1.0 < \lambda < (1.4)$$

อิทธิพลของอัตราทดเกียร์และประสิทธิภาพ

- กระจุกเกียร์ในอุดมคติคือทรานสดิวเซอร์ที่มีกำลังอินพุตและเอาต์พุตเท่ากัน.
- $P = M \cdot \omega$
 - ความเร็วสูง แรงบิดต่ำ
 - ความเร็วต่ำ แรงบิดสูง
- โดยปกติขนาดเครื่องยนต์จะถูกกำหนดโดยแรงบิด \rightarrow เครื่องยนต์เล็กเร็ว.
 - $\omega_{eng} > \omega_{wheel}, \omega_{eng} = i_{gear} \cdot \omega_{wheel}$
 - $i_{gear} > 1$
- ประสิทธิภาพ $\eta_{gear} = \frac{P_{out}}{P_{in}}$
 - เอาต์พุตที่มีประโยชน์มากกว่าอินพุตที่จำเป็น.
 - การสูญเสียที่ไม่ขึ้นกับภาระมักถูกละเลย.
- เร่งความเร็ว, โหมดแรงขับ
 - เครื่องยนต์ส่งกำลังไปยังล้อ; In: P_{eng} , Out: P_{wheel}
 - $P_{wheel} = \eta_{gear} \cdot P_{eng}$
- เบรกด้วยเครื่องยนต์, coast mode
 - ล้อส่งกำลังให้กับเครื่องยนต์; Out: P_{eng} , In: P_{wheel}
 - $P_{eng} = \eta_{gear} \cdot P_{wheel}$
- โดยทั่วไป
 - $P_{wheel} = \eta_{gear}^k \cdot P_{eng}, k = \begin{cases} 1 \dots P_{eng} \geq 0 \\ -1 \dots < 0 \end{cases}$

แผนภาพแรงจุด

... สำหรับการเคลื่อนที่แบบไม่เร่งความเร็ว.



Torque vs. speed of an engine, T ... engine torque, n ... engine speed [Wallentowitz06]

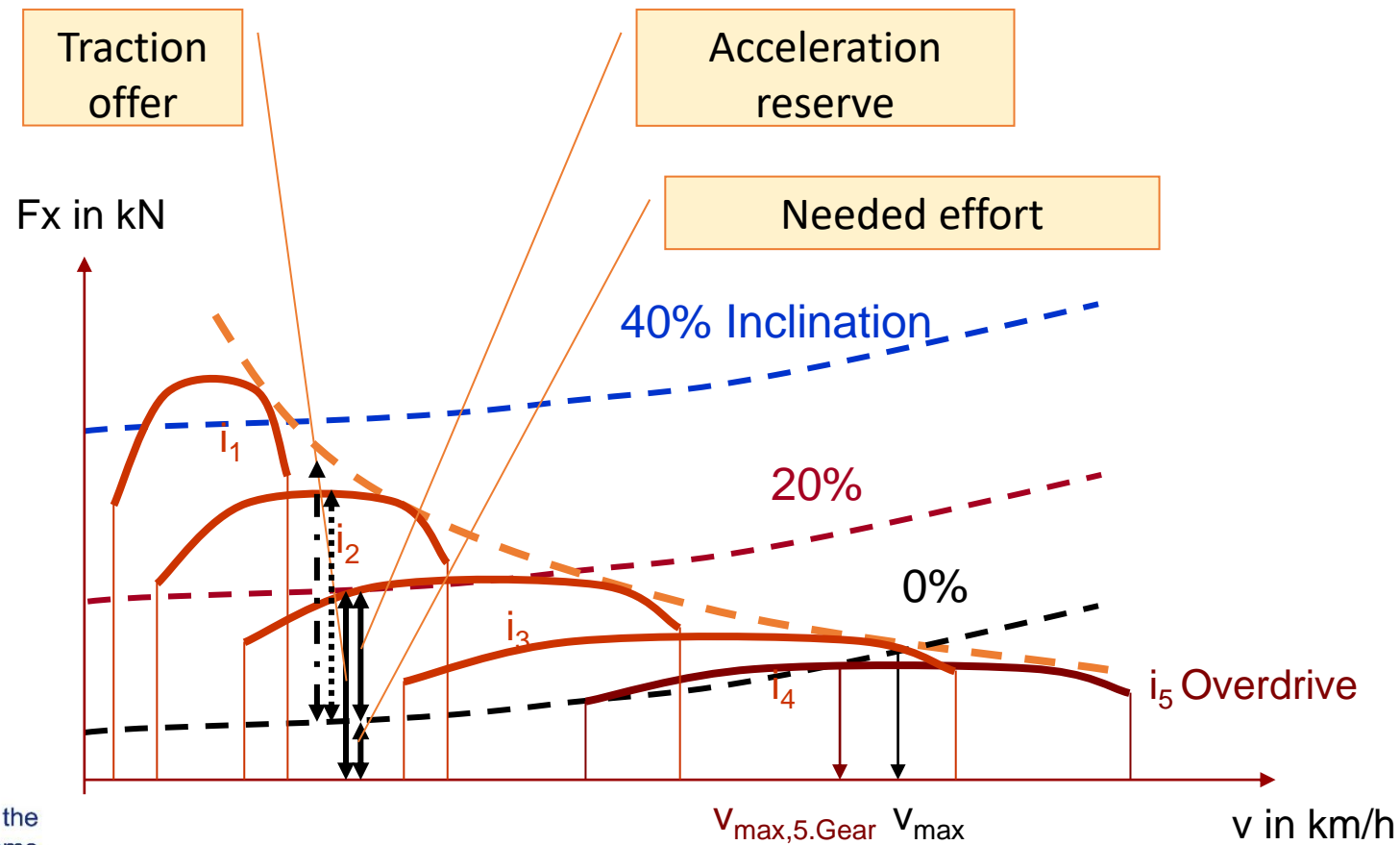
Power hyperbola

$$F_{P_{max}} = P_{max}/v$$

ideal CVT (=Continuous Variable Transmission)

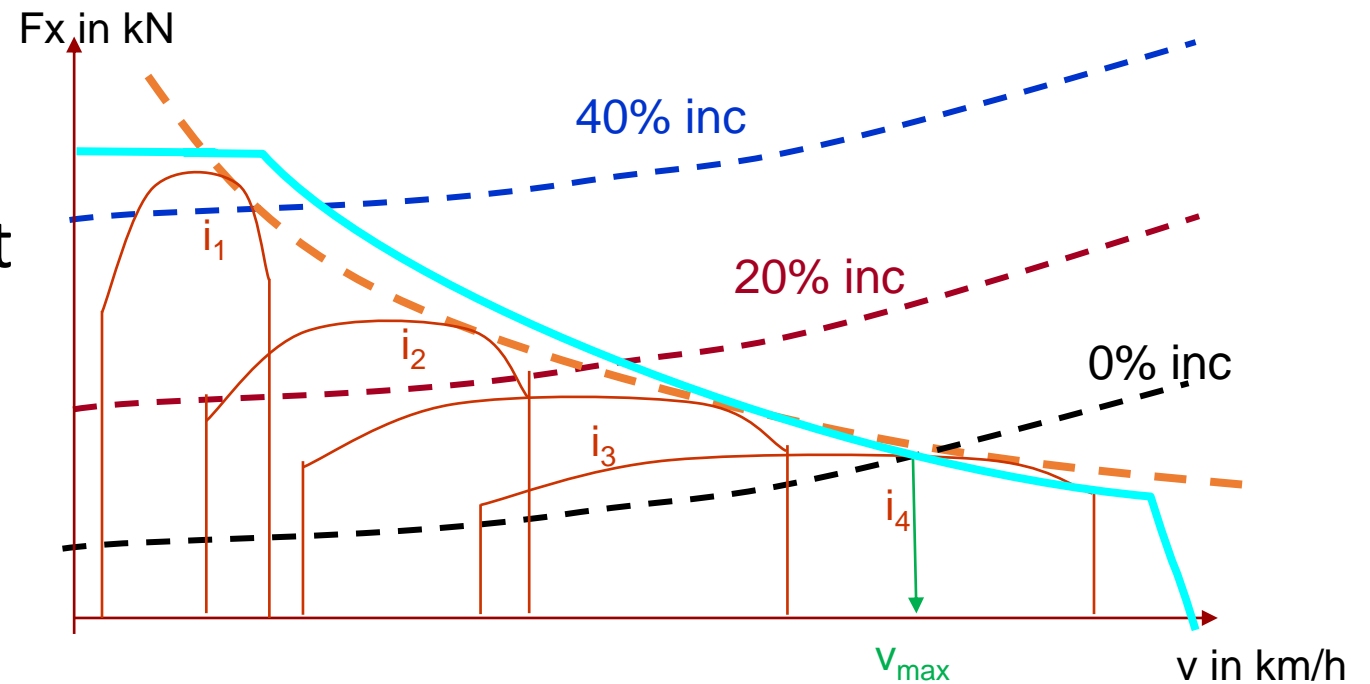
แผนภาพความพยายามจุดด้วยการลาก

- ไม่มีการเร่งความเร็ว



Tractive Effort Diagram, eDrive vs. ICE

- แรงบิดเริ่มต้นสูง → ไม่มีคลัทช์
- M(n) characteristic fits perfect for low to medium speeds
- 2 gears increase efficiency at highway speeds
- Drive can deliver braking torque for recuperation ☺
→ avoid wheel lock up!



cyan: Moment of PMSM with same top speed in 4th gear

Backward Simulation Model using Requested Trajectory $v(t)$

• Given

- ลักษณะความเร็วในการขับ $v(t)$
- ถนน: ความเอียง $(s(t))$

• Wanted

- แรงบิดของเครื่องยนต์, ความเร็ว
- consumption
- แรง, แรงบิดในระบบส่งกำลังสำหรับการทดสอบความล้า

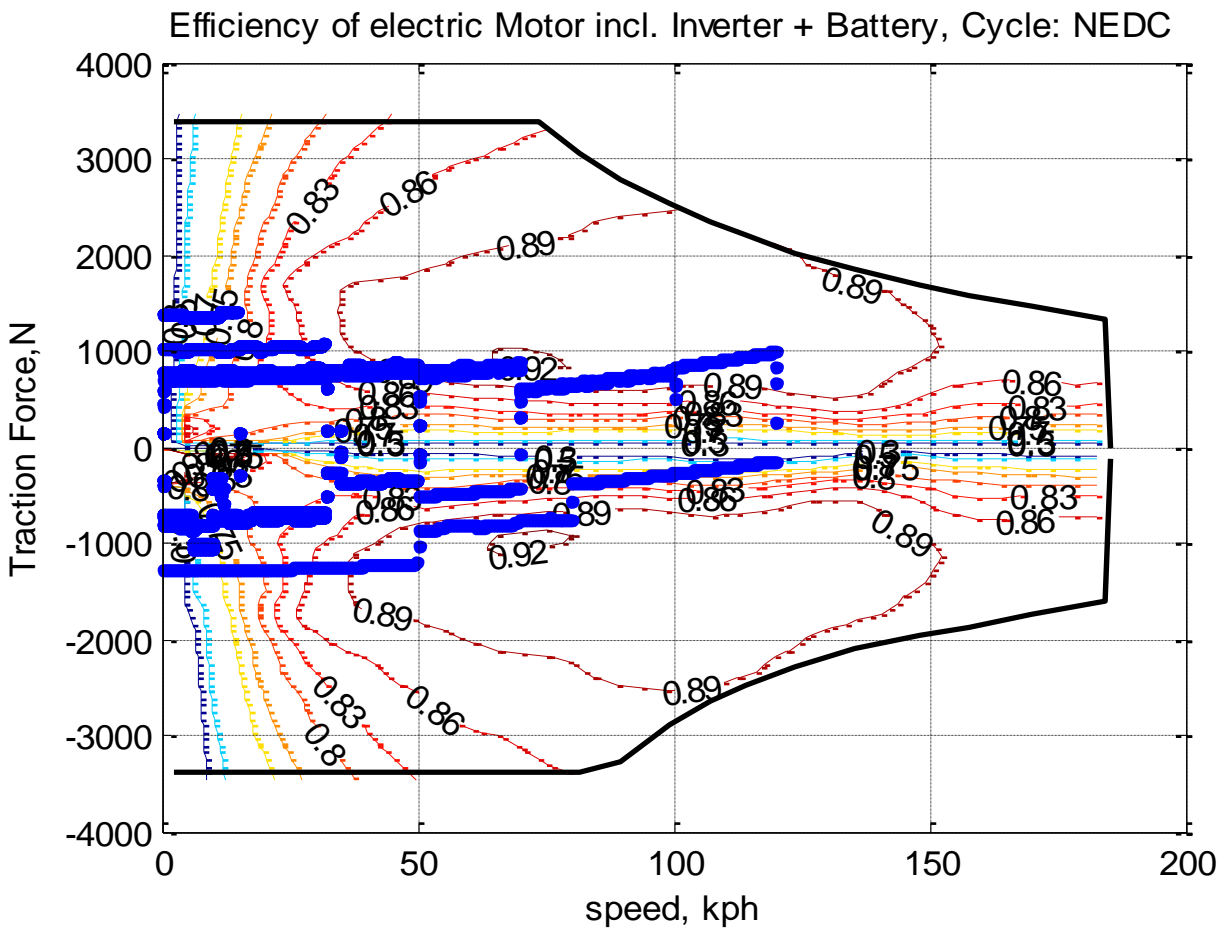
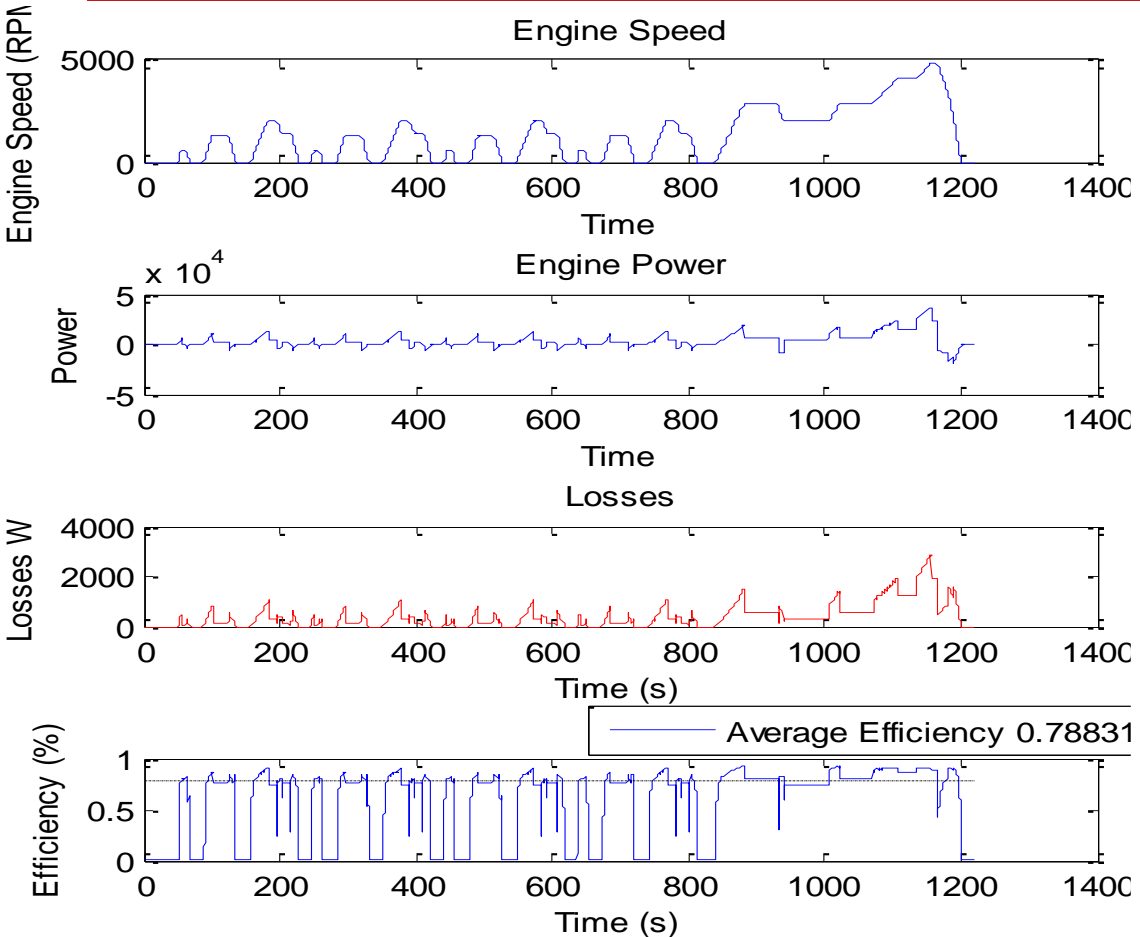
• Preliminaries

- กำลังเครื่องยนต์สูงพอที่จะทำตามความเร็วที่กำหนด
- ล้อไม่ลื่นไถล เราอยู่ในสาขาที่เพิ่มขึ้นของ $F_x(s_x)$

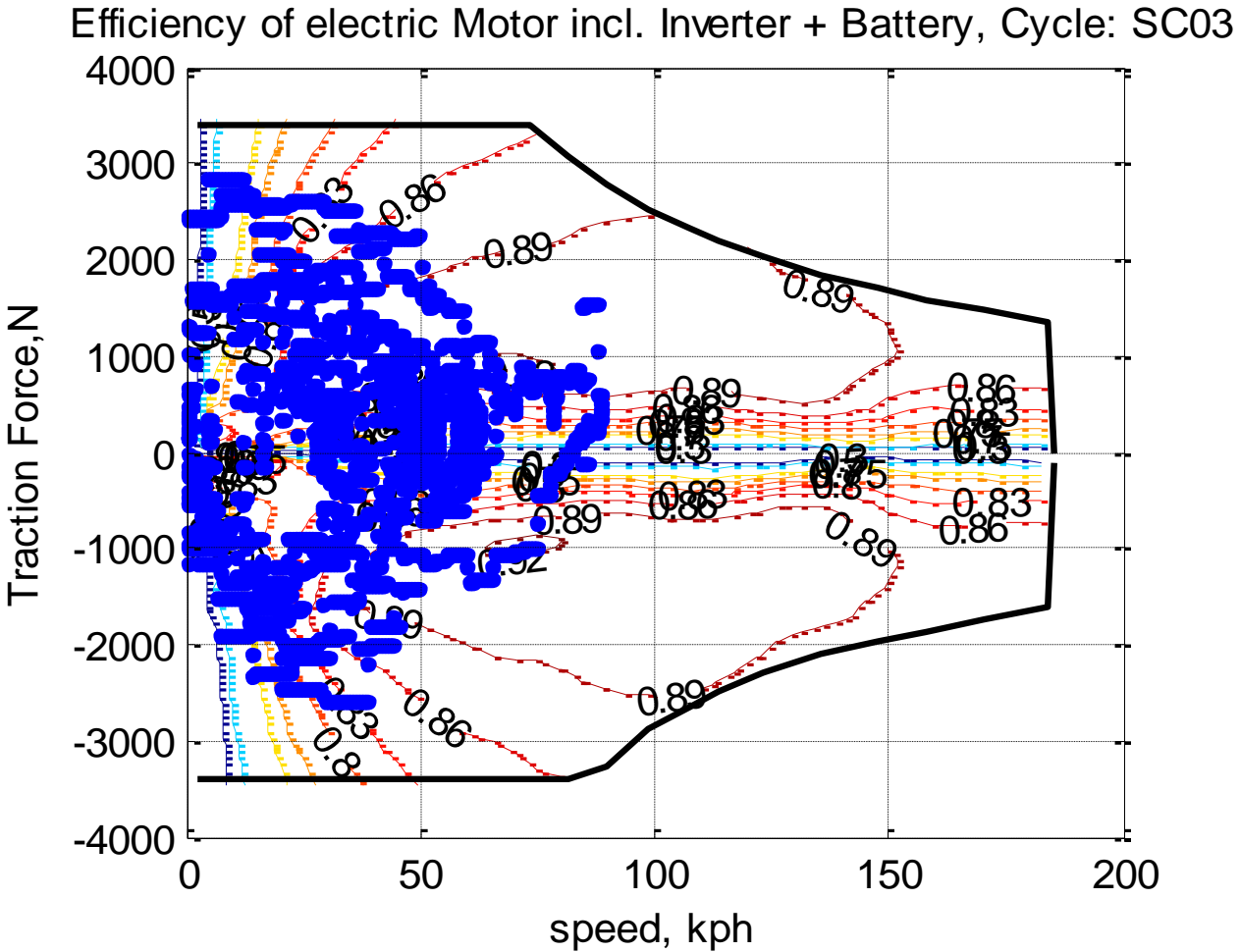
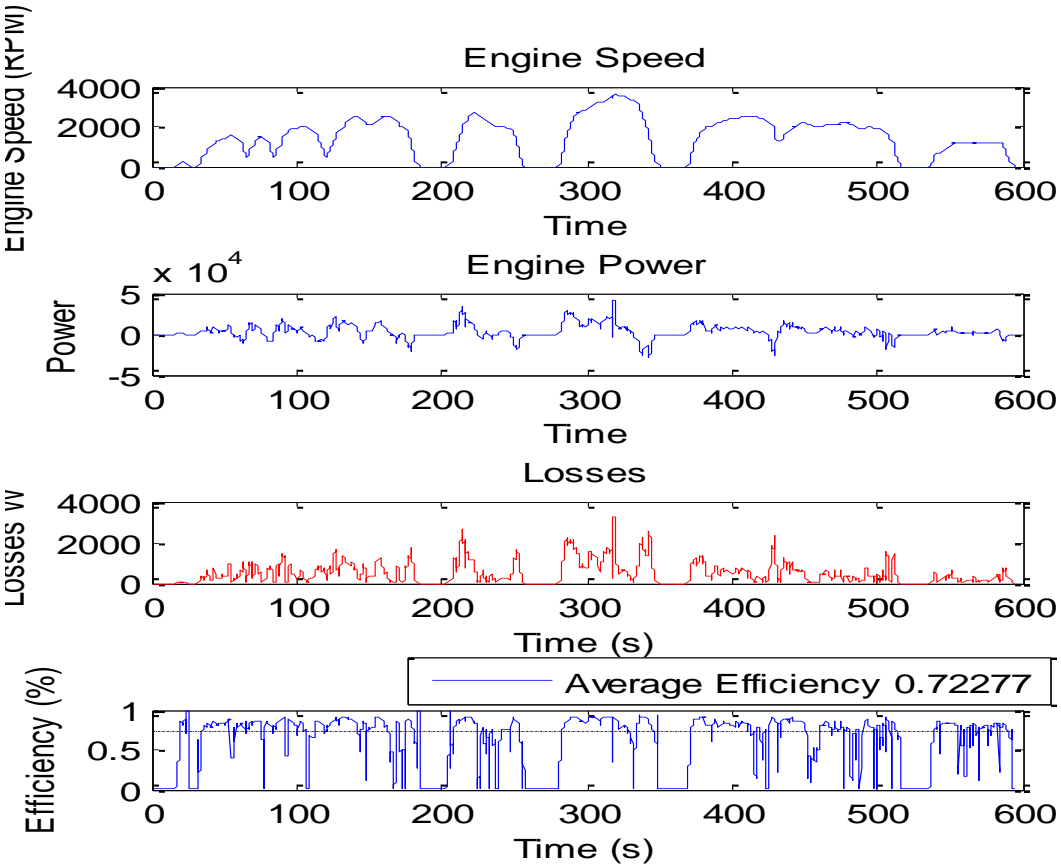
• Solution

- รวมความเร็ว $v(t)$ เป็นตัวเลข \rightarrow ระยะทาง $s(t)$ ใช้สำหรับเอียง (s)
- ความแตกต่างของความเร็ว $v(t)$ เติงตัวเลข \rightarrow ความเร่ง $a(t)$
- หลักการโมเมนต์เชิงเส้น \rightarrow แรงจุดยาง $F_{x,Tyre}$
- หลักการโมเมนต์เชิงมุม \rightarrow ล้อ/โหดเพลลา F_z
- ค่าสัมประสิทธิ์การจุดลาก $\mu_x = \frac{F_{x,Tyre}}{F_z}$
- ลักษณะยางกลับหัว $\rightarrow s_x(\mu_x)$
- หลักการโมเมนต์เชิงเส้น \rightarrow แรงจุดลาก $F_{x,Drive}$
- กำลังที่ล้อ, กำลังที่เครื่องยนต์
- แผนี่ประสิทธิภาพ/แผนี่การบริโภคน้ำมันเชื้อเพลิง \rightarrow เชื้อเพลิง/การใช้พลังงาน

NEDC

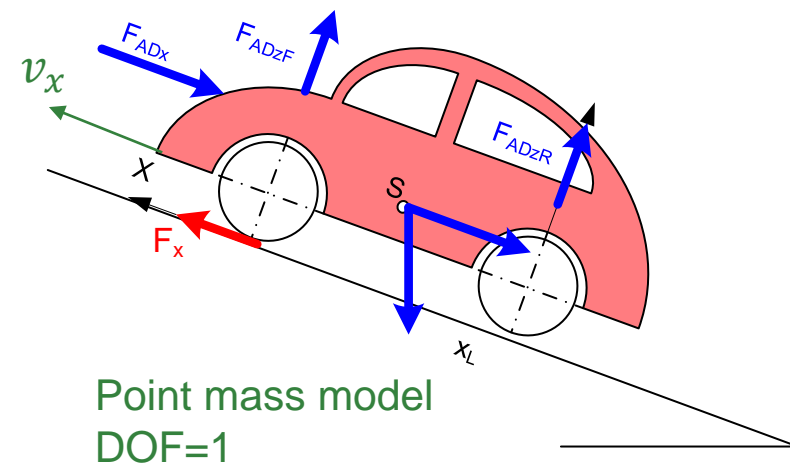
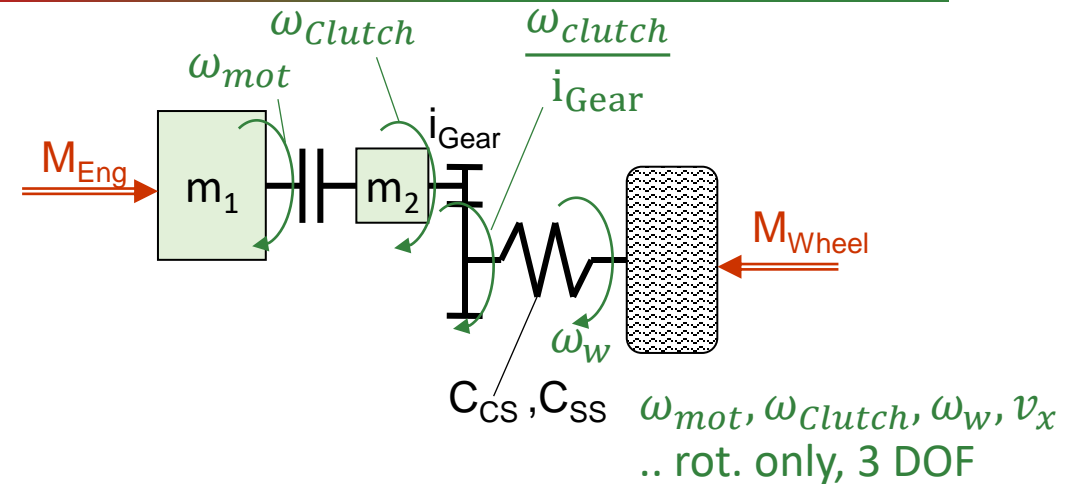


US SC03



ส่งต่อแบบจำลองจำลองโดยใช้โครเวอร์

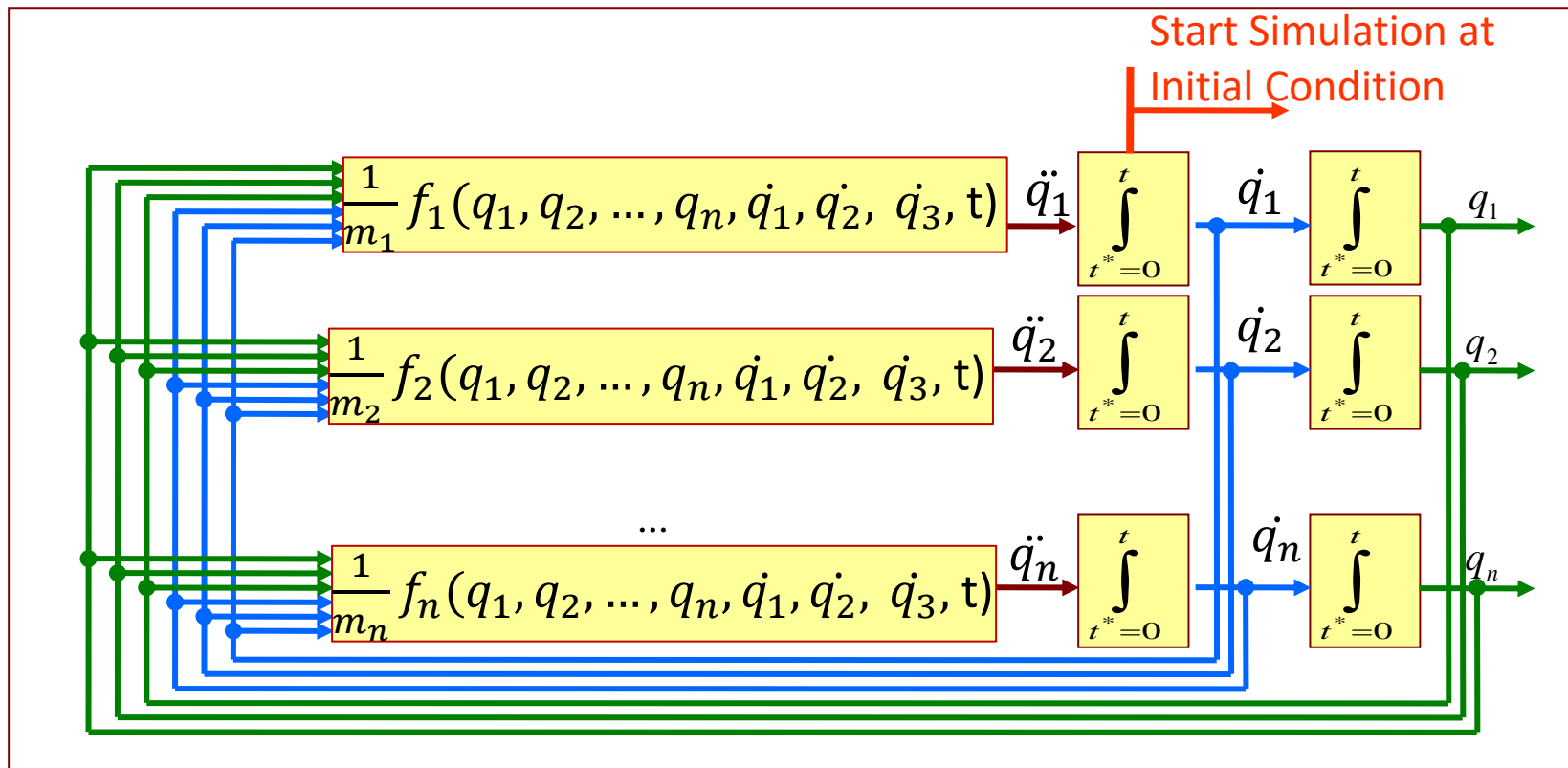
- Driver (PI-Controller)
 - In: $v_{Req}(t), v(t)$, out: Accel. Ped. AP
- Engine
 - ลักษณะคันเร่ง $M_{Mot0}(nMot, AP)$
 - 1st order delay $\rightarrow M_{Mot}$
- แบบจำลองหลายตัว
 - Rigid bodies, 1 DOF each
 - e.g.: รถไฟฟ้า: มอเตอร์, คลัตช์+เกียร์, ล้อ
 - chassis: 1 DOF in x
 - connected by massless force elements
 - Clutch + torsional springs, side shaft, tire model



Simulink

หลักการแก้ปัญหา ODE's

- n DOF: n สมการเชิงอนุพันธ์สามัญไม่เชิงเส้นของลำดับที่ 2



Practice Backwards Sim. Model



- [PracticeBackLong.m](#)

use MATLAB or Octave to run.



Co-funded by the
Erasmus+ Programme
of the European Union

Dr. Karl Reisinger

FH | JOANNEUM
University of Applied Sciences

Discussion

- ได้โปรดตั้งกลุ่ม 4-5 กลุ่ม ผมเสนอให้ผสมปนเปกันระหว่างมหาวิทยาลัย.
- สนทนาคำถามต่อไปนี้:
 - แนวทางการสอนอื่น ๆ ในหัวข้อที่แนะนำ
 - หัวข้อที่ฉันทลาดโดยทั่วไป (เทียบกับแผนงานภาพรวม)
 - หัวข้อที่ยกเลิกเพราะไม่คิดว่าสำคัญ.
- การนำเสนอและอภิปรายผลลัพธ์ของคุณ.

Literature



- Milliken W.F, Milliken D.: Race Car Vehicle Dynamics, SAE Int., 1995
- Rill G.: Road Vehicle Dynamics – Fundamentals and Modelling; CRC Press Taylor Francis Group
- Heiing/Ersoy (Eds.): Chassis Handbook, 1st Ed., Vieweg+Teubner, 2011.
- Mitschke/Wallentowitz: Dynamik der Kraftfahrzeuge, 4. Auflage, Springer





Engineering Knowledge Transfer Units to Increase Student's Employability and Regional Development



<https://www.facebook.com/unitederasmus/>



Co-funded by the
Erasmus+ Programme
of the European Union

This project has been funded with support from the European Commission. This publication reflects the views only of the author, and the Commission cannot be held responsible for any use which may be made of the information contained therein.598710-EPP-1-2018-1-AT-EPPKA2-CBHE-JP



UNITED

FH | JOANNEUM
University of Applied Sciences

Engineering Knowledge Transfer Units to Increase
Student's Employability and Regional Development

การสอน “พื้นฐานพลศาสตร์ยานยนต์” 2

by Dr. Karl Reisinger

ไดนามิกด้านข้างแนวตั้ง



Co-funded by the
Erasmus+ Programme
of the European Union

This project has been funded with support from the European Commission. This publication reflects the views only of the author, and the Commission cannot be held responsible for any use which may be made of the information contained therein.598710-EPP-1-2018-1-AT-EPPKA2-CBHE-JP

พลวัตด้านข้าง/แนวตั้งในหลักสูตรปริญญาตรี

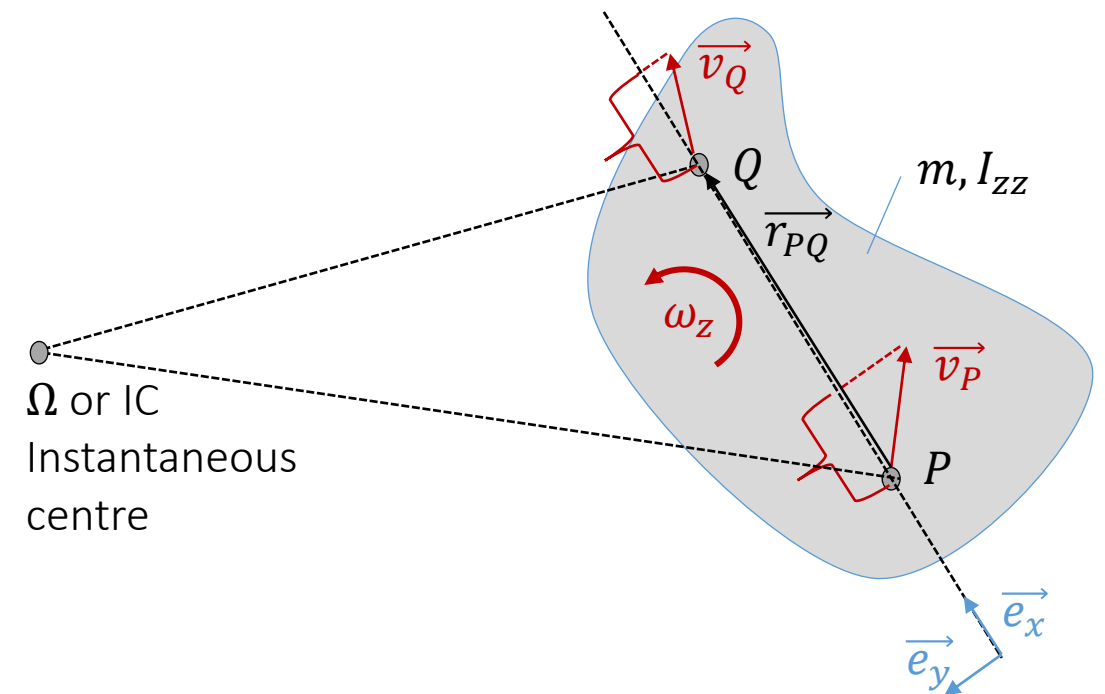
- รถเคลื่อนที่อย่างไรเนื่องจากมุมบังคับเลี้ยว?
 - คำอธิบายโดยใช้ **Single Track Model**
 - w/o มุมสลีปยาง → Ackermann Kinematics
 - สภาพรถพร้อมมุมสลีปยาง
 - พื้นฐานในการหาสมการการเคลื่อนที่สำหรับโมเดลรางเดี่ยวเชิงเส้น
 - พฤติกรรมหลักที่อ่านจาก ODE-System
- **Understeer behaviour?**
 - การทดสอบ, เป้าหมาย, **Understeer Gradient**, อิทธิพลของพารามิเตอร์
- **Two Track Model**
 - ความเร็วศูนย์กลางล้อในแต่ละมุม อธิบายรุ่นรางเดี่ยวและรุ่นรางสองราง
 - **Ackermann Steering**, บทบาทของความแตกต่าง
- **Vertical dynamics**
 - **Comfort, Quarter Vehicle Model, Road Description (Power density Spectrum)**
- การจำลอง: ไปข้างหน้า, ย้อนกลับ., มุมมองต่อ **veDYNA (TESIS)**

ด้านข้าง/โปรแกรมไดนามิกแนวตั้งในโปรแกรมปริญาโท

- การถ่ายโอนน้ำหนักล้อด้านข้าง
 - มวลชนที่ถูกระงับ, ไม่ถูกระงับ
 - อิทธิพลของการปฏิบัติตามข้อกำหนดและรูปทรงของช่วงล่าง
- ศักยภาพด้านข้างของยานพาหนะ
 - G-G-Diagram
 - Milliken Moments Diagram
- Ride – สปริงช่วงล่างและ Damper
 - ความสะดวกสบาย, ความปลอดภัยในการขับขี่
- การจำลอง
 - AVL/VSM แนวทางปฏิบัติเพื่อให้ได้รับข้อมูลเชิงลึก.

จลนศาสตร์ในระนาบ x-y - Review

- สมมติ 2 จุดที่ร่างกาย P, Q
- ร่างกายมีความเร็ว \vec{v}_P และหมุนด้วย $\vec{\omega} = \omega_z$
- เราจะได้ความเร็วเป็น $Q \vec{v}_Q = \vec{v}_P + \vec{\omega} \times \overrightarrow{r_{PQ}} = \vec{v}_P + \omega_z \cdot \overrightarrow{PQ} \cdot \vec{e}_y$
- ความเร็วในทิศทางของ \overrightarrow{PQ} ไม่เปลี่ยนแปลง, ถ้าร่างกายแข็งแรง
- มีจุดเสมือนอยู่ตรงกลางทันที ซึ่งสามารถมองเห็นเป็นบานพับชั่วคราว ร่างกายจะหมุนไปรอบๆ.
- ความเร็วแต่ละเส้นตั้งฉากกับเส้นตรง $\overrightarrow{\Omega P}$ และ $\overrightarrow{\Omega Q}$



Task: Velocities w/o and with tire slip angle

- กำหนดเป็นรุ่น **Single Track** ให้เลี้ยวซ้าย

- เป็นตัวแทนของศูนย์กลางของรถ.
- ให้เป็นสถานะเลี้ยวคงตัวและ
 - ความเร็วตามยาว $v_x = \text{const}$, tire radius r_e
 - ฐานล้อ l_{wb} , ศูนย์กลางของแรงโน้มถ่วงคือ x_{CG} หน้าเพลาหลัง
 - เราคัดท้ายล้อหน้าโดย δ
 - สมมติว่าเรารู้มุมสลิปยาง

Scene A: เนื่องจากการเคลื่อนที่ช้า เราจึงได้ **lat** ต่ำ อัตราเร่งและมุมสลิปยางที่มองข้ามไม่ได้.

Scene B: เลี้ยวซ้าย ความเร่งด้านข้างทำให้เกิดแรงเฉื่อยซึ่งพยายามเคลื่อนรถไปทางด้านขวา. เราจะได้มุมสลิปยางที่ชี้ไปทางด้านขวา.

- Wanted:** สมการสำหรับฉาก **A** และ **B** สำหรับ

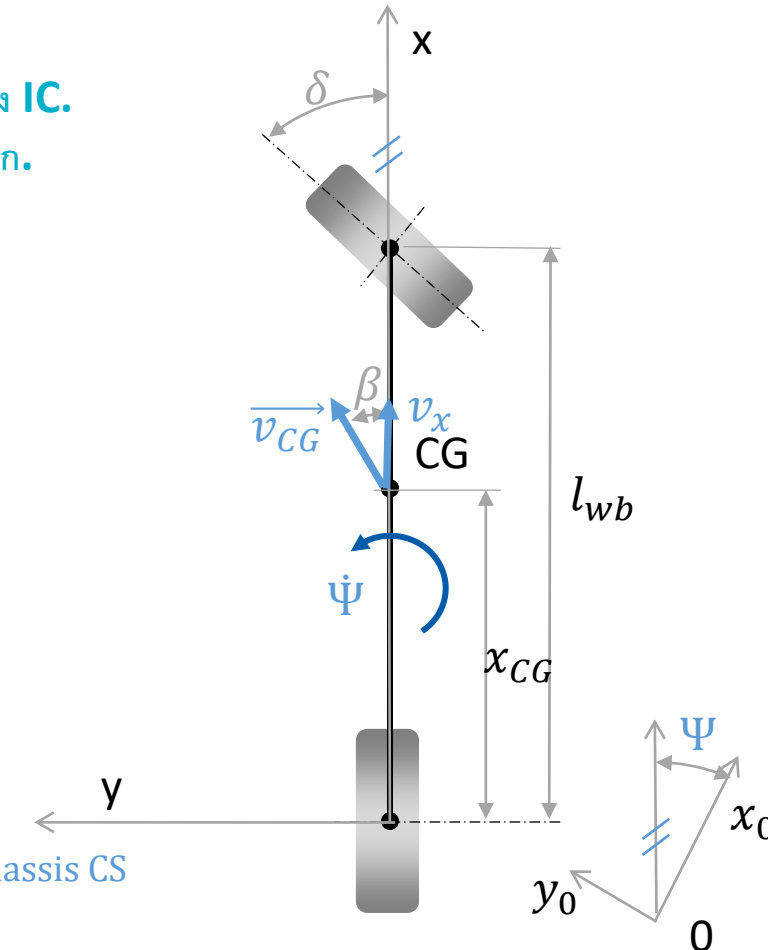
- รัศมี R_y ระยะทาง y ของ **CG** ถึง **IC**
- รัศมี R ถึง **CG**
- มุมสลิปของร่างกาย β , มุมระหว่าง \vec{v}_{CG} และ **x-Axis**
- อัตราการหันเห $\dot{\Psi}$
- ความเร็วใน **CG**
- ความเร็วล้อหน้า/rear neglecting long. slip.

คำแนะนำ:

ร่างความเร็วในศูนย์กลางและสร้าง **IC**.

แล้วคุณจะได้พบสามเหลี่ยมมุมฉาก.

ใช้พิกัดรถ.



x_0, y_0 .. Inertial CS, x, y .. Chassis CS

Ψ .. Heading Angle, Yaw Angle,

$\beta + \Psi$.. Course Angle

$\dot{\Psi} = \omega_z$.. Yaw Rate = rot. about z-axis

Scene A), no tire slip angle

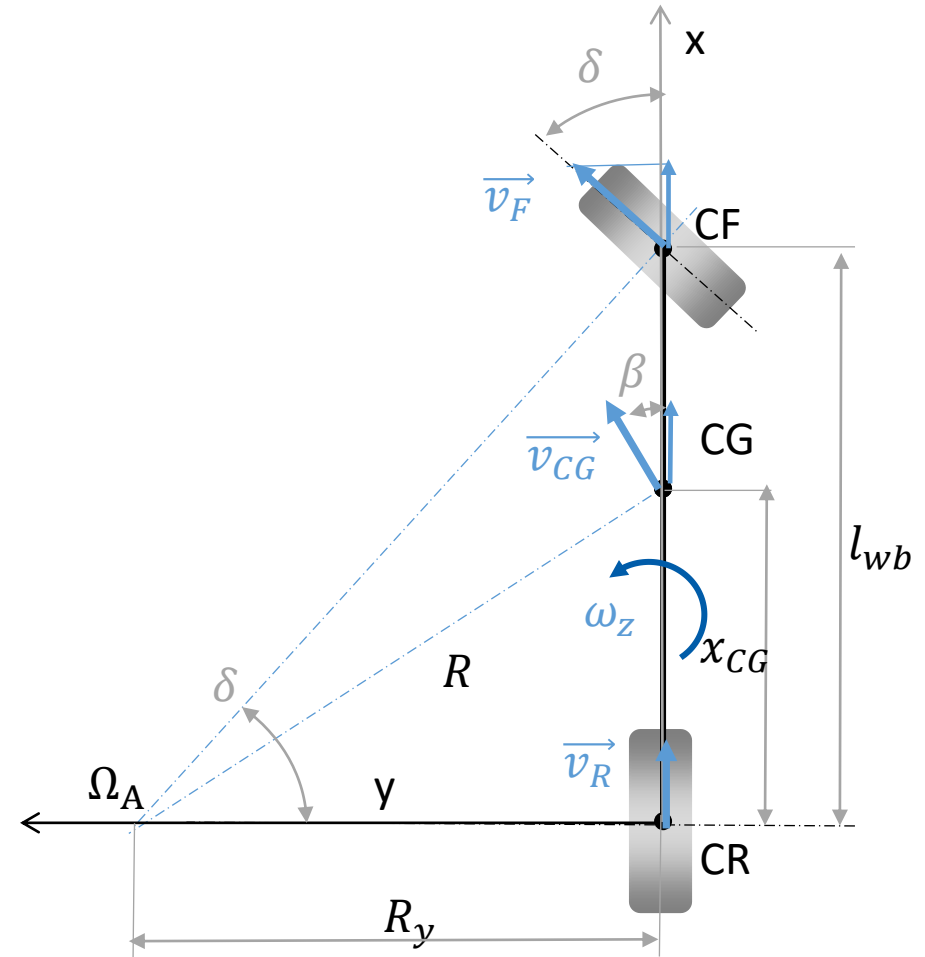
- R_y : Triangle CF-CR- Ω_A

$$\tan(\delta) = \frac{l_{wb}}{R_y}$$
- R, β : Triangle CG-CR- Ω_A

$$R^2 = R_y^2 + x_{CG}^2, \quad \tan(\beta) = \frac{x_{CG}}{R_y}$$
- Or $v_{x,CG} = v_x, v_{y,CG} = x_{CG} \cdot \omega_z, \tan(\beta) = \frac{v_{y,CG}}{v_{x,CG}}$
- $\dot{\Psi}, R$: Kinematics with $\dot{\Psi} = \omega_z$

$$v_x = R_y \cdot \dot{\Psi}, v_{CG} = R \cdot \dot{\Psi} = \frac{v_x}{\cos(\beta)}$$
- ω_w : In tire coordinates, no long. slip

$$v_{Fx}^T = \frac{v_x}{\cos(\delta)} = r_e \cdot \omega_{wF}, v_{Rx}^T = v_R = v_x = r_e \cdot \omega_{wR},$$



Scene B), with tire slip angle

- ยางเป็นไปตามแรงลมยาง $\rightarrow \alpha_F, \alpha_R$ ที่ไปทางขวาเล็กน้อย
- R_y, x_{IC} : Triangle X-CR- Ω + Triangle X-CF- Ω

$$\tan(\alpha_R) = \frac{x_{IC}}{R_y}, \tan(\delta - \alpha_F) = \frac{l_{wb} - x_{IC}}{R_y}$$
- R, β : Triangle CG-X- Ω

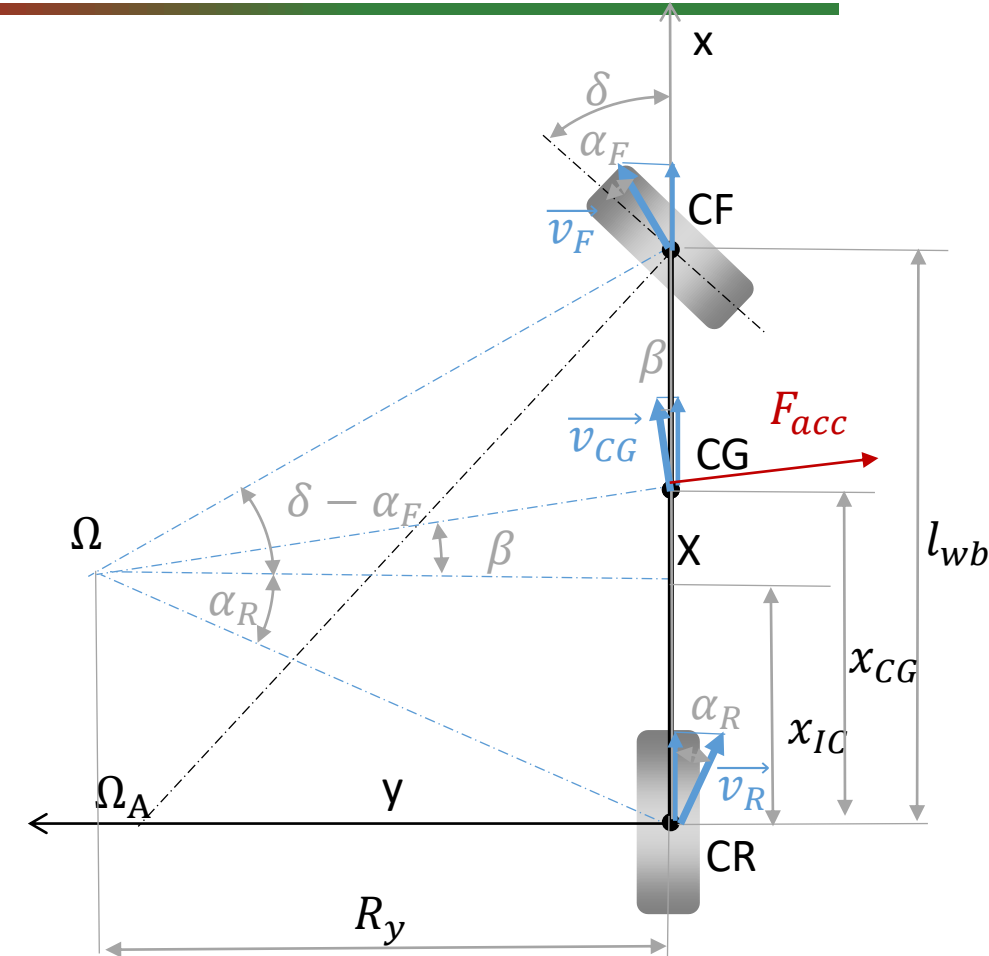
$$R^2 = R_y^2 + (x_{CG} - x_{IC})^2, \quad \tan(\beta) = \frac{x_{CG} - x_{IC}}{R_y}$$
- Or $v_{x,CG} = v_x = v_R \cdot \cos(\alpha_R), v_{y,CG} = -v_R \cdot \sin(\alpha_R) - x_{CG} \cdot \dot{\Psi}$,

$$\tan(\beta) = \frac{v_{y,CG}}{v_{x,CG}}$$
- $\dot{\Psi}, R$: Kinematics with $\dot{\Psi} = \omega_z$

$$v_x = R_y \cdot \dot{\Psi}, v = R \cdot \dot{\Psi} = \frac{v_x}{\cos(\beta)}$$
- ω_W : In tire coordinates, no long. slip

$$v_F = \frac{v_x}{\cos(\delta)}, v_{Fx}^T = v_F \cdot \cos(\alpha_F) = r_e \cdot \omega_{WF},$$

$$v_{Rx}^T = v_x = v_R \cdot \cos(\alpha_R) = r_e \cdot \omega_{WR}$$



CG อัตราเร่ง

- P .. Origin of body fixed CS, this CS rotates with $\vec{\omega} = \dot{\Psi}$
- CG .. center of Gravity of body, Velocity \vec{v}_{CG} points in dir. $\Psi + \beta$, rotates with $\dot{\Psi} + \dot{\beta}$ in z-direction

• Position $\vec{r}_{CG} = \vec{r}_P + \vec{r}_{PCG}$

• Velocity $\vec{v}_{CG} = \dot{\vec{r}}_{CG} = \dot{\vec{r}}_P + \dot{\vec{r}}_{PCG} + \vec{\omega} \times \vec{r}_{PCG}$,

with $\vec{v}_{PCG} = |\dot{\vec{r}}_{PCG}| \cdot \vec{e}_x = 0$:

$\vec{v}_{CG} = \vec{v}_P + \vec{\omega} \times \vec{r}_{PCG}$,

- Acceleration

$$\vec{a}_{CG} = \vec{a}_P + \vec{a}_{PGG} + \dot{\vec{\omega}} \times \vec{r}_{PCG} + 2 \vec{\omega} \times \vec{v}_{PCG} + \vec{\omega} \times \vec{v}_{CG}$$

$$\vec{a}_{CG} = \vec{a}_{CS} + \vec{a}_{rel} + \vec{a}_{Euler} + \vec{a}_{Coriolis} + \vec{a}_{Zentripetal}$$

With $\vec{a}_{PGG} = \vec{v}_{PCG} = 0$, rigidly connected

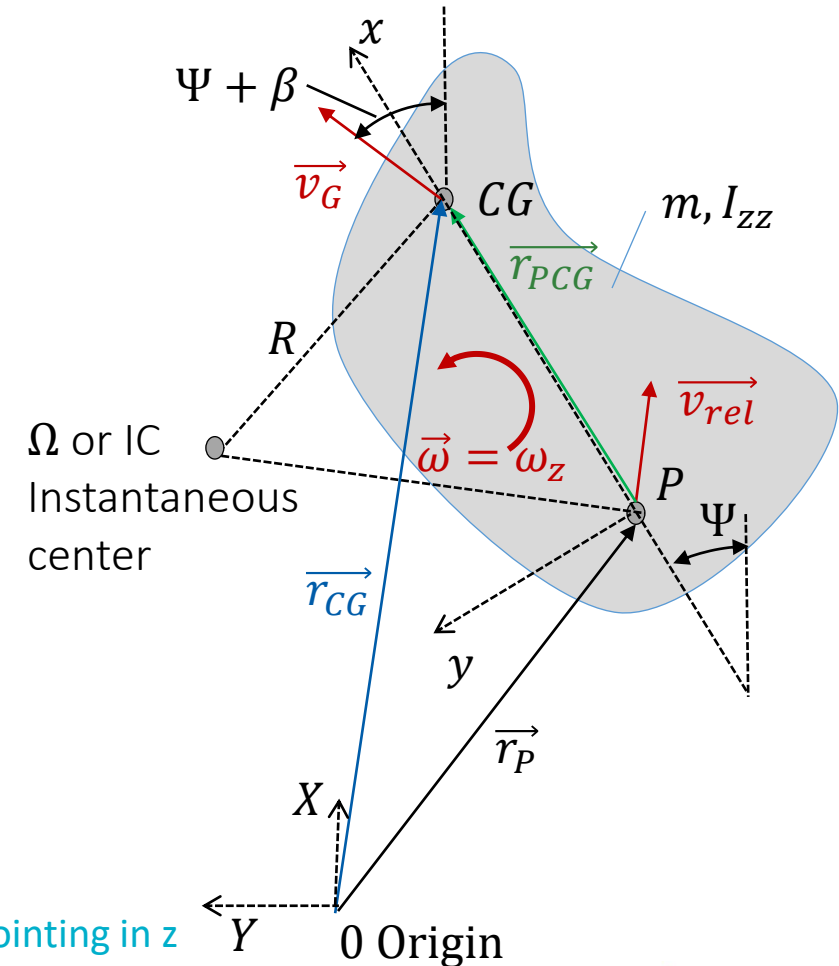
$$\vec{a}_{CG} = \vec{a}_P + \dot{\vec{\omega}} \times \vec{r}_{PCG} + \vec{\omega} \times \vec{v}_{CG}$$

Generally $\dot{\vec{\omega}} = \dot{\Psi} \neq 0$, \vec{a}_C points in x and y

- CG acceleration doesn't point to IC
- Longitudinal acceleration: $\mathbf{a}_{CGx} \neq \mathbf{a}_{Px}$
- Centripetal acceleration: $\mathbf{a}_{CGy} = \frac{v_{CG}^2}{\rho} = \mathbf{v}_{CG} \cdot (\dot{\Psi} + \dot{\beta})$... see also Mitschke Wallentowitz S. 552
- $\rho \neq R$... ρ curvature radius of CG path, R ... distance CG to IC

Steady State $\dot{\vec{\omega}} = \dot{\Psi} = 0, v_x = const, \dot{\beta} = 0, \delta = const$... stabilized circular driving

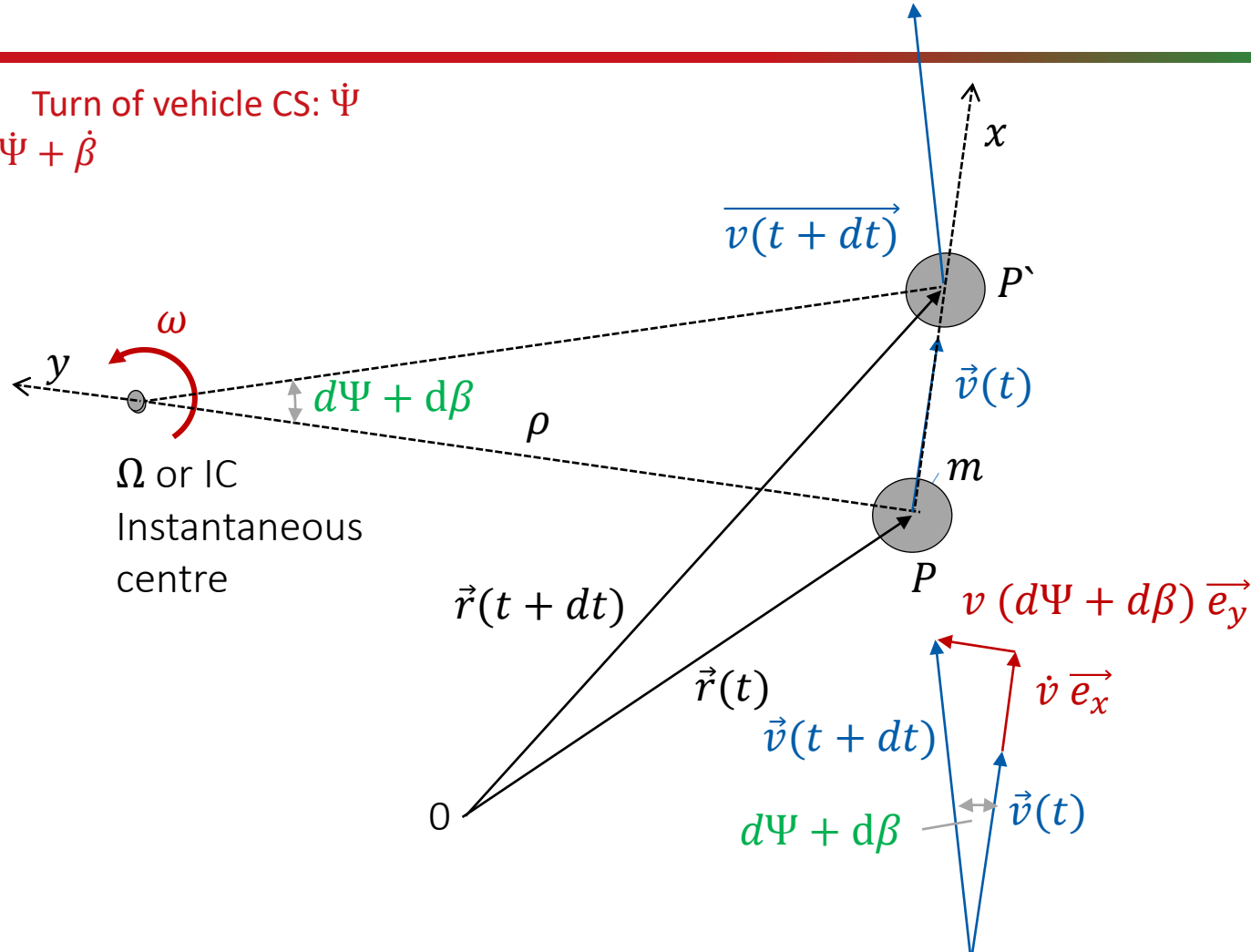
- CG acceleration points to IC
- $\rho = R$... ρ curvature radius of CG path, R ... distance CG to IC
- Longitudinal acceleration: $a_{CGx} = 0$
- Centripetal acceleration: $a_{CGy} = \frac{v_{CG}^2}{R} = v_{CG} \cdot \dot{\Psi} = R \cdot \dot{\Psi}$



Please differentiate! Turn of vehicle: $\vec{\omega} = \dot{\Psi}$ pointing in z
 Turn of CG velocity: $\dot{\Psi} + \dot{\beta}$ gives centripetal acc.

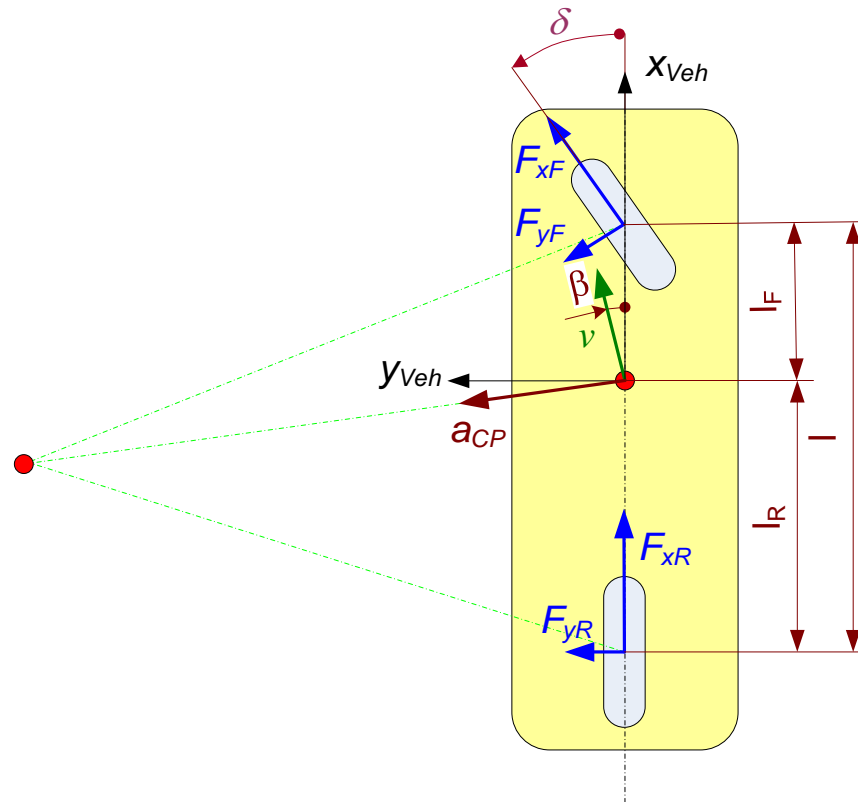
อัตราเร่ง

Please differentiate! Turn of vehicle CS: $\dot{\Psi}$
 Turn of CG velocity: $\dot{\Psi} + \dot{\beta}$



Kinetics1:

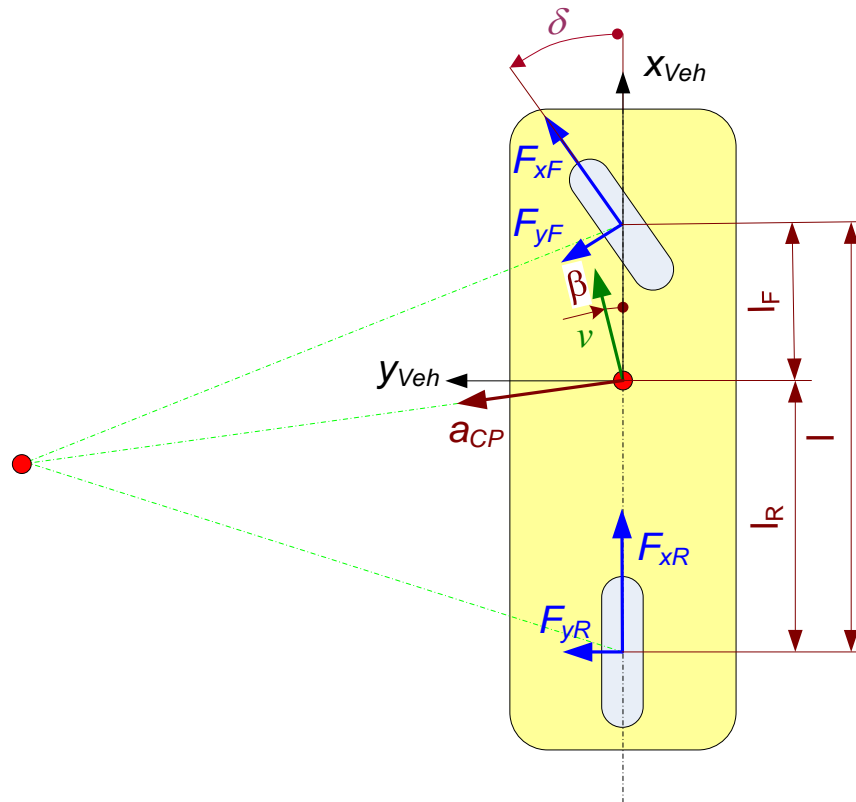
หลักการโมเมนตัมเชิงเส้น



- Position $\vec{r}(t) = \begin{pmatrix} x \\ y \\ 0 \end{pmatrix}$
- $m \vec{a} = \vec{F}_F + \vec{F}_R$
- $m \begin{pmatrix} a_x \\ a_y \\ a_z \end{pmatrix} = \bar{A} \cdot \begin{pmatrix} F_{xF,T} \\ F_{yF,T} \\ 0 \end{pmatrix} + \begin{pmatrix} F_{xR} \\ F_{yR} \\ 0 \end{pmatrix}$
- $\bar{A} = \begin{pmatrix} \cos \delta & \sin \delta & 0 \\ -\sin \delta & \cos \delta & 0 \\ 0 & 0 & 1 \end{pmatrix}$

Kinetics 2:

หลักการโมเมนต์เชิงมุม

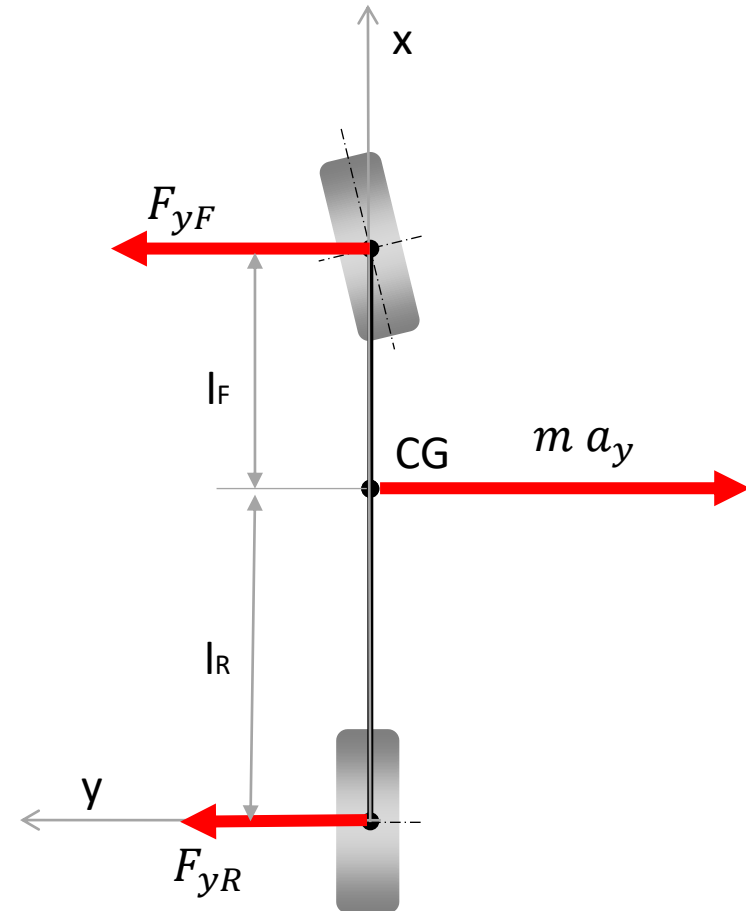


$$I_{zz} \cdot \begin{pmatrix} 0 \\ 0 \\ \ddot{\Psi} \end{pmatrix} = \begin{pmatrix} l_f \\ 0 \\ 0 \end{pmatrix} \times \begin{pmatrix} \cos \delta & \sin \delta & 0 \\ -\sin \delta & \cos \delta & 0 \\ 0 & 0 & 1 \end{pmatrix} \cdot \begin{pmatrix} F_{xF,T} \\ F_{yF,T} \\ 0 \end{pmatrix} + \begin{pmatrix} -l_R \\ 0 \\ 0 \end{pmatrix} \times \begin{pmatrix} F_{xR} \\ F_{yR} \\ 0 \end{pmatrix}$$

$$I_{zz} \ddot{\Psi} = (F_{xF,T} \sin \delta + F_{yF,T} \cos \delta) \cdot l_f - F_{yR} \cdot l_R$$

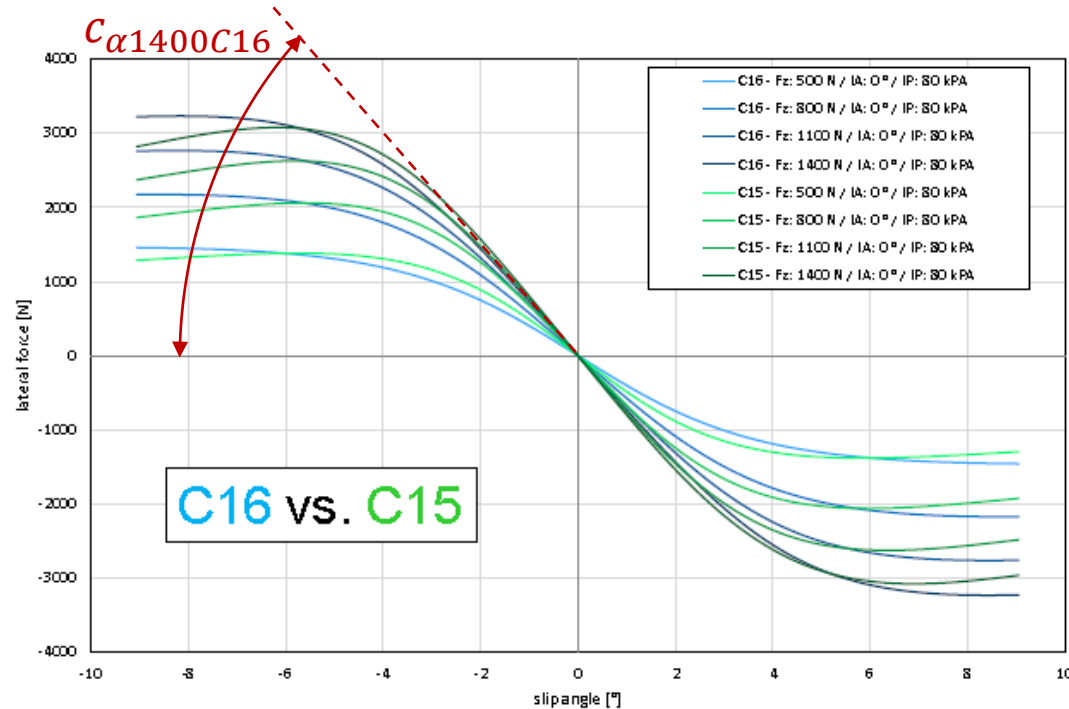
จลนพลศาสตร์สำหรับมุมเล็ก, $a_x = 0$

- $m \cdot a_x = F_{xF} + F_{xR}$
- $m \cdot a_y = F_{yF} + F_{yR}$
- $I_{ZZ} \ddot{\Psi} = F_{yF,T} \cdot l_f - F_{yR} \cdot l_R$



Linearized tire Model

Example: $c_{\alpha 1400 C16}$ lin. approach for tire C16, $F_z=1400N$



Source: Continental
C15, C16 2 types of Formula S racing tires

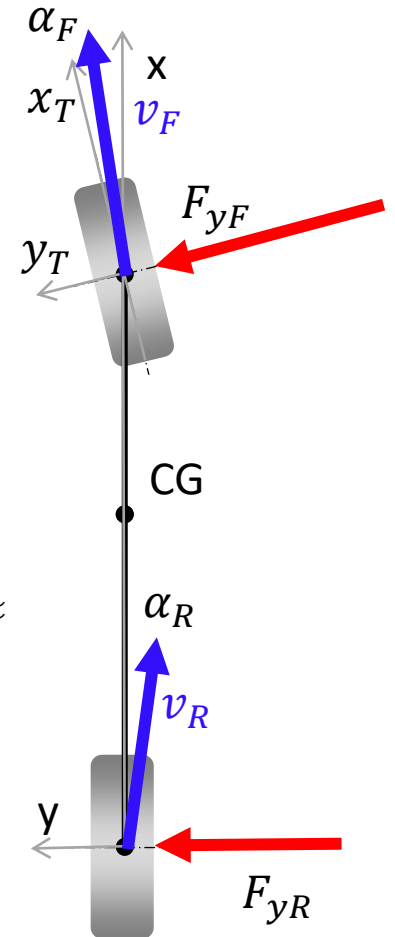
- $F_{yF}^T = \alpha_F \cdot c'_{\alpha F}$

- $F_{yR} = \alpha_R \cdot c_{\alpha R}'$

- c_{α}' ... ความผิดเมื่อเข้าโค้งรวมถึงการปฏิบัติตามข้อกำหนด (=ความอ่อนแอของระบบกันสะเทือน)

- $c_{\alpha} = f(F_z)$, ใช้ถูกต้อง F_z

- ข้อควรจำ: เรามี 2 ล้อต่อเพลลาเพื่อส่งน้ำหนักล้อและแรงด้านข้าง.



สมการของการเคลื่อนที่ไหว

- 2 ODE's of 1. Order in β und Ψ

$$\dot{\beta} = -\frac{c_{\alpha F} + c_{\alpha R}}{m v} \cdot \beta + \left(\frac{c_{\alpha R} \cdot l_R - c_{\alpha F} \cdot l_F}{m v^2} - 1 \right) \cdot \dot{\Psi} + \frac{c_{\alpha F}}{m v} \cdot \delta$$

$$\ddot{\Psi} = -\frac{c_{\alpha F} \cdot l_R - c_{\alpha R} \cdot l_F}{I_{ZZ}} \cdot \beta - \frac{c_{\alpha R} \cdot l_R^2 - c_{\alpha F} \cdot l_F^2}{I_{ZZ} v} \cdot \dot{\Psi} + \frac{c_{\alpha F}}{I_{ZZ}} \cdot \delta$$

อย่าจำผลลัพธ์นี้ ดูในหนังสือ.
โปรดจำรูปร่างและพารามิเตอร์ที่มีอิทธิพล

$$\dot{\beta} = f_1 \cdot \beta + f_2 \cdot \dot{\Psi} + f_3 \cdot \delta$$

$$\ddot{\Psi} = f_4 \cdot \beta - f_5 \cdot \dot{\Psi} + f_6 \cdot \delta$$

$$f_i = f(c_{\alpha F, R}, l_{F, R}, m, I_{ZZ}, v) \neq f(t)$$

จำไว้ว่าเราได้มันมาอย่างไร!

- ข้อจำกัดทางจลนศาสตร์
- จลนศาสตร์
- ยาง

เครื่องเขย่ามวลเดี่ยวแบบ Force Excited

- โมเมนต์ตัมเชิงเส้น

$$m \ddot{x} = -F_{cd} + F_e$$

- สมการลิงค์

$$F_{cd} = +c x + d \dot{x}$$

- ODE

$$\ddot{x} = -\frac{c}{m} x - \frac{d}{m} \dot{x} + \frac{F_e}{m}$$

- การทดแทน

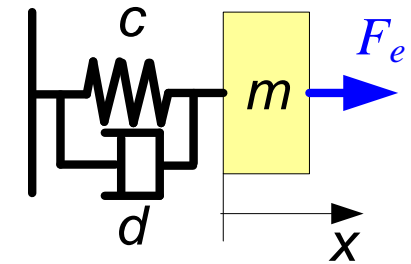
$$z_1 = x, z_1 = \dot{x}$$

-

$$z_2 = \dot{x}, z_2 = \ddot{x}$$

- ผลลัพธ์

$$\begin{pmatrix} \dot{z}_1 \\ \dot{z}_2 \end{pmatrix} = \begin{pmatrix} 0 & 1 \\ -\frac{c}{m} & -\frac{d}{m} \end{pmatrix} \begin{pmatrix} z_1 \\ z_2 \end{pmatrix} + \begin{pmatrix} 0 \\ \frac{1}{m} \end{pmatrix} \cdot F_e$$



พฤติกรรมของรถจักรยานโดย

- 2 ODE's of 1st order in β and $\dot{\Psi}$

$$\dot{\beta} = -\frac{c_{\alpha F} + c_{\alpha R}}{m v} \cdot \beta + \left(\frac{c_{\alpha R} \cdot l_R - c_{\alpha F} \cdot l_F}{m v^2} - 1 \right) \cdot \dot{\Psi} + \frac{c_{\alpha F}}{m v} \cdot \delta$$

$$\ddot{\Psi} = -\frac{c_{\alpha F} \cdot l_R - c_{\alpha R} \cdot l_F}{I_{ZZ}} \cdot \beta - \frac{c_{\alpha R} \cdot l_R^2 - c_{\alpha F} \cdot l_F^2}{I_{ZZ} v} \cdot \dot{\Psi} + \frac{c_{\alpha F}}{I_{ZZ}} \cdot \delta$$

- State Space Representation

$$\begin{pmatrix} \dot{\beta} \\ \dot{\omega} \end{pmatrix} = \begin{pmatrix} a_{11} & a_{12} \\ a_{21} & a_{22} \end{pmatrix} \begin{pmatrix} \beta \\ \omega \end{pmatrix} + \begin{pmatrix} b_1 \\ b_2 \end{pmatrix} \cdot \delta$$

- Compare to single mass vibrator with force exciting

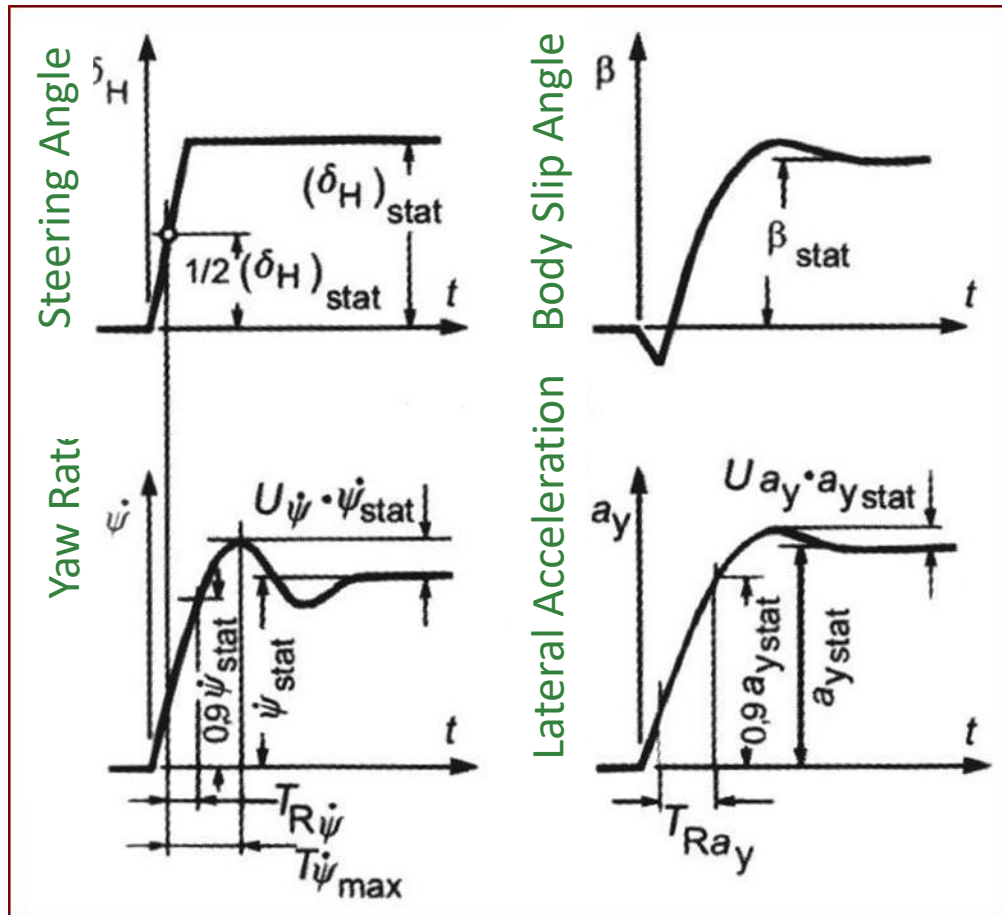
$$\begin{pmatrix} \dot{z}_1 \\ \dot{z}_2 \end{pmatrix} = \begin{pmatrix} 0 & 1 \\ -\frac{c}{m} & -\frac{d}{m} \end{pmatrix} \begin{pmatrix} z_1 \\ z_2 \end{pmatrix} + \begin{pmatrix} 0 \\ \frac{1}{m} \end{pmatrix} \cdot F_e$$

- ระบบห่วงแรงสั่นสะเทือนสูงหรือระบบไม่เสถียร

- Parameters

- ความผิดในการเข้าโค้ง
- ตำแหน่งของ CG
- มวล, ความเฉื่อย I_{ZZ}
- ความเร็ว

การทดสอบชั่วคราว



[HeiBing02]

- ดูด้วยความเร็วคงที่ $v_x = const$
 - Body Slip Angle $\beta(t)$
 - อัตราการหันเห $\Psi(t)$
 - การเร่งความเร็วด้านข้าง $a_y(t)$
- การตอบสนองของสตีพวงมาลัย
 - การควบคุมวงเปิด
 - วัดเวลาในการเข้าถึง 90% ของค่าสถานะคงตัว
 - **Overshoot U**
 - ค่าสถานะคงที่
- **Sine Input**
 - เพิ่มความถี่อินพุตพวงมาลัยช้าๆ แต่ต่อเนื่อง
 - วัดการตอบสนอง $\beta(t), \Psi(t), a_y(t)$
 - ใช้ **Fast Fourier Transformation** เพื่อสร้าง **Bode-Diagram**
- ผลลัพธ์: **Yaw-Damping, Yaw-Eigenfrequency**

Sine Steering



<https://www.youtube.com/watch?v=RrhctXIJKU&t=8s>



Co-funded by the
Erasmus+ Programme
of the European Union

FH | JOANNEUM
University of Applied Sciences

Dr. Karl Reisinger

Steady State Circular Driving

- จำเป็นต้องใส่พวงมาลัยเพื่อให้ได้รัศมี R

$$\delta \cong \frac{l}{R} + (\alpha_F - \alpha_R) = \delta_A + (\alpha_F - \alpha_R)$$

- δ ต้องเพิ่มขึ้นเพื่อชดเชยมุมสลีปยางหน้า,
- δ ต้องลดมุมสลีปยางหลัง!

- Using single track model:

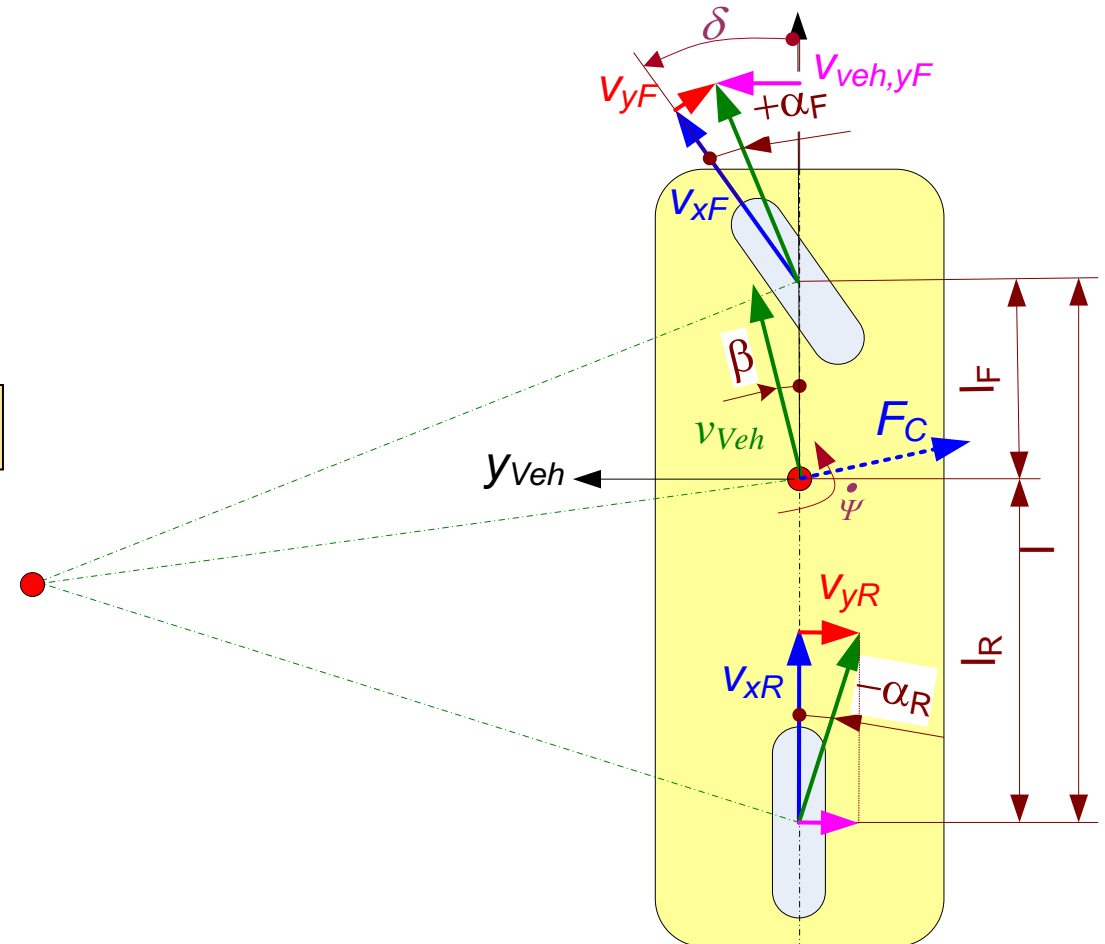
$$\delta \cong \frac{l}{R} + m \frac{v_x^2}{R_y} \left(\frac{1}{c'_{\alpha F}} \cdot \frac{l_R}{l} - \frac{1}{c'_{\alpha R}} \cdot \frac{l_F}{l} \right)$$

Ackermann

$$F_y = m \cdot a_y$$

Correction

- การเร่งความเร็วด้านข้างเพิ่มขึ้นตามความเร็วหรือรัศมี : $a_y = \frac{v_x^2}{R_y}$
- If we have to
 - steer more, ($\alpha_F > \alpha_R$) → UNDERSTEERING
 - steer less, ($\alpha_F < \alpha_R$) → OVERSTEERING
 - Otherwise: NEUTRAL
- การเข้าโค้ง $c'_{\alpha F/R}$ รวมถึงการปฏิบัติตามข้อกำหนดของยางและช่วงล่าง



Steady State Circular Driving Test with constant Radius

• สถานะคงที่: การเร่งความเร็วเข้าหรือที่ละขั้นตอนที่วงกลมทดสอบ.

- คัดทำให้อยู่ในวงกลมทดสอบ (R=40m, 100m)

- ไม่มีการเปลี่ยนแปลงการไหลไม่เร่งนาน.

- วัด δ_H vs. a_y

- $\delta_H = \frac{\delta}{i_S}, i_S \dots$ อัตราทดเกียร์

- $UG = \frac{d(\alpha_F - \alpha_R)}{da_y} = \left(\frac{1}{c'_{\alpha F}} \cdot \frac{l_R}{l} - \frac{1}{c'_{\alpha R}} \cdot \frac{l_F}{l} \right) \dots$ Understeer Gradient

Understeer

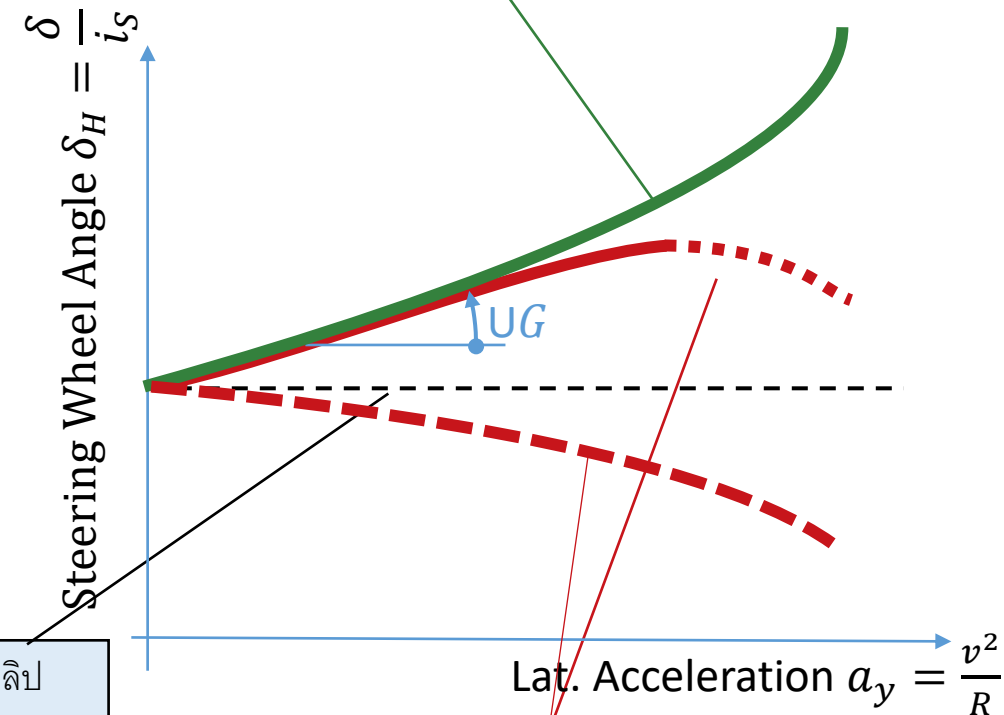
- นั่นคือสิ่งที่เราต้องการ, $\frac{d\delta}{da_y} > 0$

Oversteer

- นั่นคือเราต้องหลีกเลี่ยงในรถแข่งด้วย!

- อย่างสมกับไอเวอร์สเตอร์แบบเหนียวนำด้วยกำลัง ระบบขับเคลื่อนล้อหลังในตัว

เราต้องเพิ่มขึ้น δ ด้วยเพิ่มขึ้น a_y เพื่อให้อยู่ในเส้นทาง.
ถ้าเราไม่ทำอะไรเลย เราจะได้วงกว้างที่มั่นคงและมีอัตราเร่งน้อยลง.



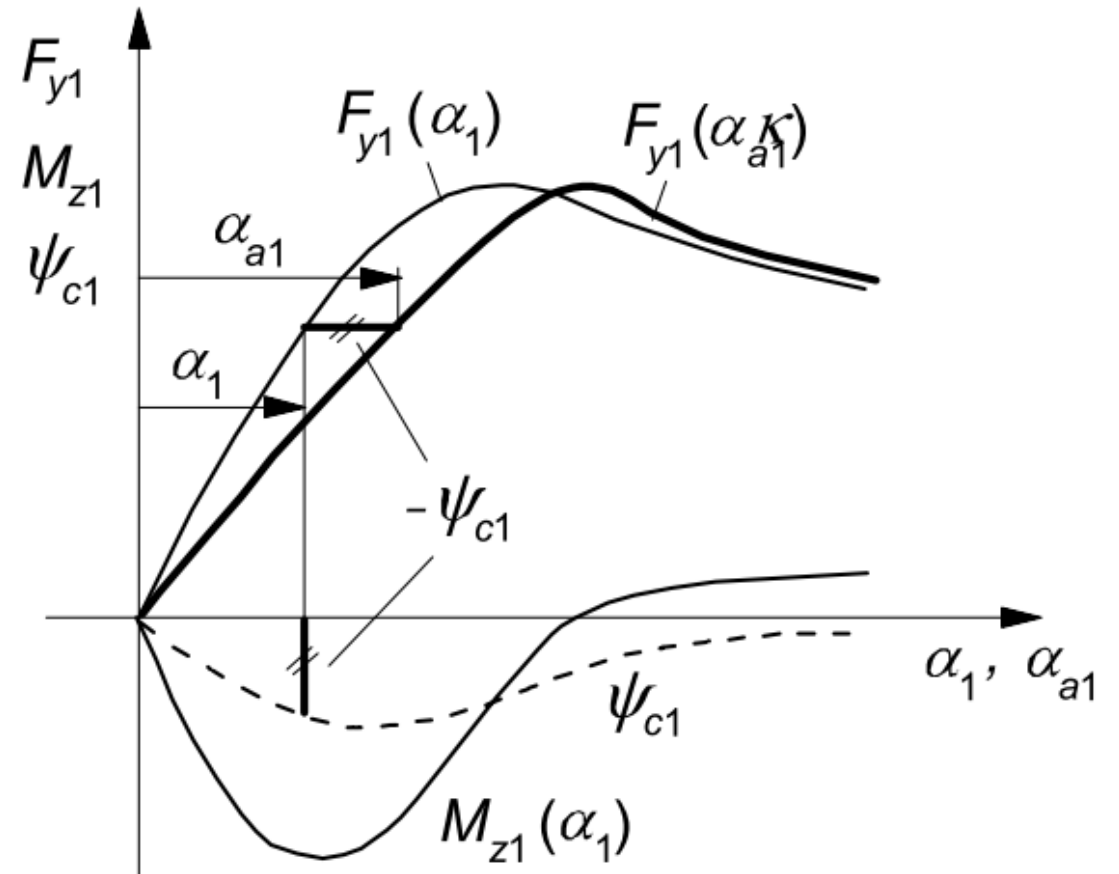
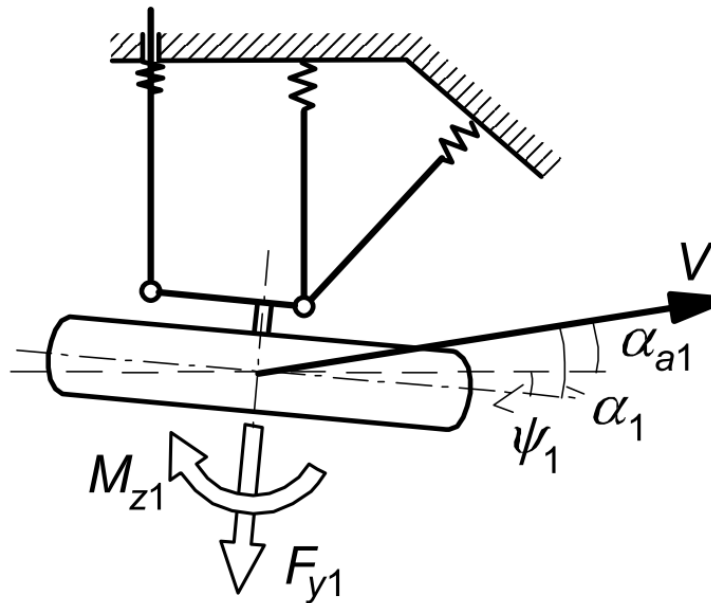
Test Facility
[www.magnasteyr.com]



Co-funded by the
Erasmus+ Programme
of the European Union

อิทธิพลของการปฏิบัติตามระบบกันสะเทือนและการบังคับเลี้ยว

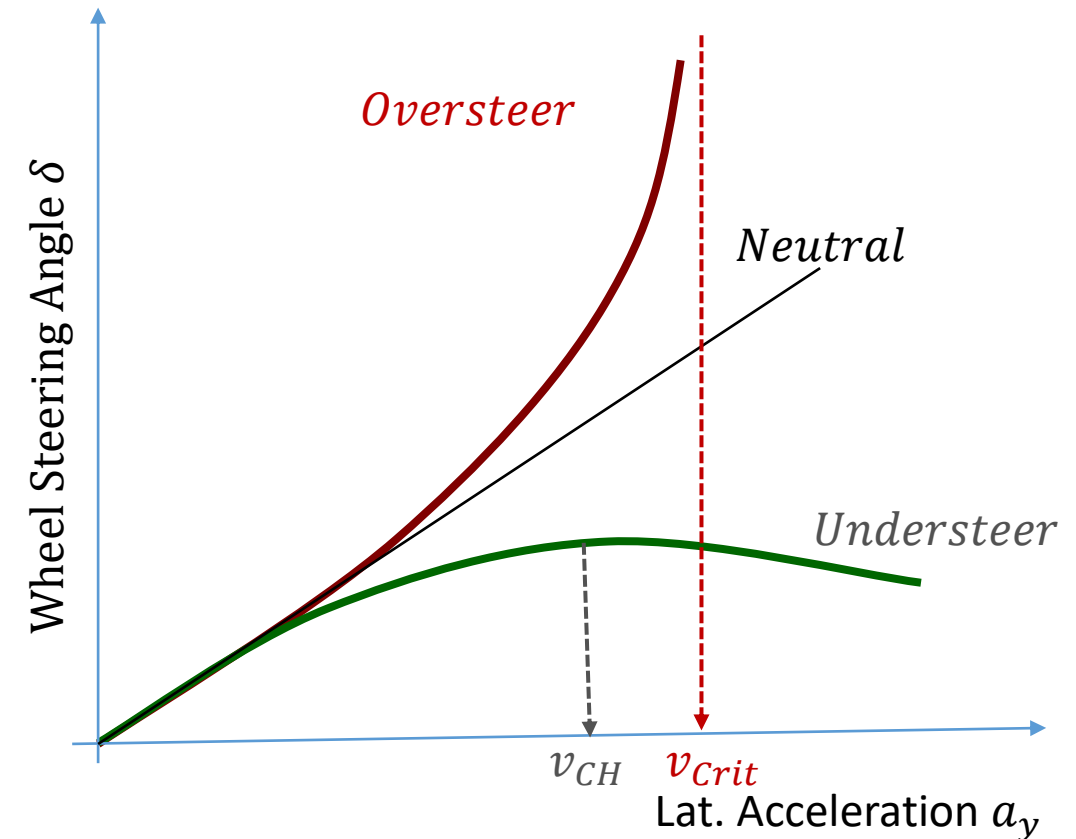
- “การปฏิบัติตาม” = $1 / \text{ความผิด}$



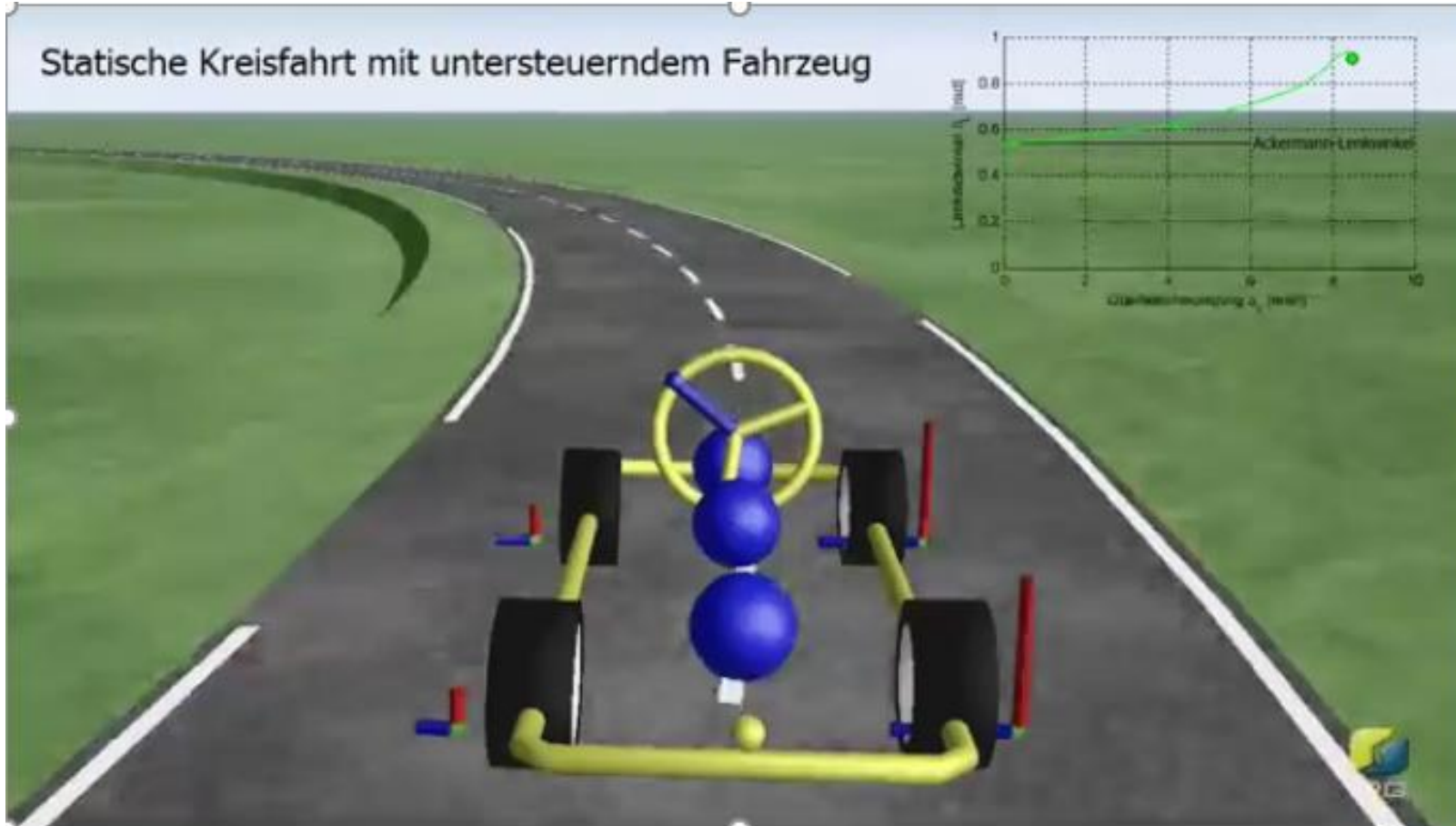
[Pacejka H.: Tyre and Vehicle Dynamics, Elsevier Amsterdam et. al. 2006]

Yaw Intensification

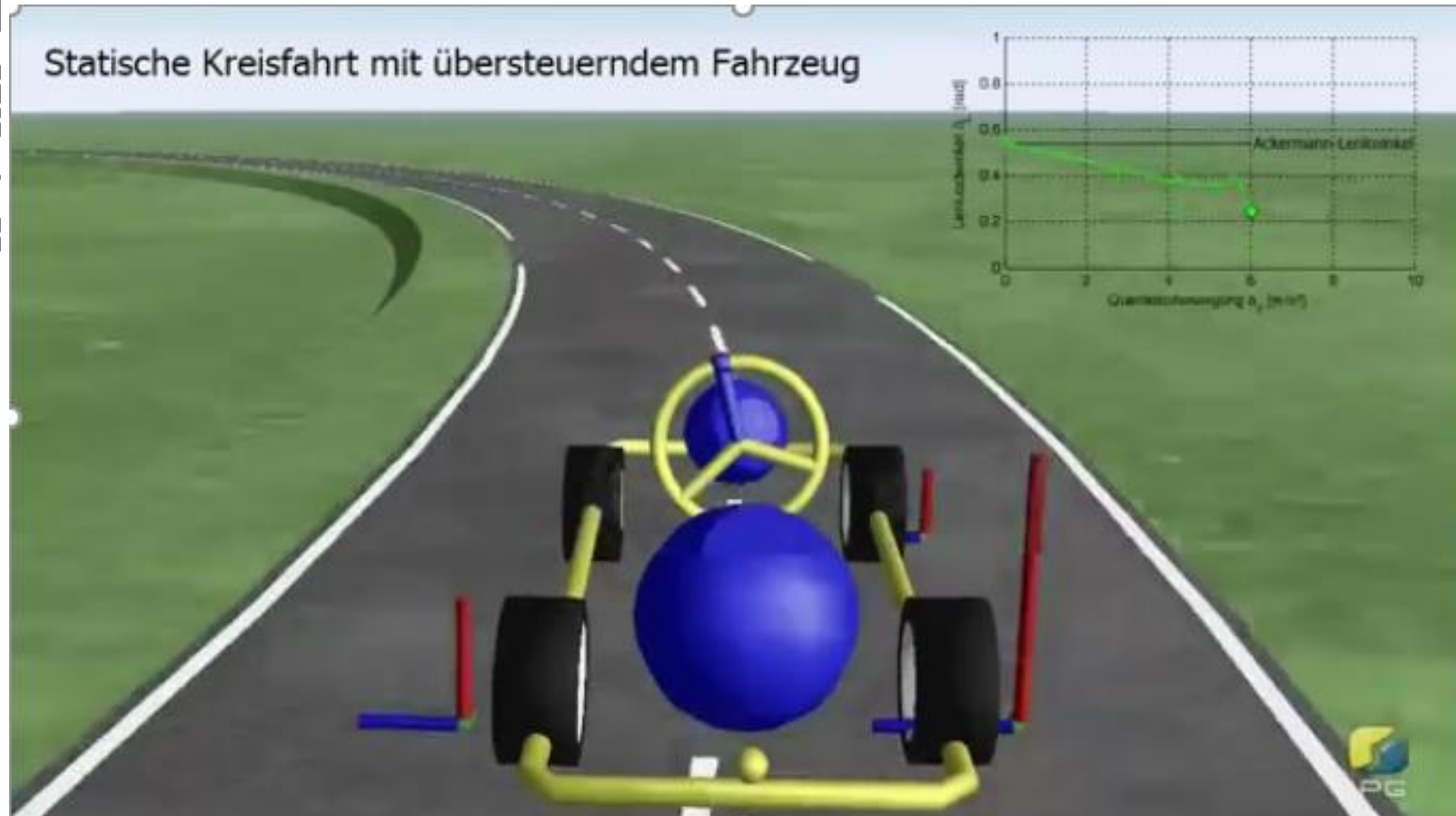
- สถานะคงที่ Yaw Intensification
- $$\frac{\dot{\psi}}{\delta} = \frac{v}{l_{wb} + \frac{\partial \delta}{\partial a_y} \cdot v^2}$$
 - ใช้ ODE สำหรับโมเดลแทร็กเดียวเพื่อให้ได้มา
- รถบังคับ
 - มีความเร็ววิกฤต v_{crit}
- Understeering Cars
 - มีความเร็วลักษณะเฉพาะ v_{char} , ความเร็วที่ตอบสนองต่ออินพุตพวงมาลัยได้ดีที่สุด
 - $65 \text{ km/h} < v_{ch} < 100 \text{ km/h}$



Understeer – Watch the steering wheel



Oversteer – Watch the steering wheel



พวงมาลัยพาวเวอร์ทำให้เกิดการ โอเวอร์สตีयर

UNITED



Co-funded by the
Erasmus+ Programme
of the European Union

<https://www.youtube.com/watch?v=shwgNV36xFA&t=4s>

FH JOANNEUM
University of Applied Sciences

Dr. Karl Reisinger

โมเดล 2 แทร็กในระนาบ X-y – ความเร็วต่ำ

$a_y \ll 1 \rightarrow F_y \cong 0, \alpha \cong 0$

• Rudolph Ackermann

• 1764–1834

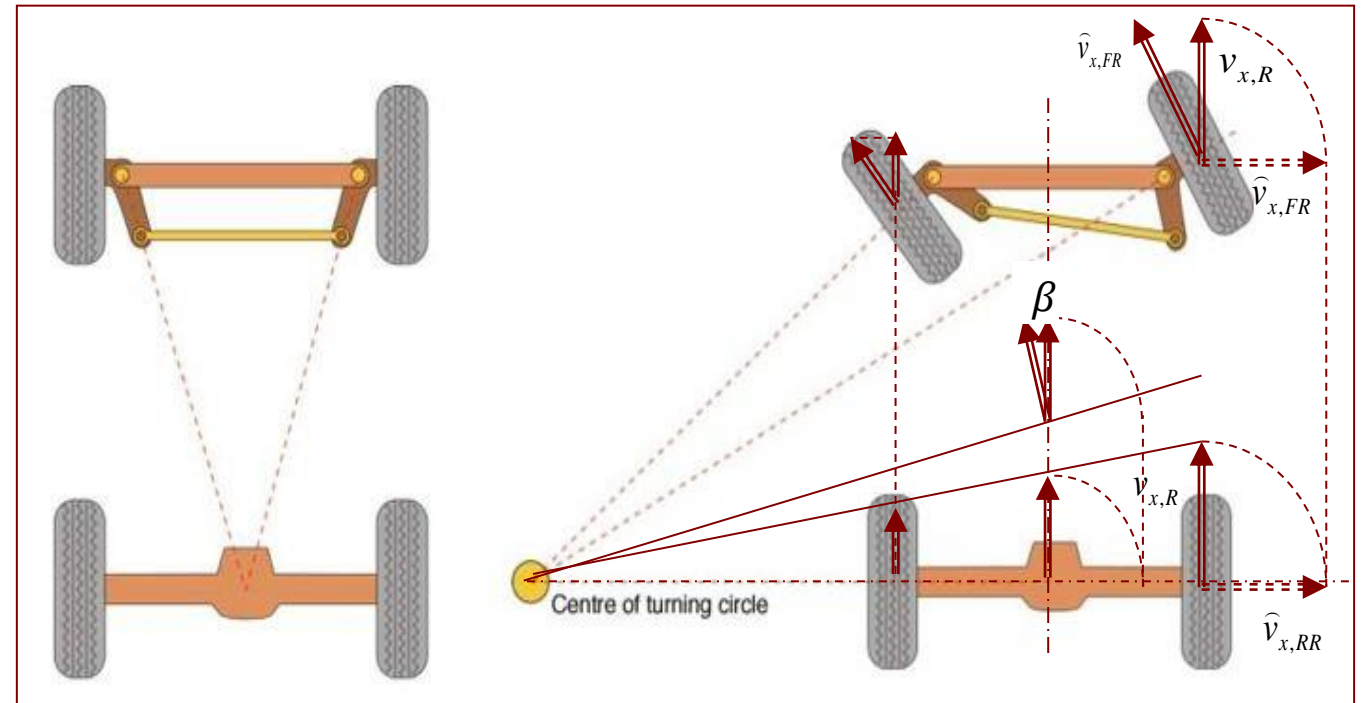
- พวงมาลัยรูปสี่เหลี่ยมคางหมู
- ความเร็วยางไม่ลื่น
- **100% Ackermann:** เกนบังคับเลี้ยวที่เพลาล้อหลัง.

• ความเร็วล้อ

- $v = r_e \omega$
- สูงขึ้นที่ด้านนอก
- สูงขึ้นที่ด้านหน้า
- ความเร็วหน้าเฉลี่ย > หมายถึงความเร็วด้านหลัง

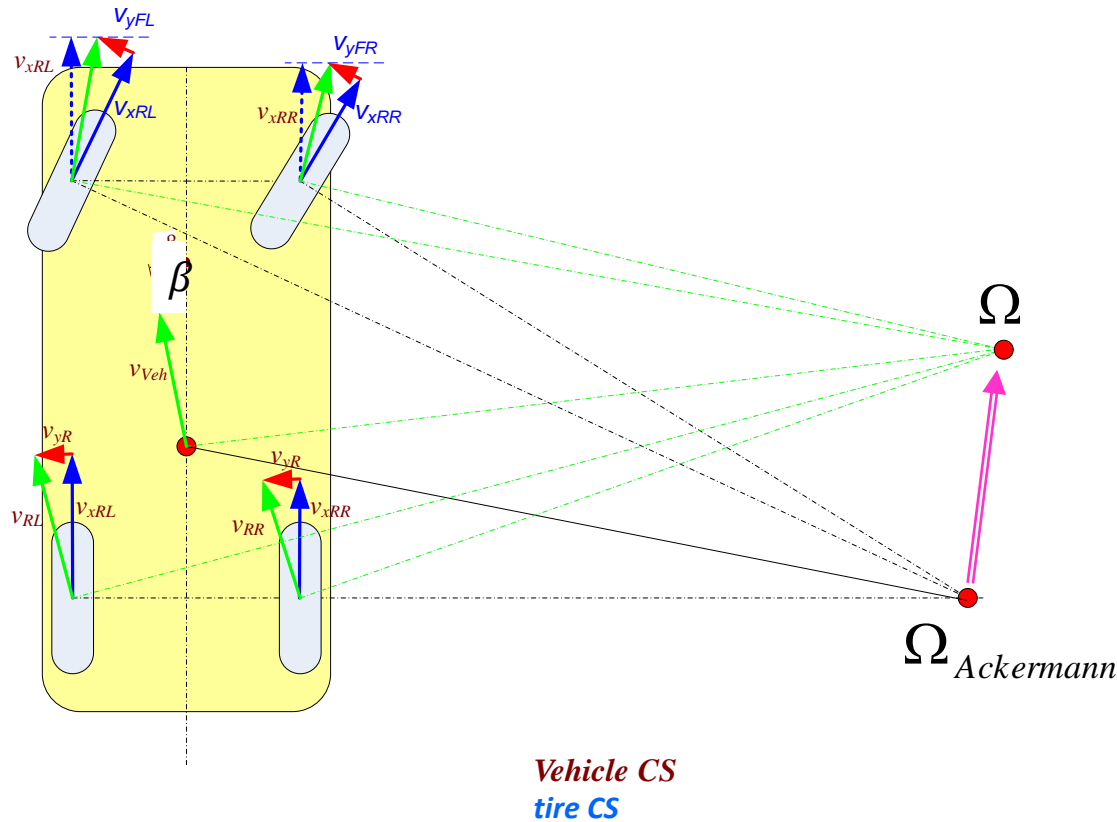
• โดยทั่วไปการแก้ปัญหา:

- มุมบังคับเลี้ยวสูงสุดของล้อถูกกำหนดโดยพื้นที่และข้อต่อของไทรฟ์.
- บังคับเลี้ยวที่ล้อด้านในน้อยลงเพื่อลดวงเลี้ยว.



[http://en.wikipedia.org/wiki/Image:Ackermann_New.jpg]

โมเดล 2 รางในเครื่องบิน x-y-plane พร้อมยกกันขึ้น



- Instantaneous center

- เคลื่อนไปข้างหน้า
- ที่รัศมีกว้างกว่า (if understeering)

- ความเร็วล้อ

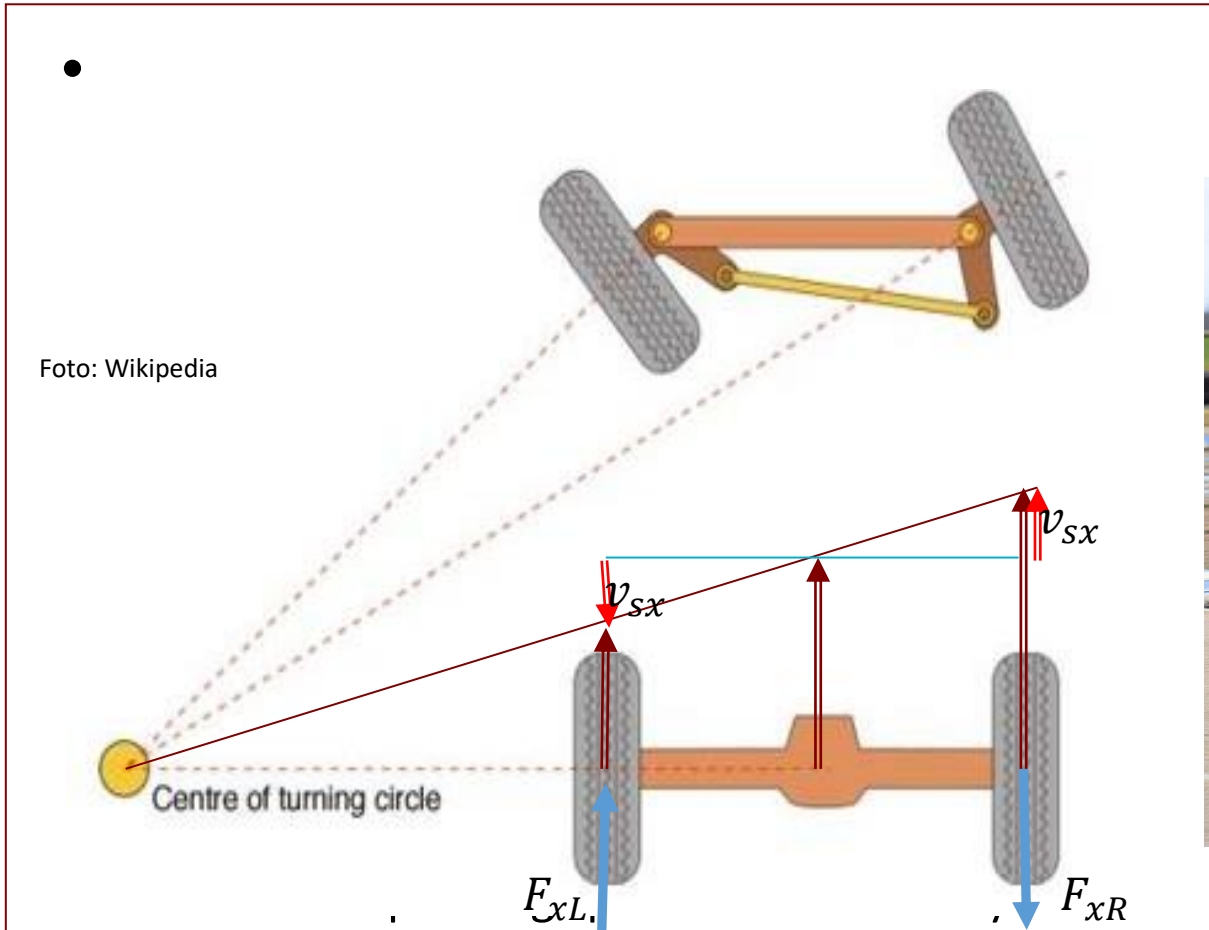
- ความแตกต่างสูง ซ้าย/ขวา $v_L > v_R$
 → เฟืองท้าย

- ความแตกต่างของค่าเฉลี่ยด้านหน้าและด้านหลังน้อยกว่าเมื่อเทียบกับ Ackermann

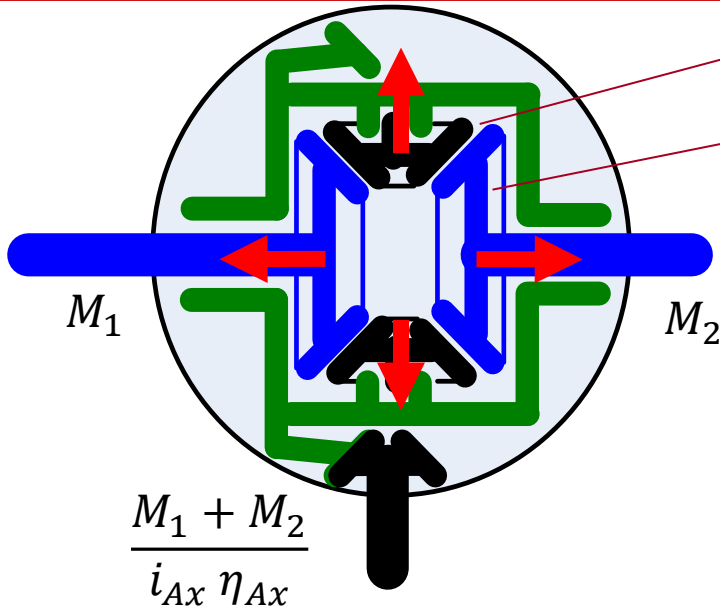
$$\frac{v_{xFL} + v_{xFR}}{2} \approx \frac{v_{xRL} + v_{xRR}}{2}$$

- สามารถล็อกเฟืองท้ายที่ความเร็วสูงขึ้นได้.

ชดเชยทางถนน



Differential



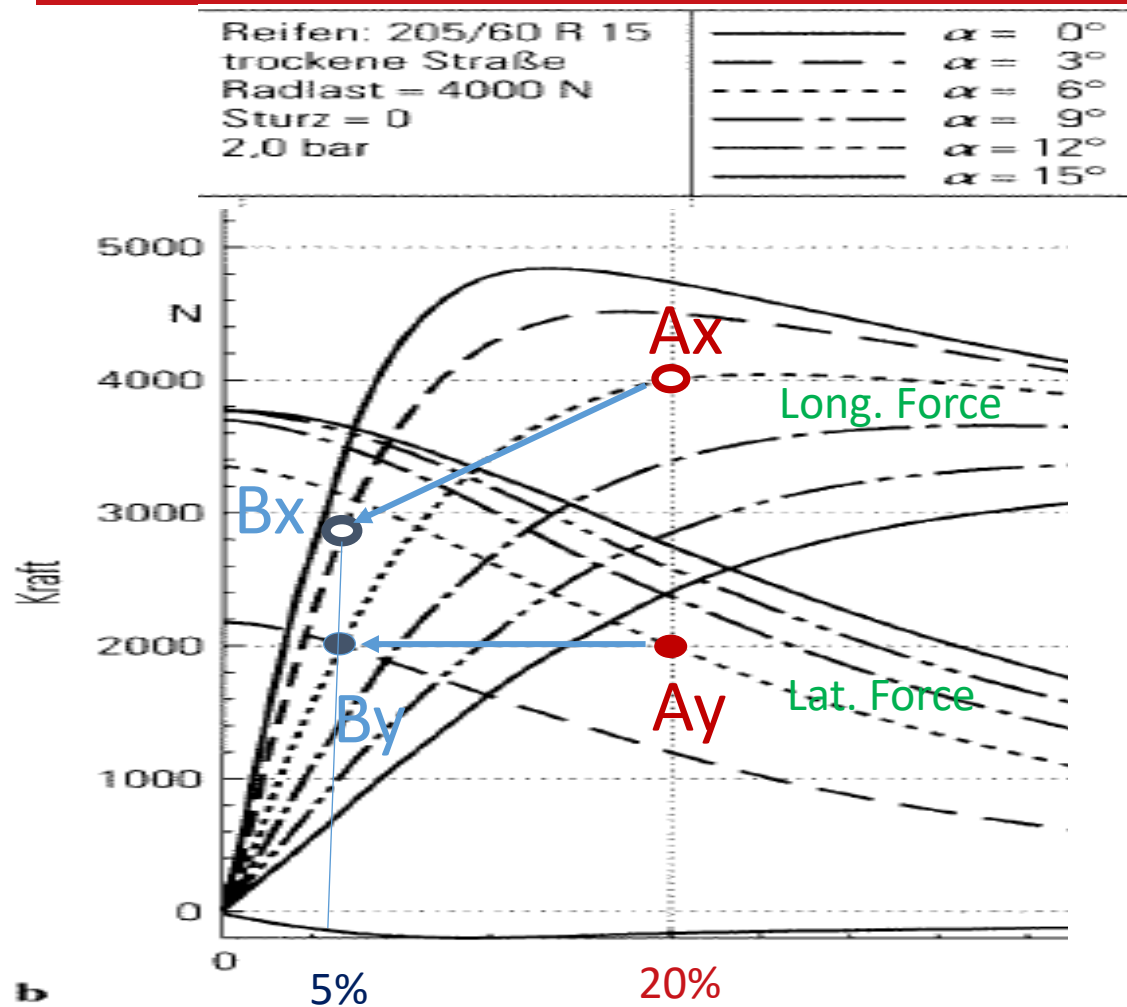
แนวแกน, แนวรัศมี: ตลับลูกปืนแบบสไลด์

Radial: ตลับลูกปืนสไลด์หรือตลับลูกปืนเม็ดกลม
Axial: ตลับลูกปืนสไลด์ ตลับลูกปืนลูกกลิ้ง หรือพื้นผิว
 เสียหายเพื่อเพิ่มแรงเสียดทาน

- ปรับสมดุลความแตกต่างของความเร็ว
- แยกแรงบิด
 - เนื่องจากรัศมีของล้อฟันเฟืองทั้งสองเอาต์พุต
 - เพลา: รัศมีเดียวกัน แยก 50:50
- แรงบิดขึ้นอยู่กับแรงเสียดทาน
 - เราชอบที่จะเพิ่มแรงจุดบน μ -Split (น้ำแข็งด้านหนึ่งของรถ)

- ไวต่อแรงบิด
 - อัตราส่วนการล็อก (Sperrgrad) (EU)
 - $S = \frac{|M_1 - M_2|}{|M_1 + M_2|}$, $0 < S \leq 1$, typ. 10% - 15%
- Torque Bias Ratio (US)
- $TBR = \frac{\max(M_1, M_2)}{\min(M_1, M_2)}$, typ: $1 < TBR < 10$

What does AWD?



Forces, slip	A: RWD	B: AWD
F_x	4000 N	2800 N
F_y aus a_y	2000 N	2000 N
s_x	20 %	5 %
α	6°	3°

ลดแรงตามยาว

→ less long. slip

→ tire can transfer more lat. force

→ less lateral slip at same side force

AWD ส่งผลต่อมุมการลื่นของยางหน้า/หลังและการไถ่ระดับ

Understeer.

b
Bildschl Traction and Lateral Force vs. slip for different α



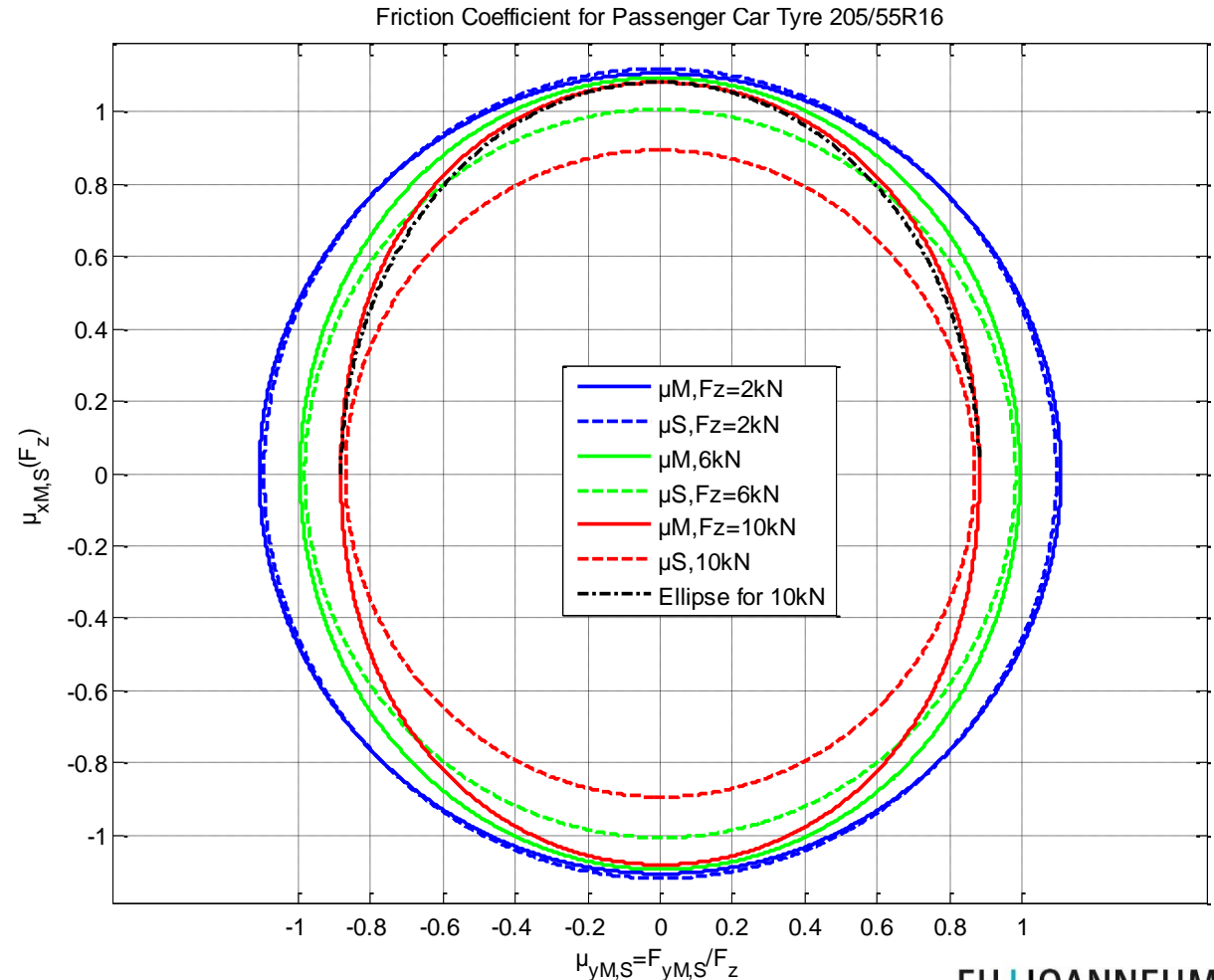
การถ่ายโอนน้ำหนัก:
ผู้ขับขี่รถจักรยานยนต์ทำการหยุด

แรงเสียดทานขึ้นอยู่กับ $\mu_{m,s}(F_z)$

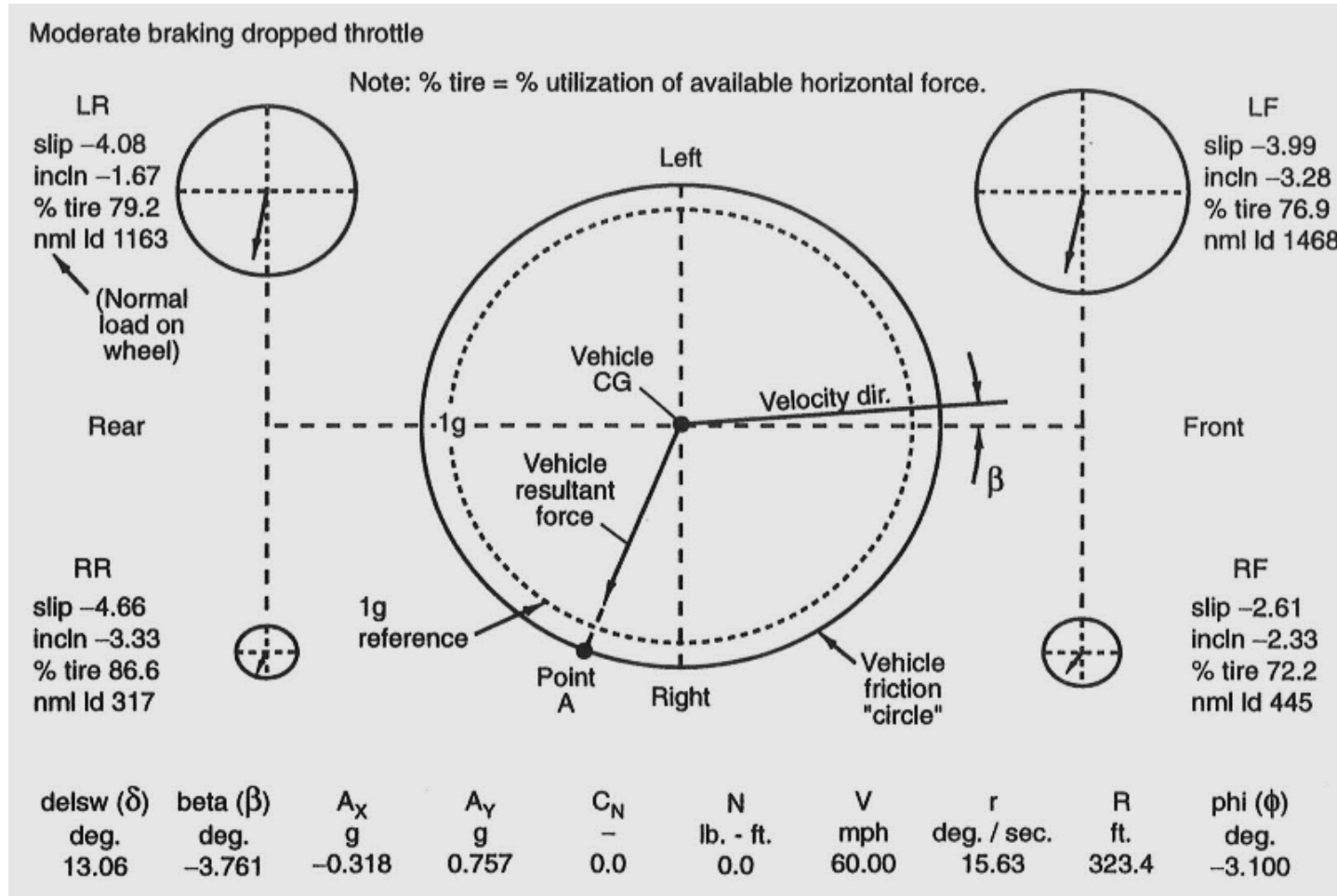
- เราคล้าย μ ด้วยภาระที่เพิ่มขึ้น โดยเฉพาะอย่างยิ่งในทิศทางด้านข้าง!
- **ข้อควรระวัง:**
 - “คุณสูญเสียที่ด้านในมากกว่าที่คุณได้รับจากภายนอก”
- เราต้องรู้การกระจายน้ำหนักของล้อซ้าย/ขวา เพื่อทราบค่าศักย์ไฟฟ้าด้านข้างของเพลลาและการลื่นไถลด้านข้าง.

$$\mu_M = \frac{F^M}{F_z} \dots \text{แรงเสียดทานสูงสุด}$$

μ_S .. ค่าสัมประสิทธิ์ความฝืดเลื่อนของยางรถยนต์โดยสาร ผลลัพธ์ของ TM-Easy



แรงลมยางที่ล้อแต่ละล้อขณะเข้าโค้งและ g-g-diagram



Rouelle C.: Advanced Vehicle Dynamics Applied to Race Car Design & Development, www.optimum.com

โหลดล้อ @ รถสามล้อ

- $\sum M_y = 0$

- สำหรับเพลาน้ำ / หลัง

- $\sum M_x = 0$

- โมเมนต์ม้วนจะกระจายโดยเพลาน้ำ
เท่านั้น

ใช้สมการคงที่เพื่อกำหนดน้ำหนักของล้อ.

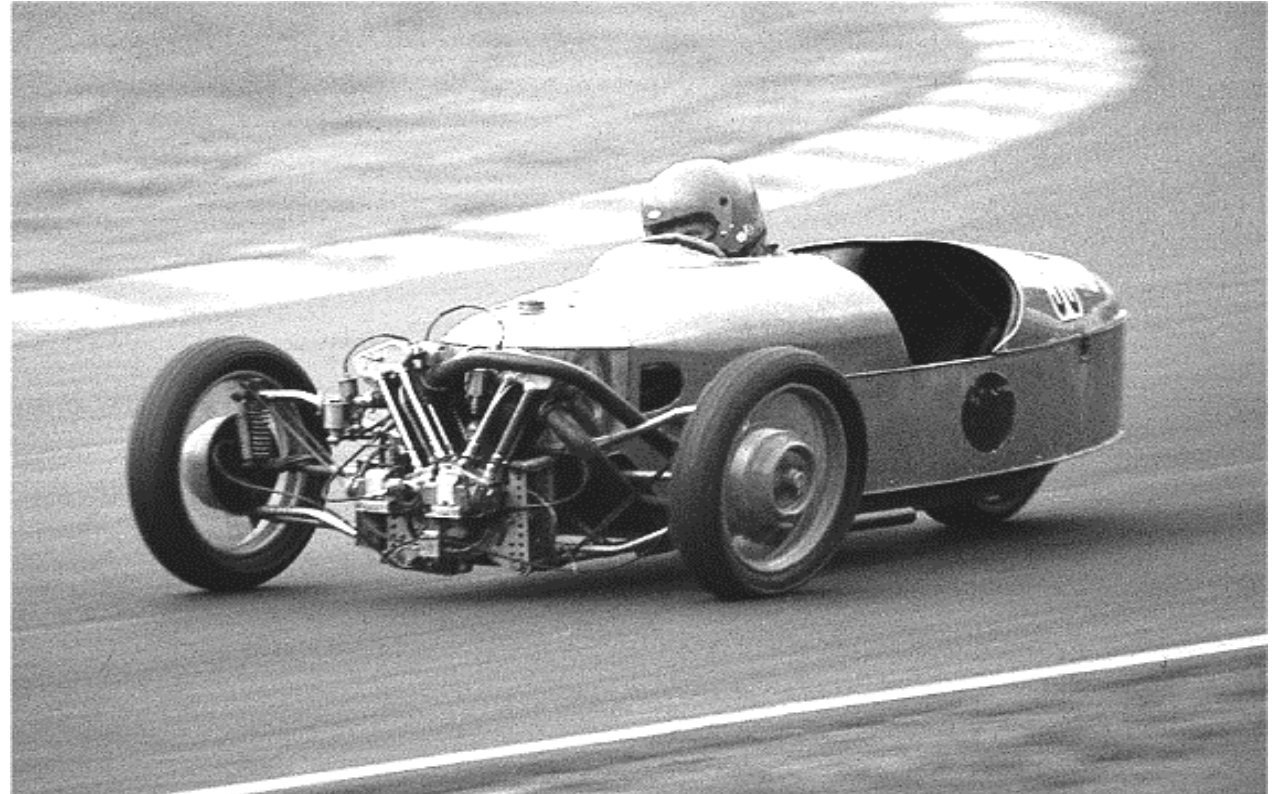


Figure 1: Morgan Three-Wheeler, MY 1932 (Wikipedia)

รถแทรกเตอร์มีข้อต่อบานพับที่เพลหน้า



Quelle: Deutsche Fotothek



การถ่ายโอนน้ำหนักรวมด้านข้าง: หน้า+หลังในผลรวม

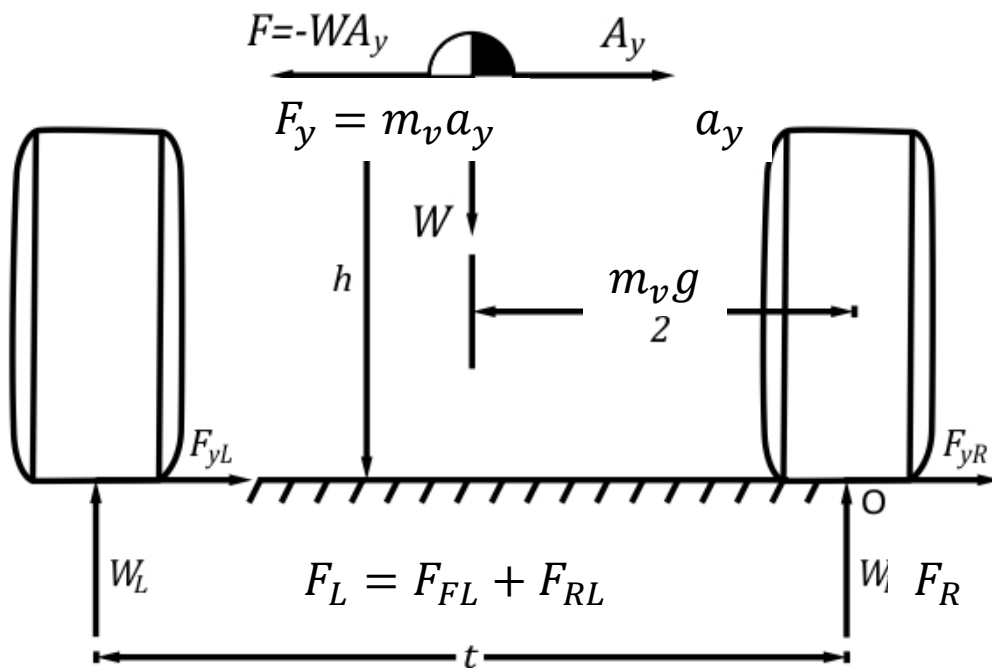
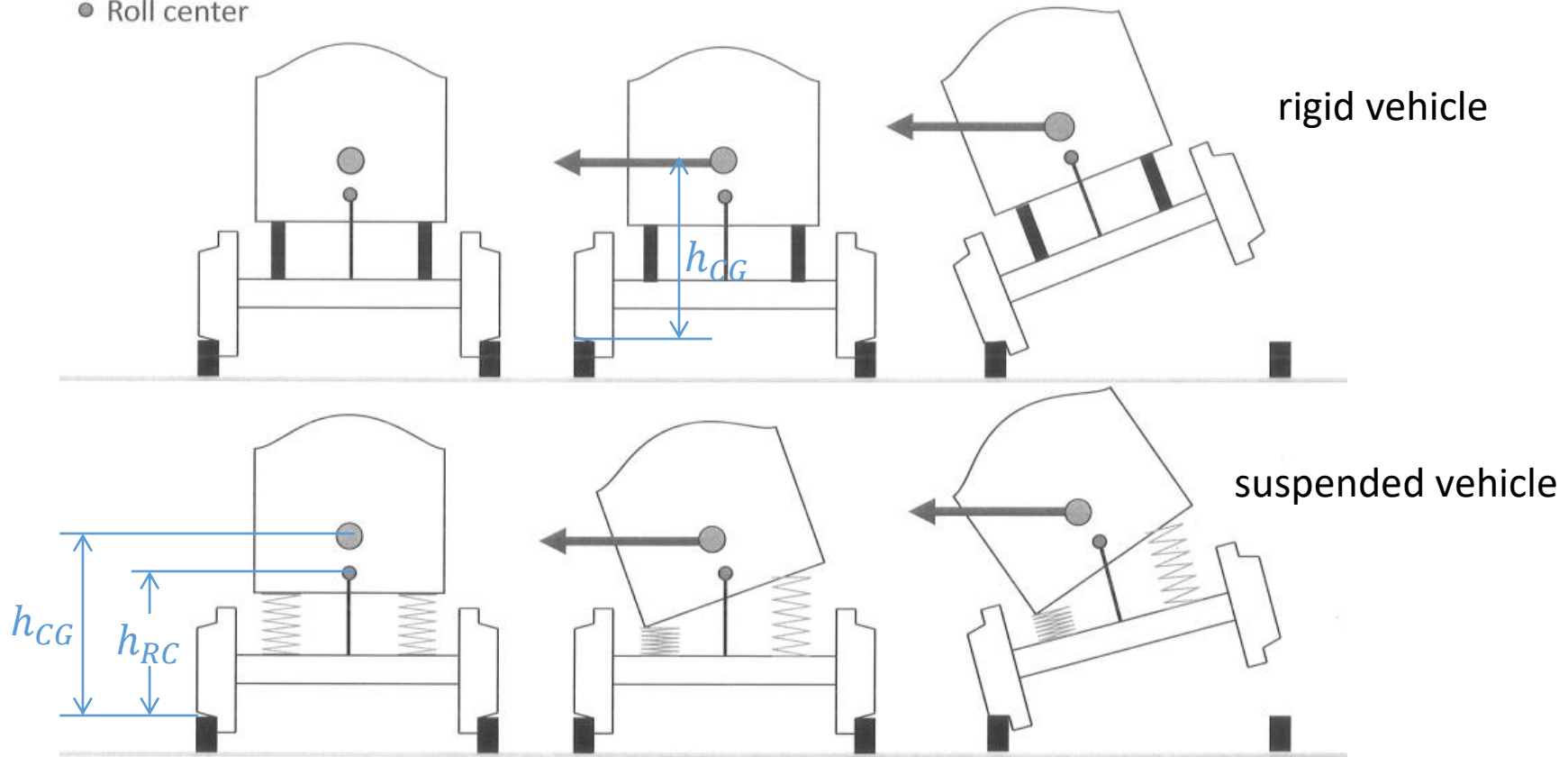


Figure 1. Free body diagram of a car, rear view.

(<http://racingcardynamics.com/weight-transfer/>)

- $F_{L,R} = m_v \left[\frac{g}{2} \pm \frac{h_{CG}}{t} a_y \right]$
- tip over if $F_R < 0$
- อิทธิพลของการระงับในสถานะคงตัว: ไม่มี! (except camber)
- ผลรวมของการถ่ายน้ำหนักด้านหน้าและด้านขวาขึ้นอยู่กับอัตราส่วนความสูง CG เหนือถนนต่อความกว้างของราง, $\frac{h_{CG}}{t}$
- แต่เราสามารถเลือกอัตราส่วนน้ำหนักหน้า-หลัง ให้ส่งผลต่อไดนามิกของรถได้.

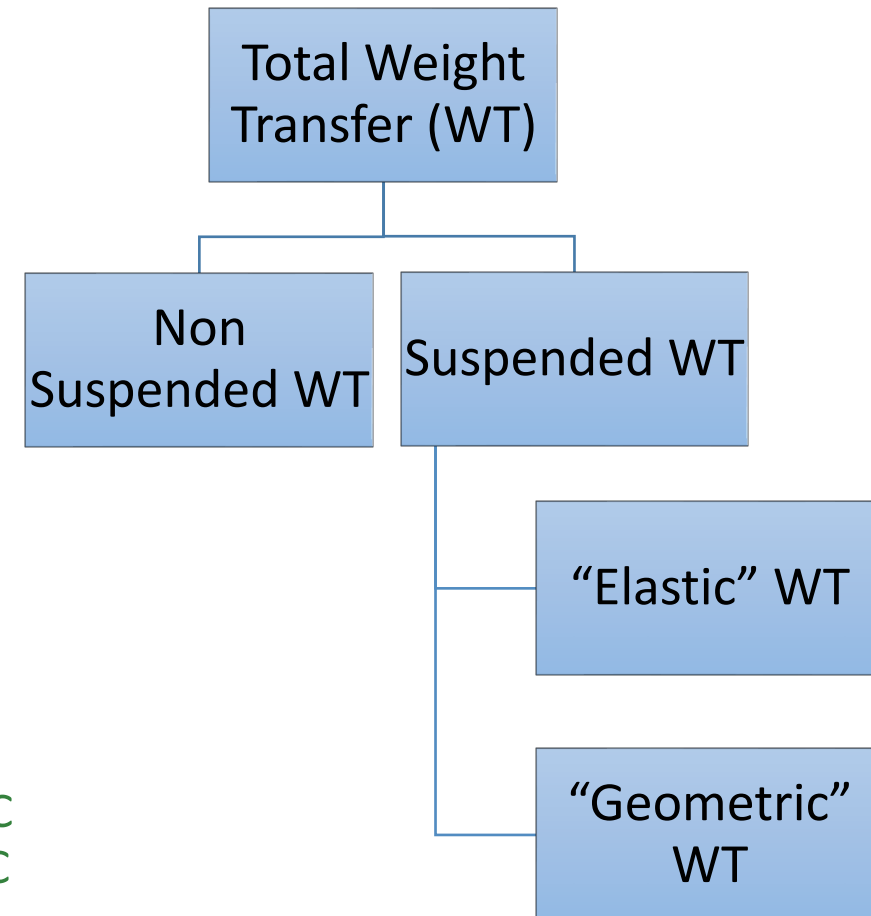
- Suspended mass center of gravity
- Roll center



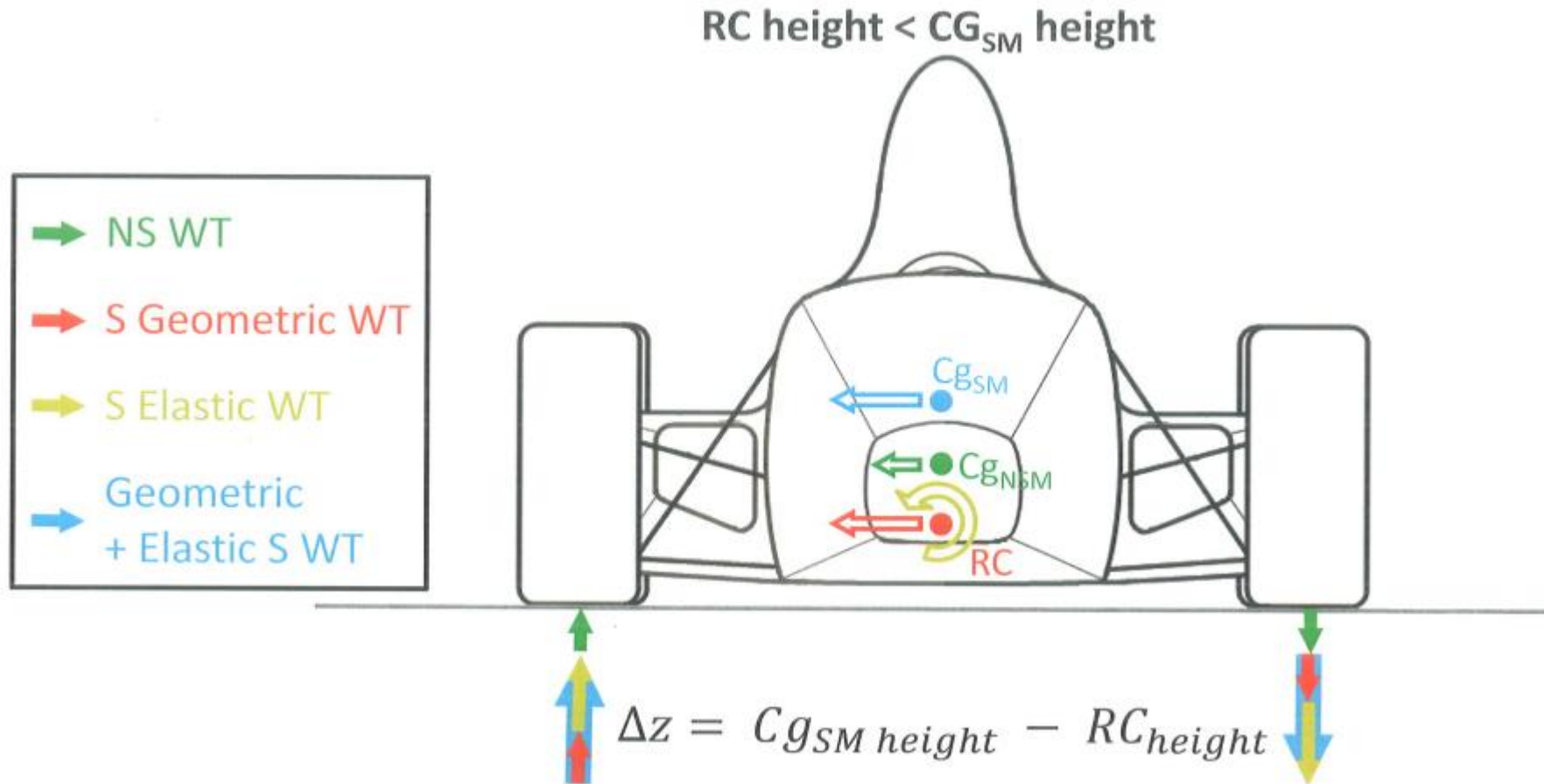
WT of suspended mass and non suspended mass
 $m_{SM} \cdot a_y \cdot h_{CG}$ makes the car flipping over

การถ่ายโอนน้ำหนักด้านข้าง

- ปัญหา
 - 4 ล้อส่งปัญหาที่กำหนดไว้แบบคงที่.
 - พิจารณาการเสียรูปเพื่อแก้.
 - ส่วนประกอบต่าง ๆ ถูกกระตุ้นโดยสปริงที่แตกต่างกัน
 - ล้อ, hub, ... → ยาง
 - chassis → suspension + tire
 - influence of roll centre (RC)?
- เข้าใกล้
 - เราถือวาระบบเชิงเส้น
 - ดังนั้นเราจึงสามารถซ้อนสาเหตุเดียวได้
 - แบ่งเป็น
 - Non Suspended WT → tire, wheel, ½ suspension
 - Elastic WT → chassis mass rotating about RC
 - Geometric WT → chassis mass applied at RC



ด้านข้าง WT และ CG's



Non Suspended WT

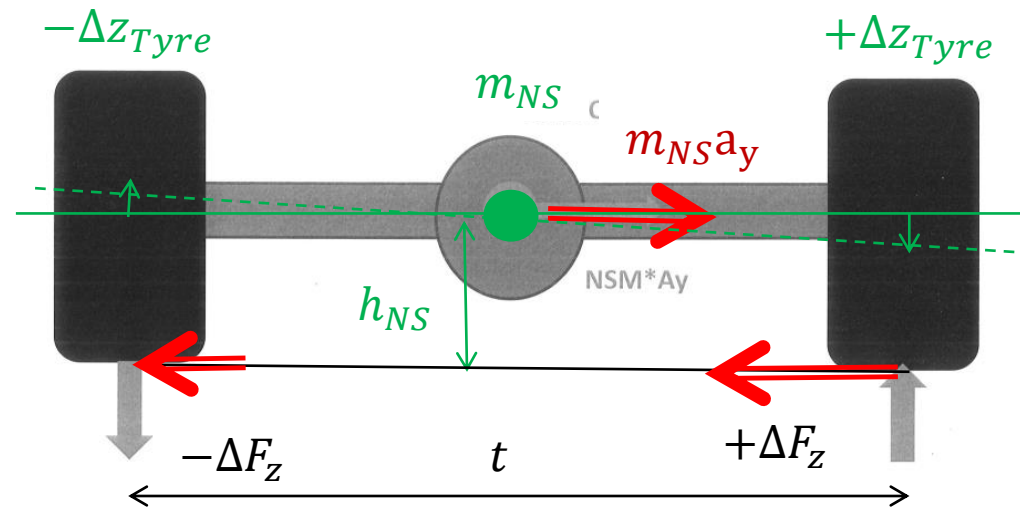
- actually tyre suspended WT
- แยกเป็นเพลาน้ำและเพลาลัง
- ความผิดของเพล

$$C_{roll} = \frac{M_x}{\varphi_x} = \frac{2 \Delta F_z \frac{t}{2}}{\frac{\Delta z_{Tyre}}{\frac{t}{2}}} = \frac{t^2}{2} C_z$$

- ความผิดสูง
→ quick WT
- No ARB-influence

$$\Delta F_{z,NS} = \frac{M_{NS}}{t} = \frac{h_{NS} m_{NS}}{t} a_y$$

- e.g. Rigid Axle



WT of suspended mass and non suspended mass II

- Non Suspended WT

$$\Delta F_{z,NS} = \frac{h_{NS}}{t} m_{NS} a_y$$

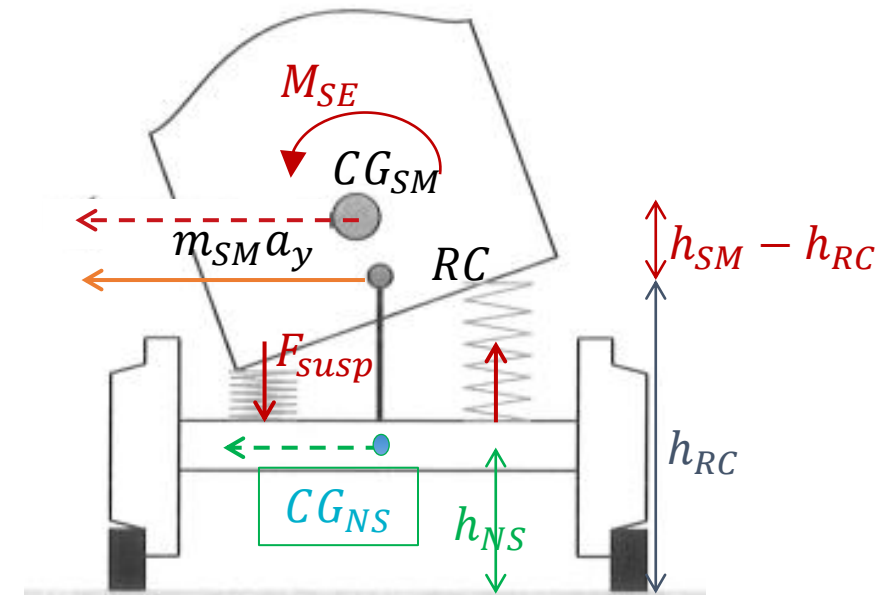
- „Geometric“ WT

$$\Delta F_{z,SG} = \frac{h_{RC}}{t} m_{SM} a_y$$

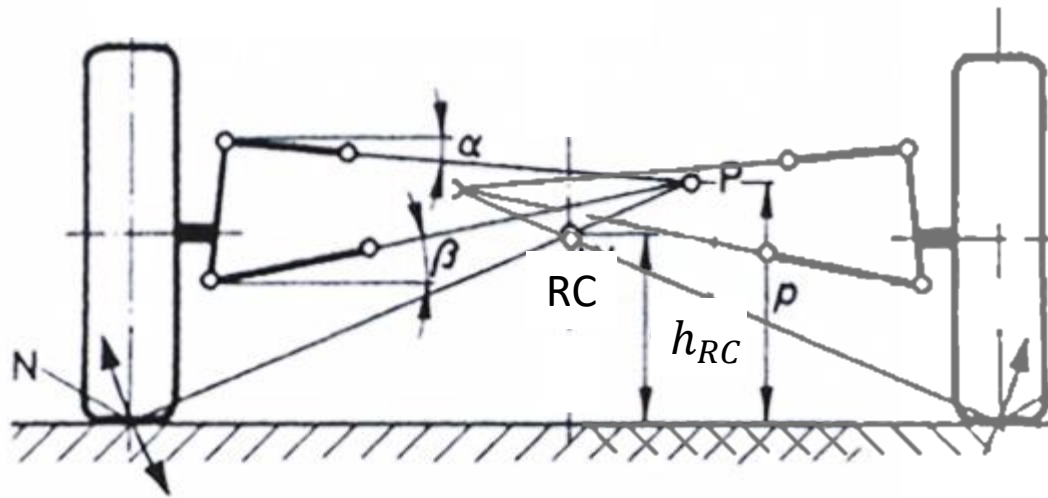
- „Elastic“ WT

$$\Delta F_{z,SE} = \frac{h_{SM} - h_{RC}}{t} m_{SM} a_y$$

- Non Suspended WT และ Geometric WT ทำงานได้อย่างรวดเร็ว, Elastic WT ทำงานช้าลง, ระบบกันสะเทือนต้องปิดลง.



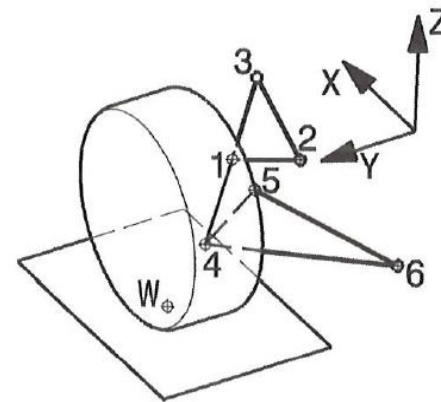
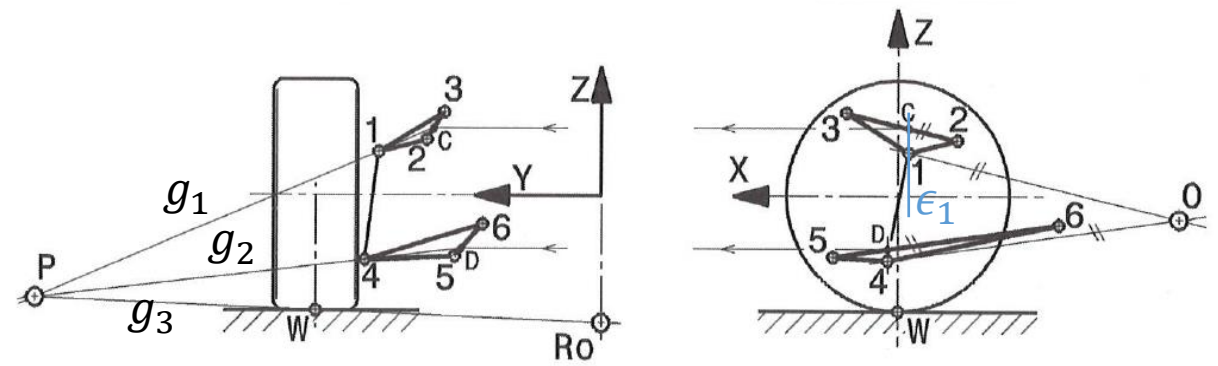
Wheel Suspension: Roll Centre



1. Connect instant centre of motion of the wheel relative to chassis with the contact point on left side
2. do same at right side
3. we get the Roll Centre at the intersection of the lines above (is not at $y=0$ in turns due to roll motion and asymmetry in the suspension!)

Roll Center R_o ของ Double A-Arm พร้อม Anti-Feature

1. จุด C: ตัดแกน $\overline{23}$ ด้วยระนาบ ϵ_1 ระนาบขนานกันถึง 1
2. โค้งการ C และ 1 ไปยังระนาบ $z-y$ -ขนานผ่านศูนย์กลางล้อและเชื่อมต่อกับจุดเหล่านี้ด้วยเส้น g_1 .
3. จุด D: ตัดแกน $\overline{56}$ กับระนาบระนาบ ขนานกับ 4
4. โค้งการ D และ 4 ถึงระนาบแนวขนาน $z-y$ -ผ่านศูนย์กลางล้อและเชื่อมต่อกับจุดเหล่านี้ด้วยเส้น g_2 .
5. จุดตัดของ g_1 และ g_2 ให้จุดศูนย์กลาง P ทั้งนี้สำหรับการเคลื่อนล้อด้วยตัวถังคงที่.
6. เชื่อมต่อ P กับศูนย์กลางของการพิมพ์, W (= จุดตัดของระนาบศูนย์กลางล้อ) เพื่อรับ g_3 .
7. ตัด g_3 ด้านซ้ายและขวาเพื่อรับ R_o .



Konstruktion Rollzentrum R_o

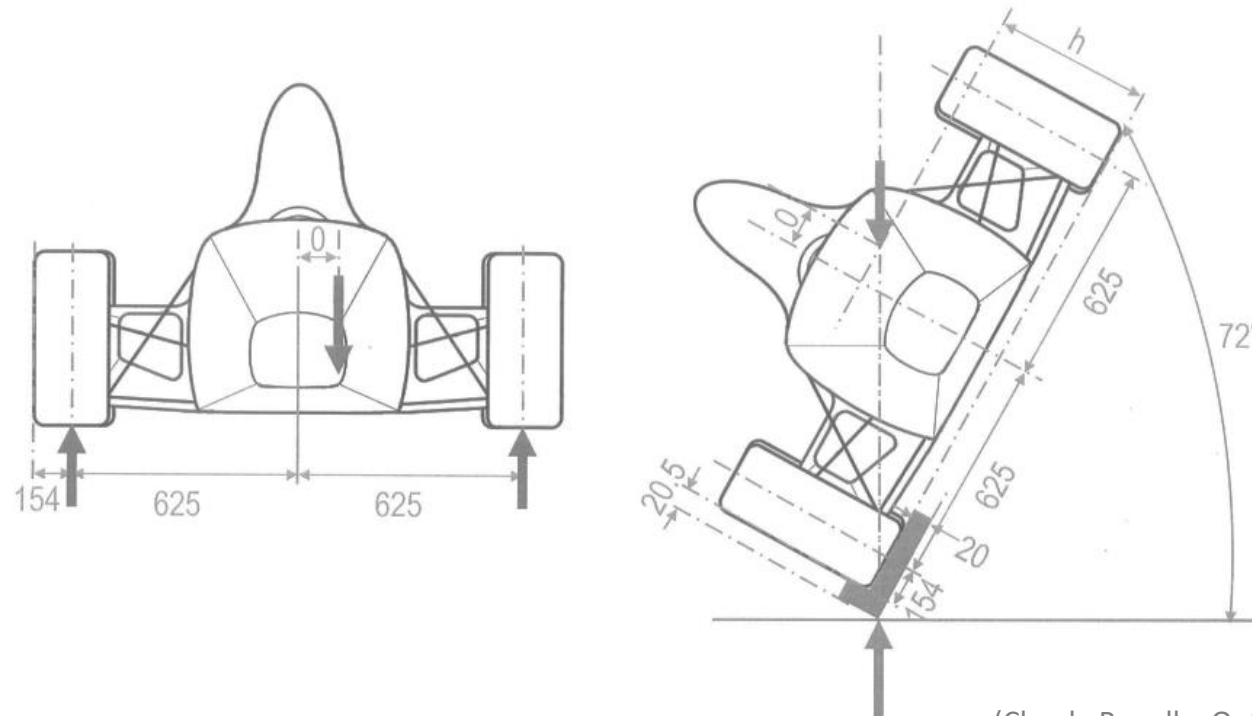
1. Seitenansicht: Punkte C und D = Schnittpunkte der Drehachsen $\overline{23}$ bzw. $\overline{56}$ mit der Senkrechten (Parallele zu Z-Achse) durch 1 bzw. 4.
2. Rückansicht: Querpole P = Schnittpunkt der Verbindungsgeraden $\overline{C1}$ und $\overline{D4}$.
3. Rückansicht: Rollzentrum R_o = Schnittpunkt der Verbindungsgeraden \overline{PW} mit der Fahrzeugmittelebene.

Konstruktion Nickpol 0

- Seitenansicht: 0 = Schnittpunkt der Parallelen zu $\overline{23}$ durch 1 und der Parallelen zu $\overline{56}$ durch 4.

(Trzesniowski M.: Rennwagentechnik, Vieweg+Teubner 2008)

Find the exact CoG

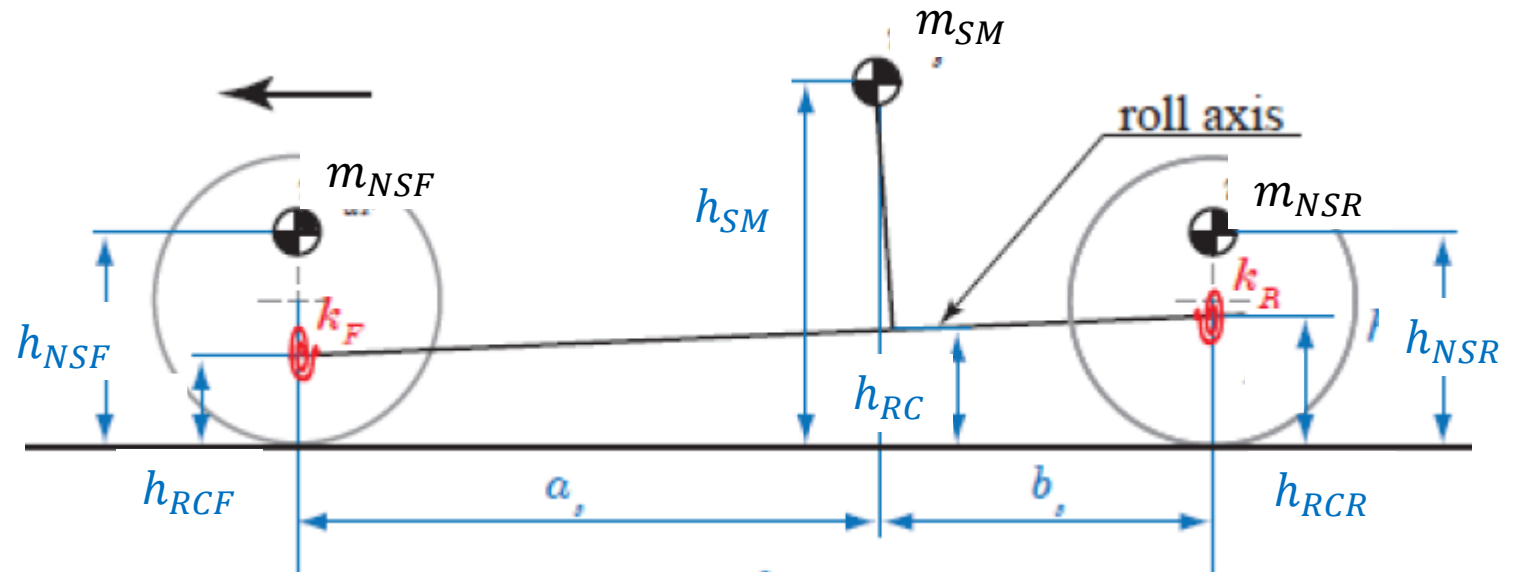


(Claude Rouelle, Optimum G)



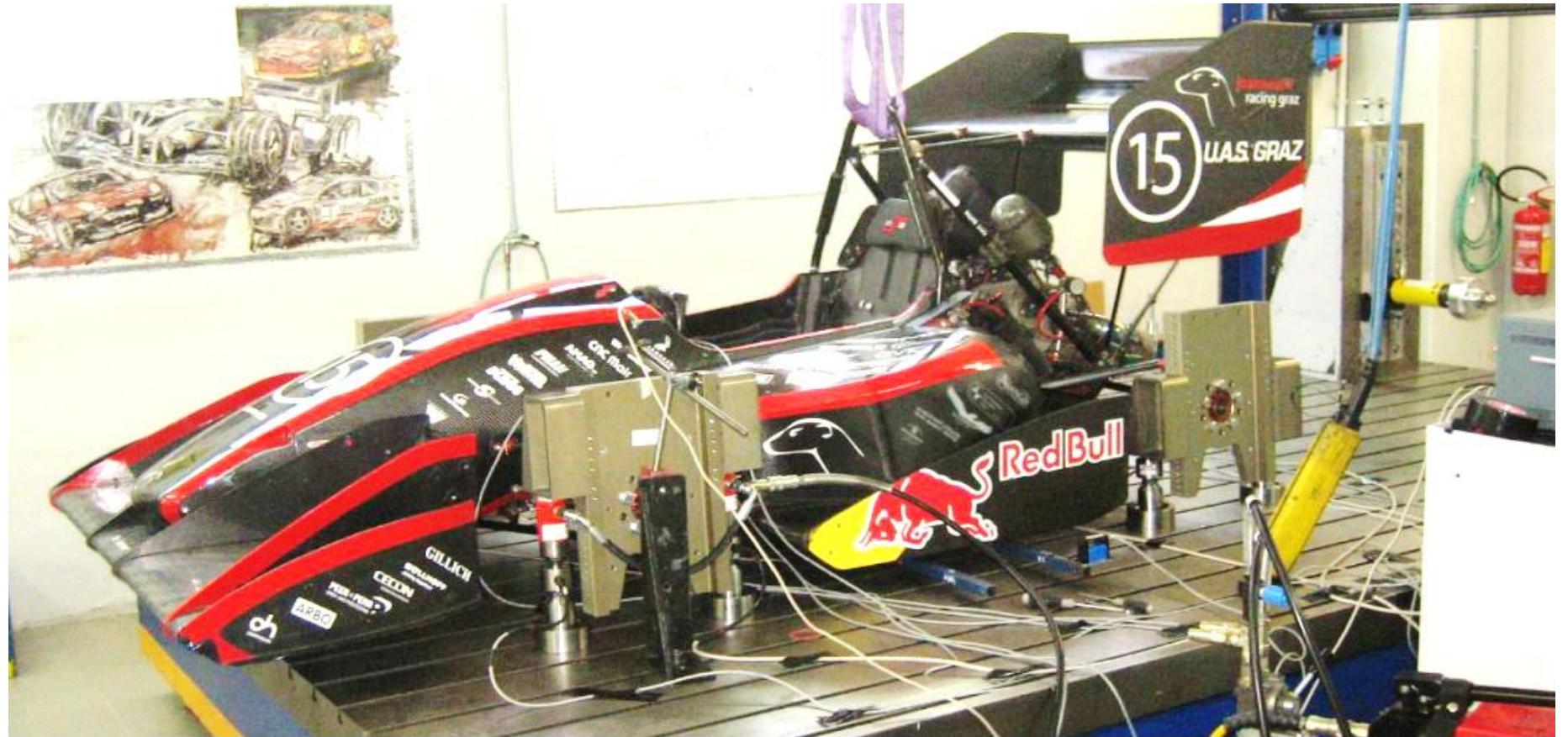
การถ่ายโอนน้ำหนักแบบยืดหยุ่น

- แกนหมุนของแอสซี: RC ด้านหน้าไปด้านหลัง RC
- แรงเฉื่อย $F_{ySM} = m_{SM} \cdot a_y$ ใช้ใน CG_{SM}
- has an arm $(h_{SM} - h_{RC})$
- ส่วนยืดหยุ่นของโมเมนต์มวล $m_{SM} a_y (h_{SM} - h_{RC})$ รองรับ ด้านหน้าและด้านหลังตามข้อกำหนด.



Measurement of Chassis Compliance

ติดตั้งบนขอล้อแข็ง
และระบบกันสะเทือน
บล็อก!

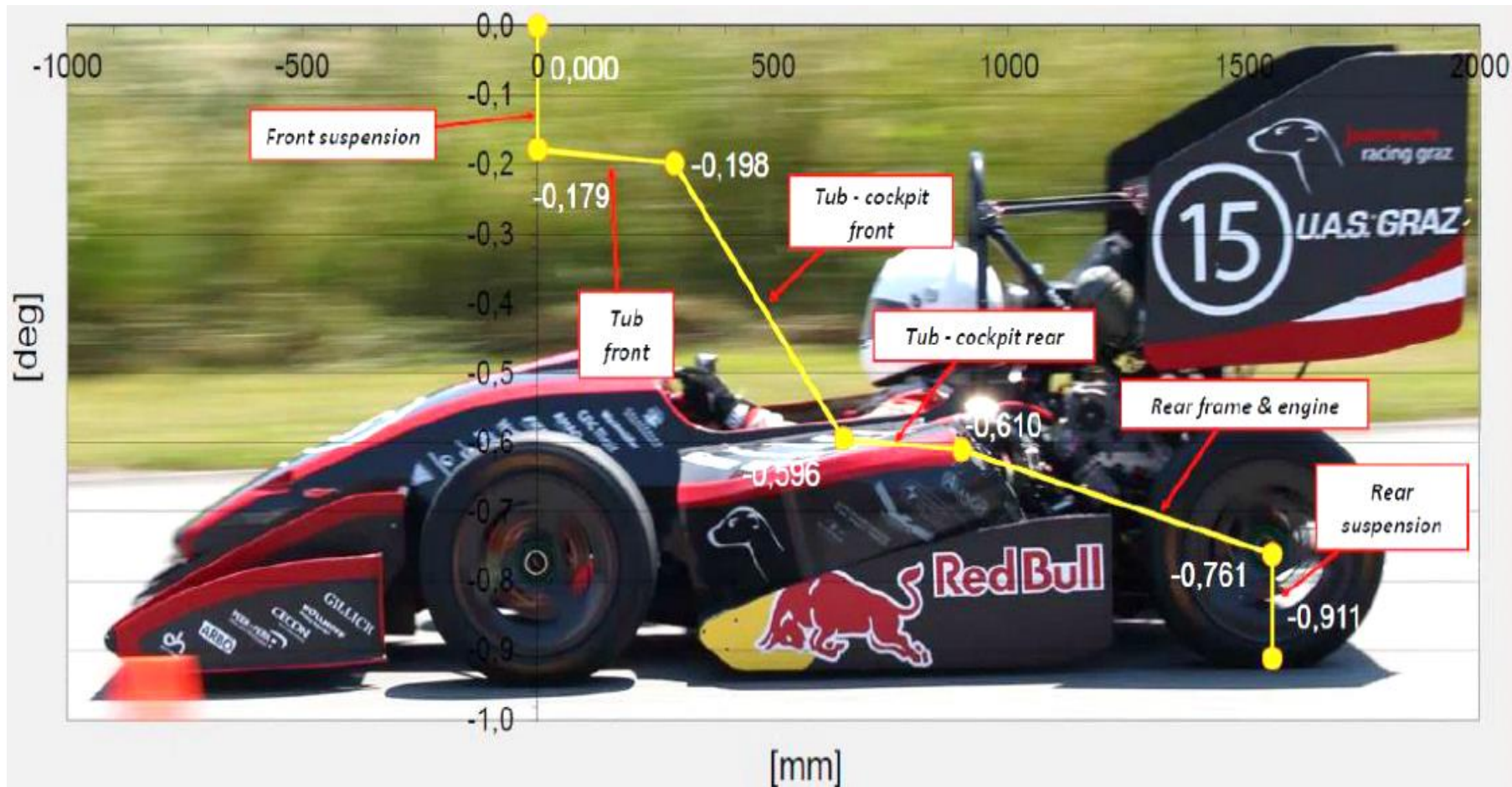


(Kottinig G., Summer A.: Parameter of compliance, Seminar thesis AVD, 2015)



Co-funded by the
Erasmus+ Programme
of the European Union

Chassis Compliance UAS FS15



(Kottinig G., Summer A.: Parameter of compliance, Seminar thesis AVD, 2015)

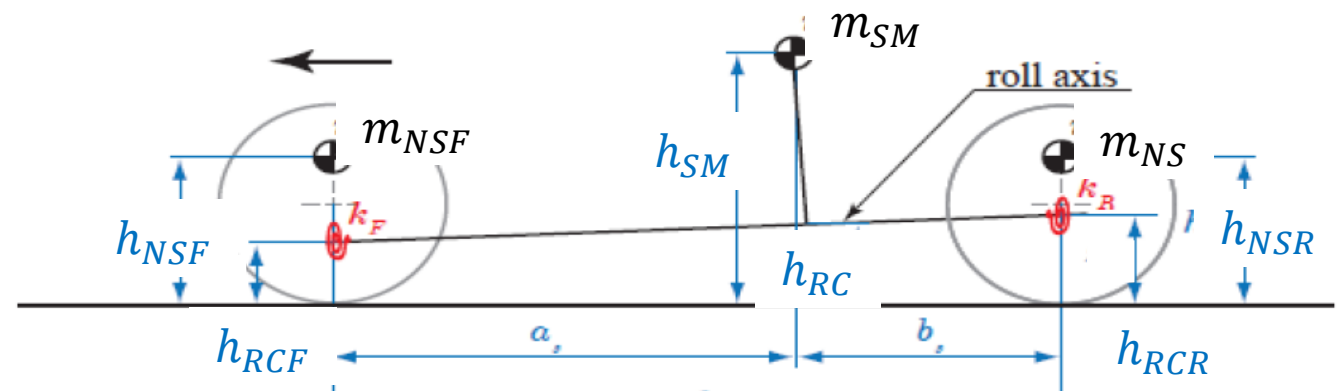
สปริงบิดแบบอนุกรมและขนาน

"ยืดหยุ่น" ม้วนไปด้านหน้า

- Spring1F: การปฏิบัติตามข้อกำหนดของแชสซีจาก CG ไปด้านหน้า
- Spring 2F: ความฝืดของช่วงล่าง + เป็นไปตามข้อกำหนด
- Spring 3F: ยางหน้า $C_{roll} = \frac{t^2}{2} C_z$

โมเมนต์หมุน "ยืดหยุ่น" ไปทางด้านหลัง

- Spring 1R: Chassis Compliance to rear
- Spring2R: ช่วงล่างด้านหลังทั้งหมด
- Spring3R: rear tyres



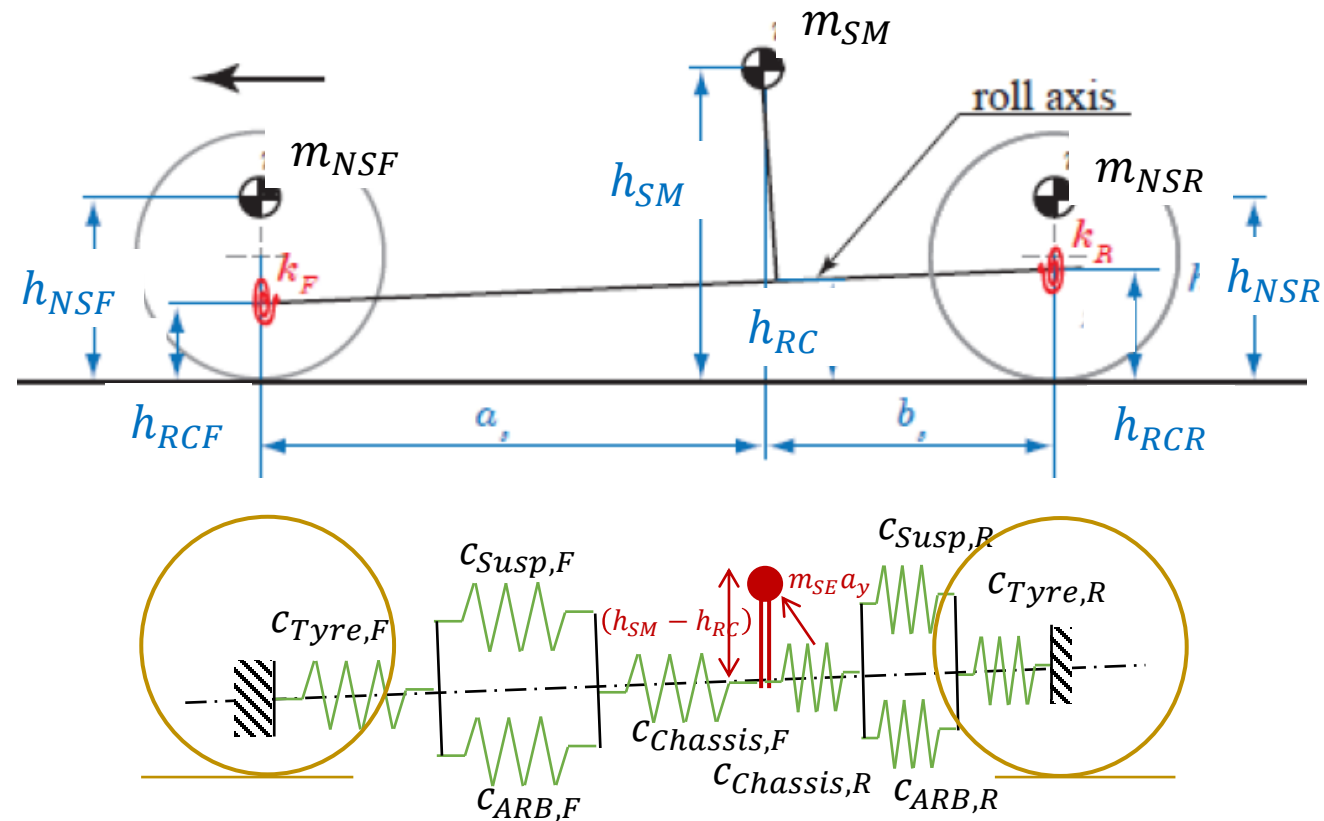
การกระจายช่วงเวลาม้วนยางยืด

- การเชื่อมต่อแบบขนานของสปริง
- ผลรวมของความแข็ง

$$C_{parallel} = \sum_i C_i$$

- การเชื่อมต่อแบบสปริง
- สูตรการปฏิบัติตาม

$$\frac{1}{C_{series}} = \sum_i \frac{1}{C_i}$$



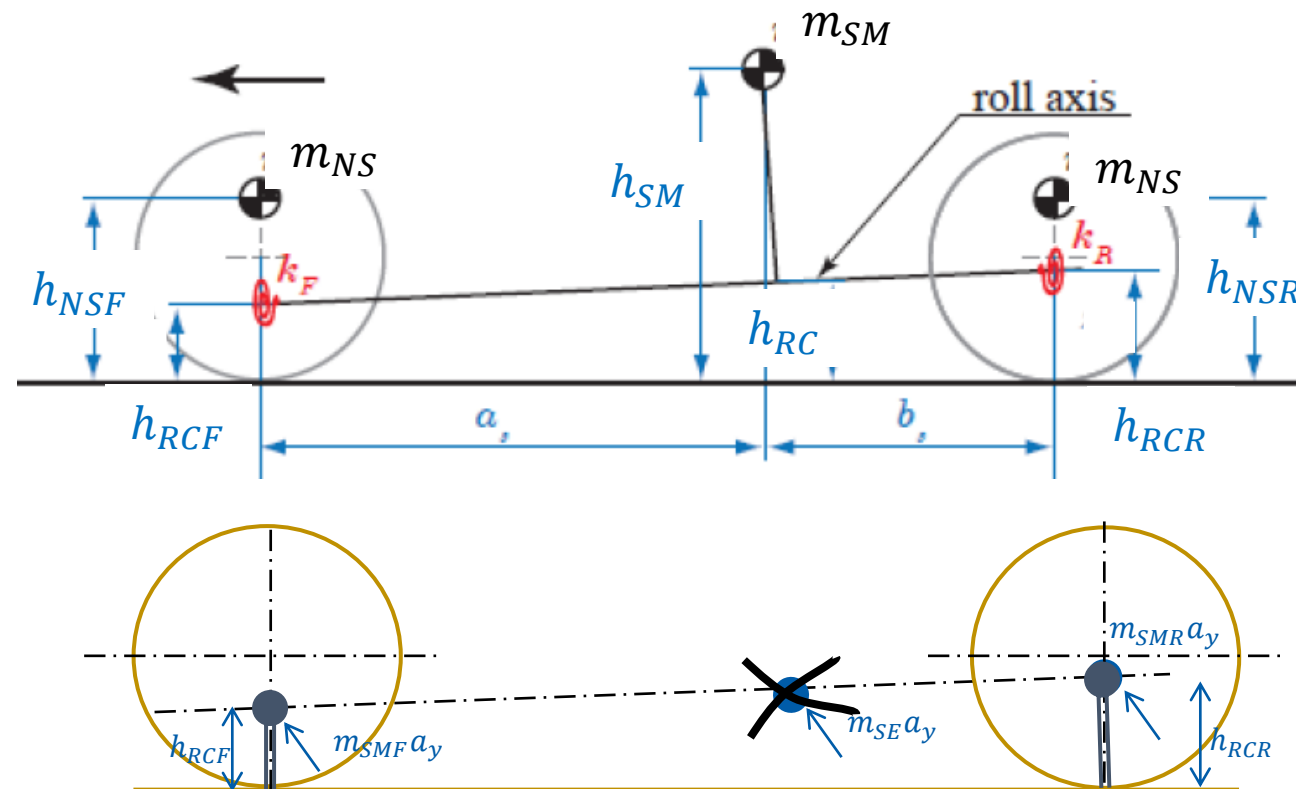
การกระจายโมเมนต์ม้วนเรขาคณิต

- ส่วนเรขาคณิตไม่สร้างโมเมนต์รอบแกน ม้วน
- กฎของคั่นโยกให้แบ่งเป็นด้านหน้าและด้านหลัง

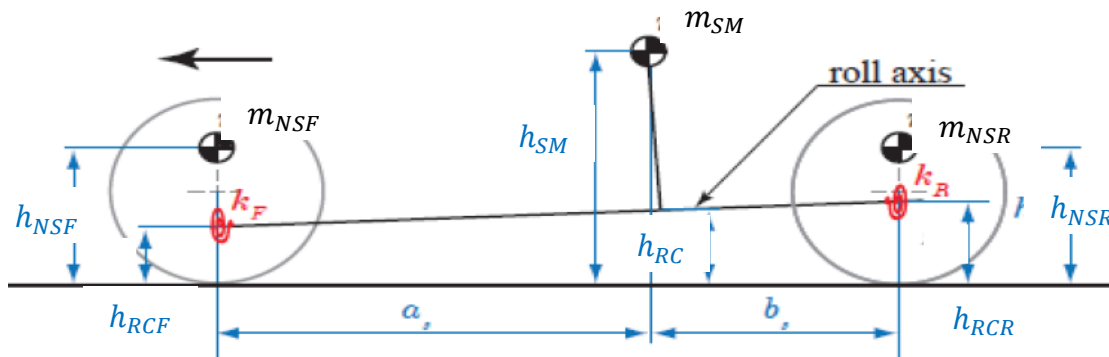
$$m_{SMF} = \frac{b_s}{a_s + b_s} m_{SM}$$

$$m_{SMR} = \frac{a_s}{a_s + b_s} m_{SM}$$

- จัดการเหมือน NSM



การบ้านครั้งที่ 2: ถ่ายน้ำหนัก



ต้องการ:

- กำหนดการถ่ายโอนน้ำหนัก ΔF_{zay} สำหรับ $a_y = 1 \frac{m}{s^2}$ ของล้อหน้าด้านในและด้านนอก.
- กำหนดการถ่ายโอนน้ำหนัก ΔF_{zax} สำหรับ $a_x = 1 \frac{m}{s^2}$ การเร่งความเร็วของล้อหน้าและล้อหลัง.

- The suspended mass $m_{SM} = 220 \text{ kg}$. It's CG is $a = 1.2 \text{ m}$, $b = 0.8 \text{ m}$, $h_{SM} = 0.25 \text{ m}$.
- Front and rear suspensions are similar. The mass of 2 wheels, wheel hubs, half of suspensions is $m_{NS} = 30 \text{ kg}$. It's CG is located at $h_{NS} = 0.25 \text{ m}$.
- The roll axis is determined by $h_{RCF} = 0.05 \text{ m}$, $h_{RCR} = 0.1 \text{ m}$. Front and rear track width is $s = 1.5 \text{ m}$.
- The compliance for roll motion is described by the stiffness' of front suspension $c_{suspF} = 3000 \frac{Nm}{rad}$, rear suspension $c_{suspR} = 3500 \frac{Nm}{rad}$, chassis to front $c_{chassisF} = 80000 \frac{Nm}{rad}$, chassis to rear $c_{chassisR} = 160000 \frac{Nm}{rad}$. There is one front anti roll bar with a stiffness of $c_{ARBF} = 20000 \frac{Nm}{rad}$ and no rear stabilizer bar. The tyre stiffness $c_{tz} = 100 \frac{Nm}{m}$.

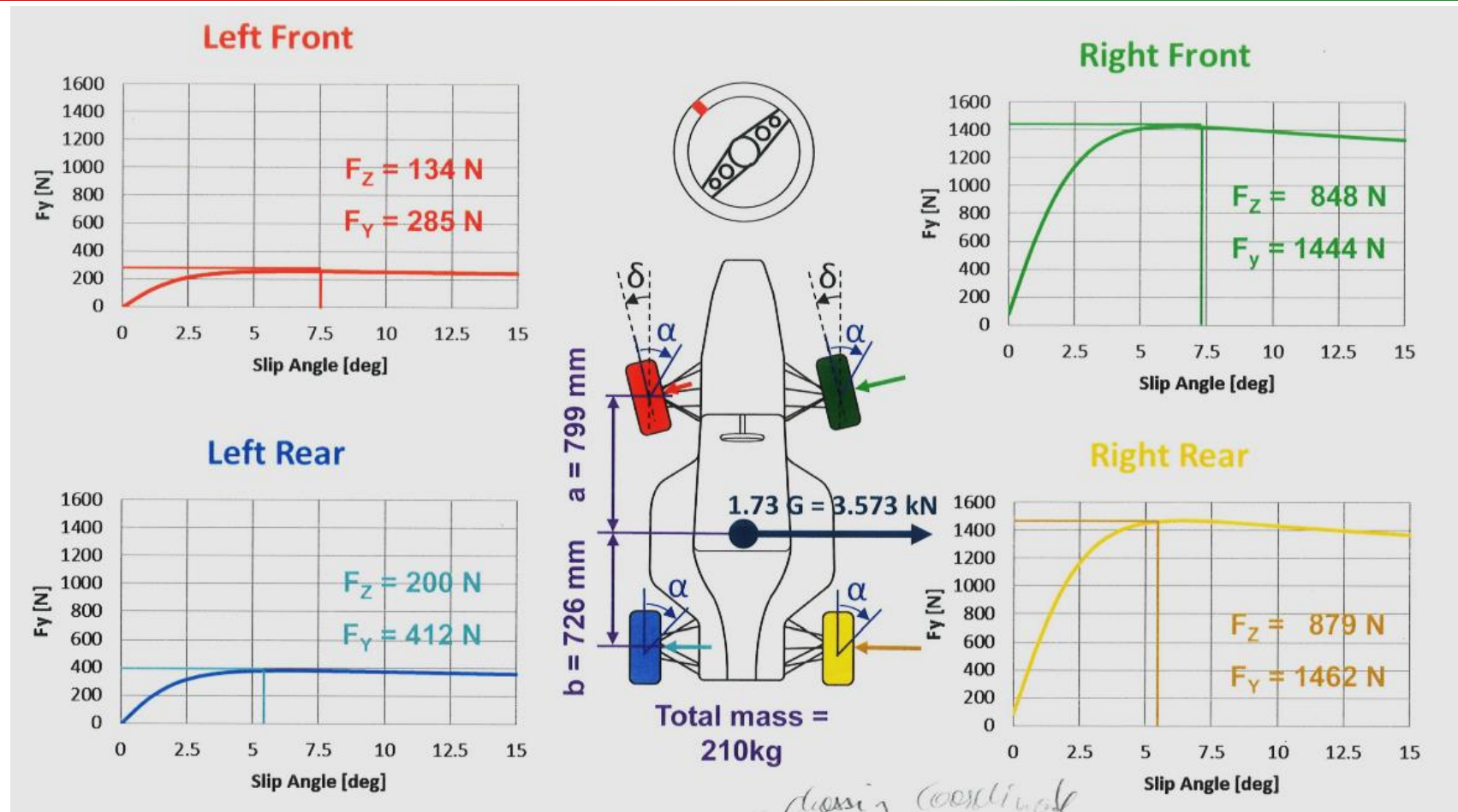
Full 2-Track-Model

สำหรับรถมีกวาง

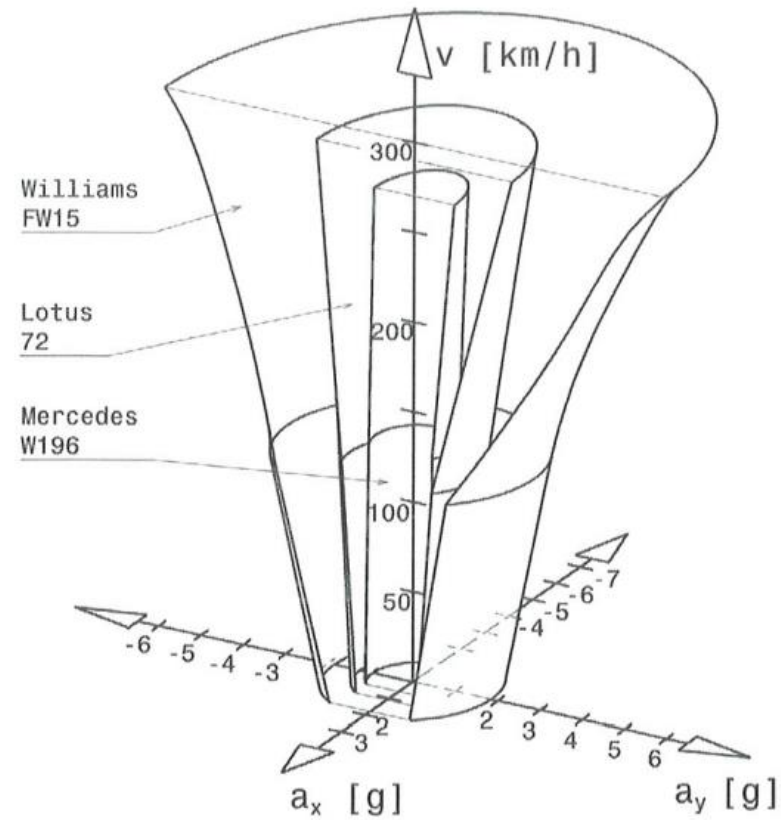
- $R \gg l_{WB}$:
- $\alpha_{FL} \cong \alpha_{FR}$
- $\alpha_{RL} \cong \alpha_{RR}$

อย่างอื่นพิจารณา

- จลนศาสตร์
- อัตราทดเกียร์



g-g-diagram Formula-1



(Trzesniowski: Rennwagenteknik 2008)



รุ่น 2Track กับรุ่นล้อเดี่ยว

2-Track Model

- WT เป็นที่ยอมรับว่า
- ความแม่นยำสูงขึ้น
- g-g- and yaw-moment-diagram
- ใช้เพื่อเพิ่มประสิทธิภาพส่วนประกอบ
 - อิทธิพลของน้ำหนักล้อของยาง
 - **camber**
 - การกระจายมวล
 - การปฏิบัติตาม, **ARB**, สปริงช่วงล่าง
 - จลนศาสตร์ช่วงล่าง
 - ...
- ต้องรู้จักการตั้งค่าพารามิเตอร์จำนวนมาก

รุ่นล้อเดี่ยว

- ไม่มี WT ไม่มีการพึ่งพน้ำหนักยาง
- ความแม่นยำต่ำกว่า
- **only g-g-diagram**
- ใช้เพื่อเพิ่มประสิทธิภาพเส้นทาง
- ส่งมอบยานพาหนะในอุดมคติ
- ผลลัพธ์ที่ดีในการหาขีดจำกัดความเร่ง

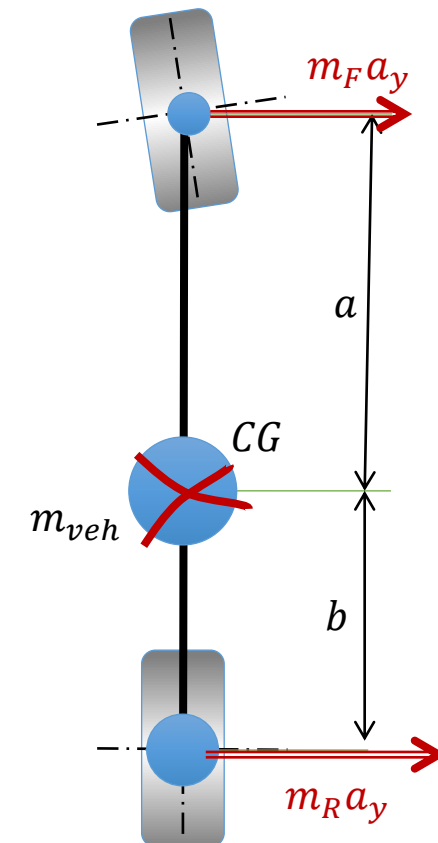
Simplified Model to obtain the g-g-diagram

- Mono-Cycle พร้อมโหลดล้อยากรุ่นจักรยาน.
 - แบ่งเป็นมวลเพลาน้ำและหลัง

$$m_F = \frac{m_{veh}b}{a+b}, m_R = \frac{m_{veh}a}{a+b}$$
 - หน้าโหลดเพลลา: $F_{zF} = \frac{1}{2}(m_F g + F_{lift,F})$
 - แรงด้านข้าง: $F_{yF} = \frac{1}{2}(m_F a_y)$
 - ... สมมติสภาวะคงตัว => $M_{yaw} = 0$
 - แรงตามยาว:

$$F_{xF} = \frac{1}{2}(m_{veh} a_x + F_{Drag}) \cdot k_{AWDF}$$

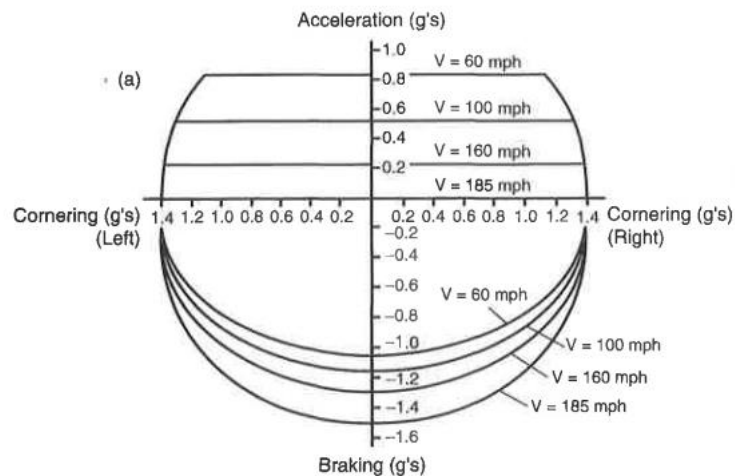
$$k_{AWDF} = \frac{M_{DriveF}}{M_{DriveF} + M_{DriveR}}$$
 - มุมเอียง $\gamma = 0$, มุมบังคับเลี้ยว $\delta \ll 1$
 - เช่นเดียวกับเพลาล้อหลัง หนึ่งเพลลาถึงขีดจำกัดก่อนหน้านี้



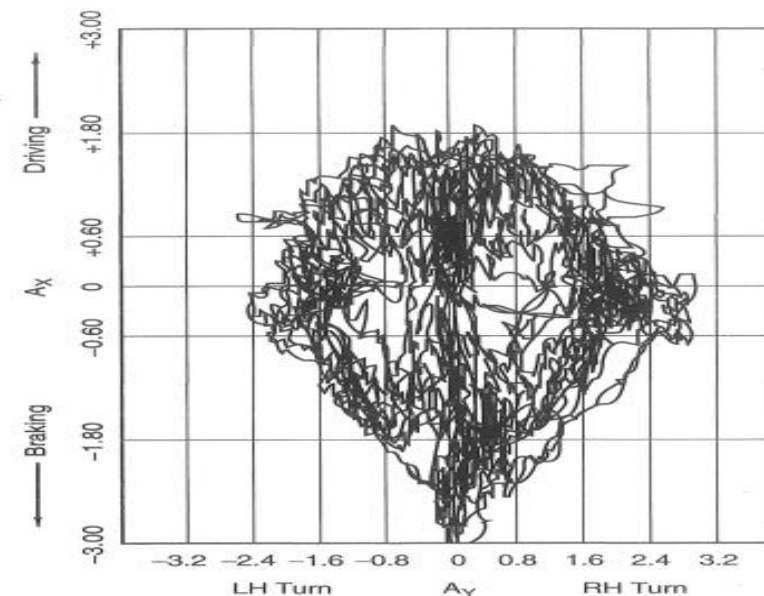
g-g-diagram: $a_x(a_x, v_x)$

ทฤษฎี = ศักยภาพ

วัด = ความกล้าหาญของผู้ขับขี่



[Milliken W., Milliken D.: Race Car Vehicle Dynamics, SAE 1995]

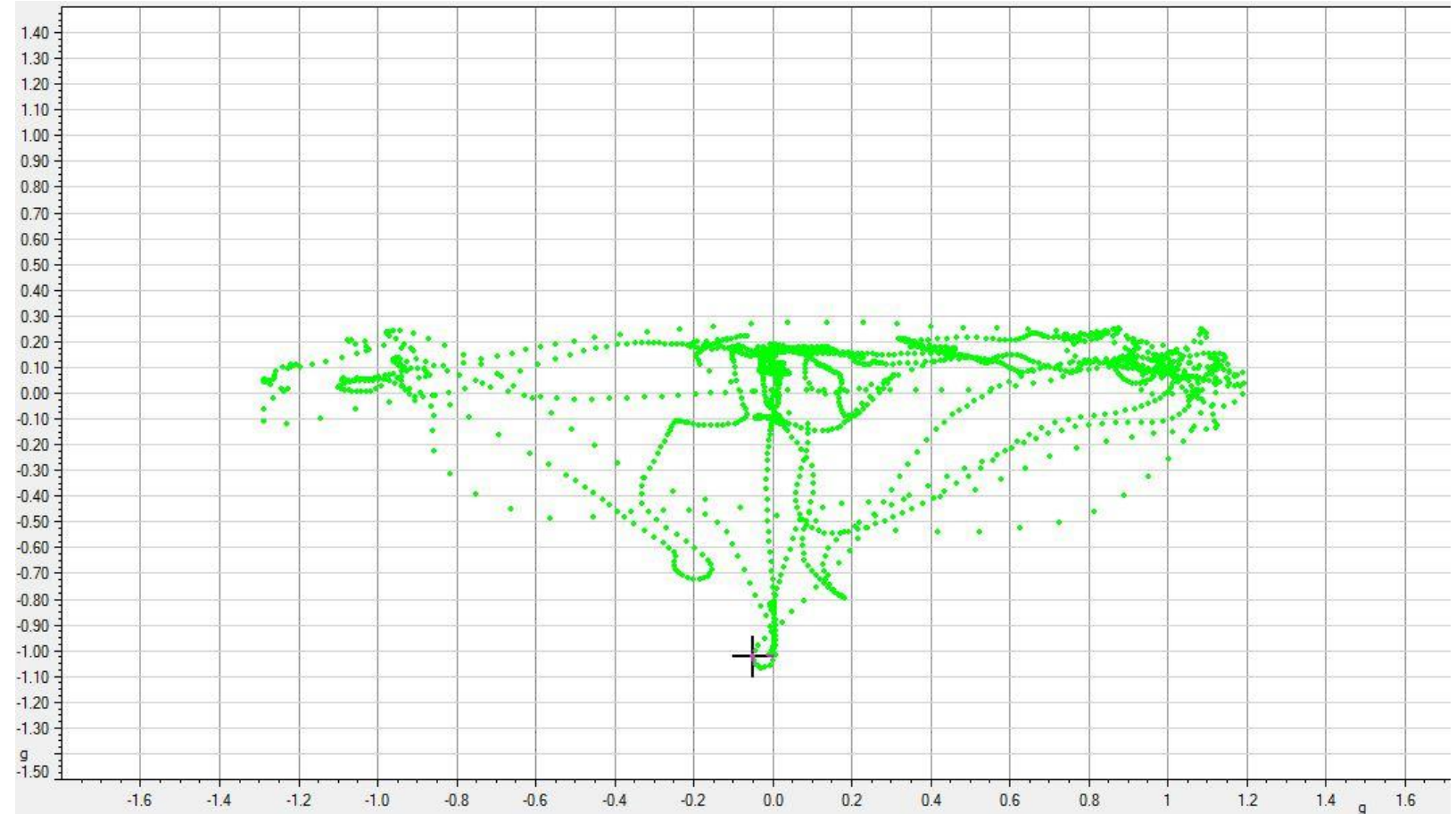


Practice on dry circuit.
(Reference personal communication
Peter Wright, Team Lotus.)

Figure 9.7 Adelaide, 1987, Senna.

Measured g-g-diagram

- How far does the driver use the limits?



passenger car

(<http://www.trailbrake.net/featured-articles/the-g-g-diagram>)

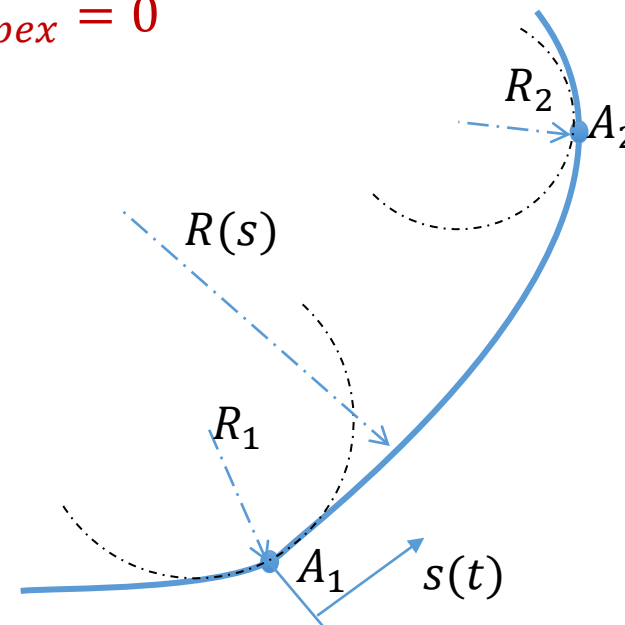


Co-funded by the
Erasmus+ Programme
of the European Union

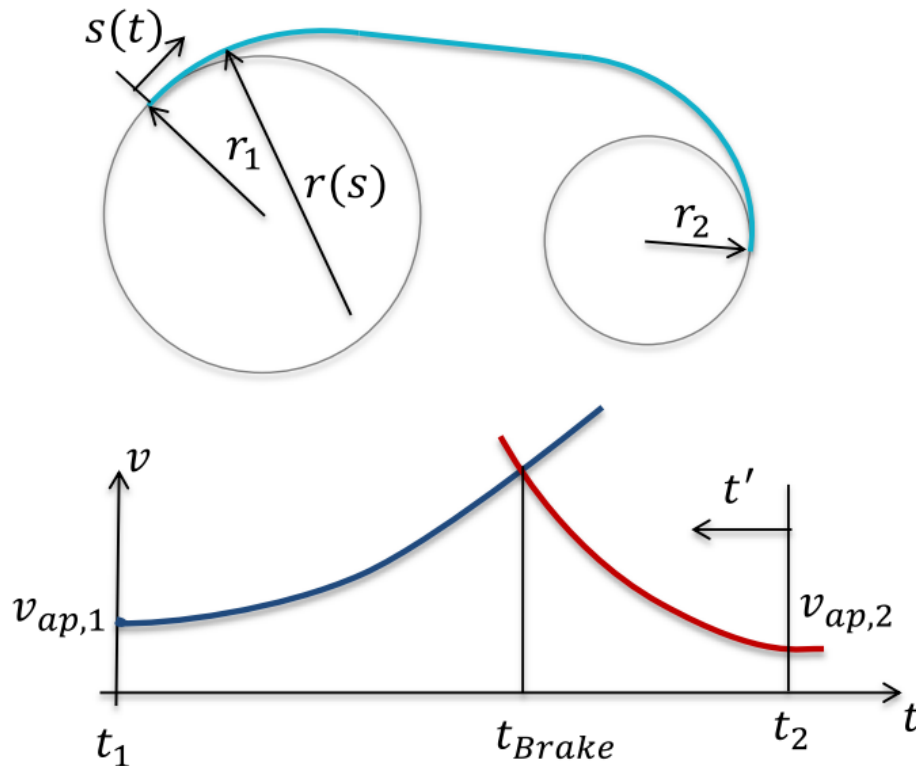
How can we pass the lap as fast as possible?

- G-G-diagram
- strait forward
 - radius $R = \infty$, curvature $\kappa = \frac{1}{R} = 0$
 - No lateral force F_y
 - Full longitudinal force F_x to accelerate/decelerate is possible
- รูปร่างของการเลี้ยวถูกกำหนดโดยความโค้ง/รัศมีตามความยาวของเส้นทาง $s(t)$
 - รัศมี $R(s)$ ลดลงอย่างต่อเนื่องจนถึงจุดยอด (Scheitelpunkt)

- ไม่มีแรงตามยาวในจุดยอดให้ความเร็วสูงสุด
 - Brake before apex
 - ศักยภาพของยางในส่วนปลายถูกใช้อย่างเต็มที่สำหรับการเร่งความเร็วด้านข้าง.
 - เร่งความเร็วหลังจาก apex
- $F_{x,Apex} = 0$



การจำลองเวลารอบด้วยเส้นทางที่รู้จัก



1. Speed in Apex

$$a_x = 0, a_y = \frac{v_{ap1,2}^2}{r_{1,2}} \rightarrow v_{ap1,2} = \sqrt{a_{y,max} r_{1,2}}$$

2. Calc. Acceleration

$$v(t) = \int_{t_1}^t a_x(s) dt^*, \text{ IC: } v_1 = v_{ap,1}$$

$$a_x(t) = f(a_y, v(t)) \dots \text{ g-g-diagram, } a_y = \frac{v(t)^2}{r(s)}$$

$$s = s(t) = \int_{t_1}^t v(t) dt^*$$

3. Calc. Deceleration (offline)

analog topic 2) but starting at Apex2 using negative time t'

4. The intersection is the braking point

5. Alternatively

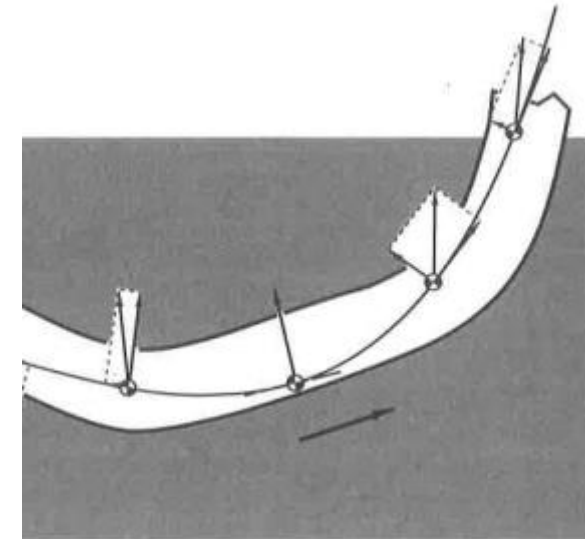
Calculate deceleration recursively and check the speed at apex 2.

การจำลองเวลาการเดินทาง 2

2. เร่งหลังสุด A_1

- แรงต้านข้างในปัจจุบันเนื่องจากความโค้งและความเร็ว
 - $F_y(\kappa, v)$
- ศักยภาพของยางในหน่วย x
 - $F_{x,Ty}(F_y, F_z(v))$, e.g. $\left(\frac{F_x}{F_x^M}\right)^2 + \left(\frac{F_y}{F_y^M}\right)^2 = 1$
- ศักยภาพของเครื่องยนต์
 - e.g. $F_{x,Eng} = \frac{P_{Eng} \cdot \eta}{v_u}$
- ลากปัจจุบัน
 - $F_{Drag}(v, s)$
- อัตราเร่งยาว
 - $F_{acc} = m_{tot} \cdot a_x = F_x - F_{Drag}$
- การรวม $a_x(t)$ เพื่อรับความเร็ว $v(t)$ และความยาวเส้นทาง $s(t)$

- เราแก้ ODE ลำดับที่ 1 เริ่มต้นที่จุดหยุดยอด.



[Milliken W., Milliken D.: Race Car Vehicle Dynamics, SAE 1995]

การจำลองเวลาการเดินทาง 3

3. เบรกไปยังจุดหยุดถัดไป A_2

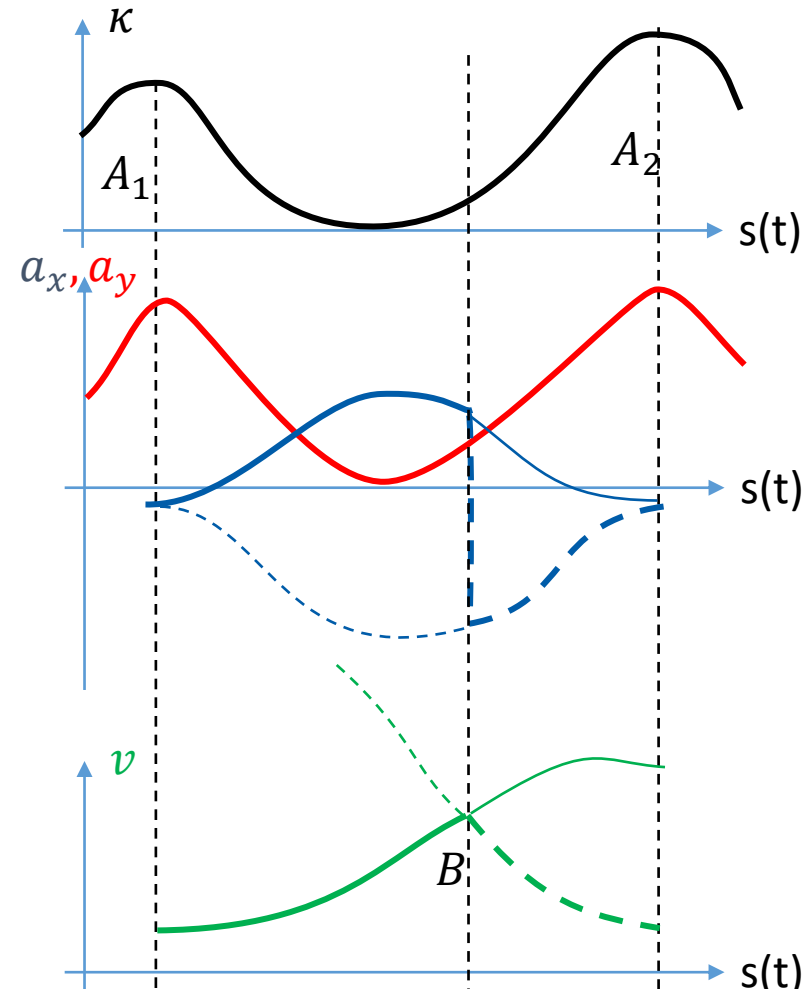
a) หาจุดเบรก B วนซ้ำ

- ลองจุดเบรก
- เบรกให้เร็วที่สุดเนื่องจากศักยภาพของยาง
- ตรวจสอบความเร็วในเอเพ็กซ์ถัดไปและแก้ไขจุดเบรก

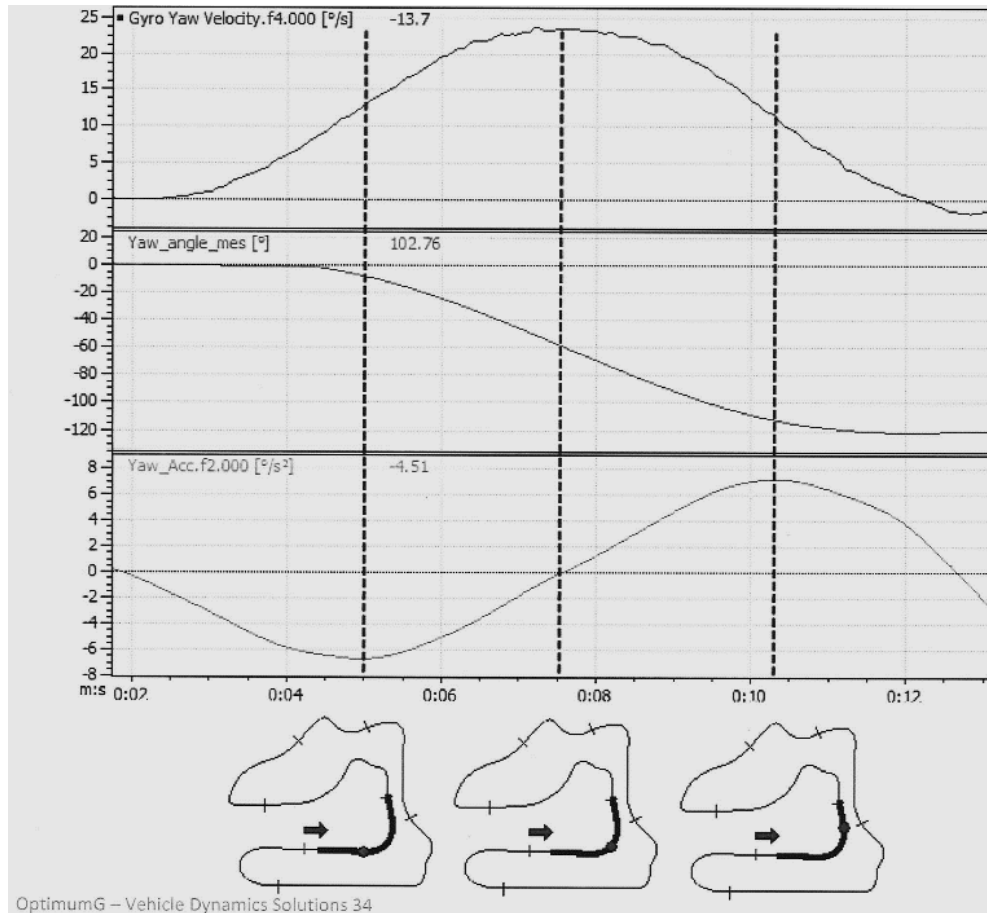
b) คำนวณความเร็วจากหยุดถัดไปโดยใช้เวลาติดลบ

- เร่งความเร็วในทิศทางถอยหลังโดยมีศักยภาพการเบรกเริ่มต้นที่จุดหยุดถัดไป.
- จุดเบรกเป็นจุดตัดของ $v(s(t))$ เส้นโค้ง

- เราเบรกในลักษณะนั้นจนไปถึงความเร็วสูงสุดที่เป็นไปได้ในเอเพ็กซ์ถัดไป.
- โมเดลจุดเดียวช่วยให้บรรลุเป้าหมาย ซึ่งสามารถเข้าถึงได้โดยการตั้งค่ารถที่เหมาะสมที่สุด



Turning Manoeuvre



(Claude Rouelle, Optimum G)

- เปลี่ยนทิศทางการความเร็ว
 - accelerate the body laterally

$$a_y = \frac{v^2}{R}$$

- Change Heading Angle ψ
 - yaw acceleration $\ddot{\psi} > 0$ before apex point
 - yaw deceleration $\ddot{\psi} < 0$ after apex point

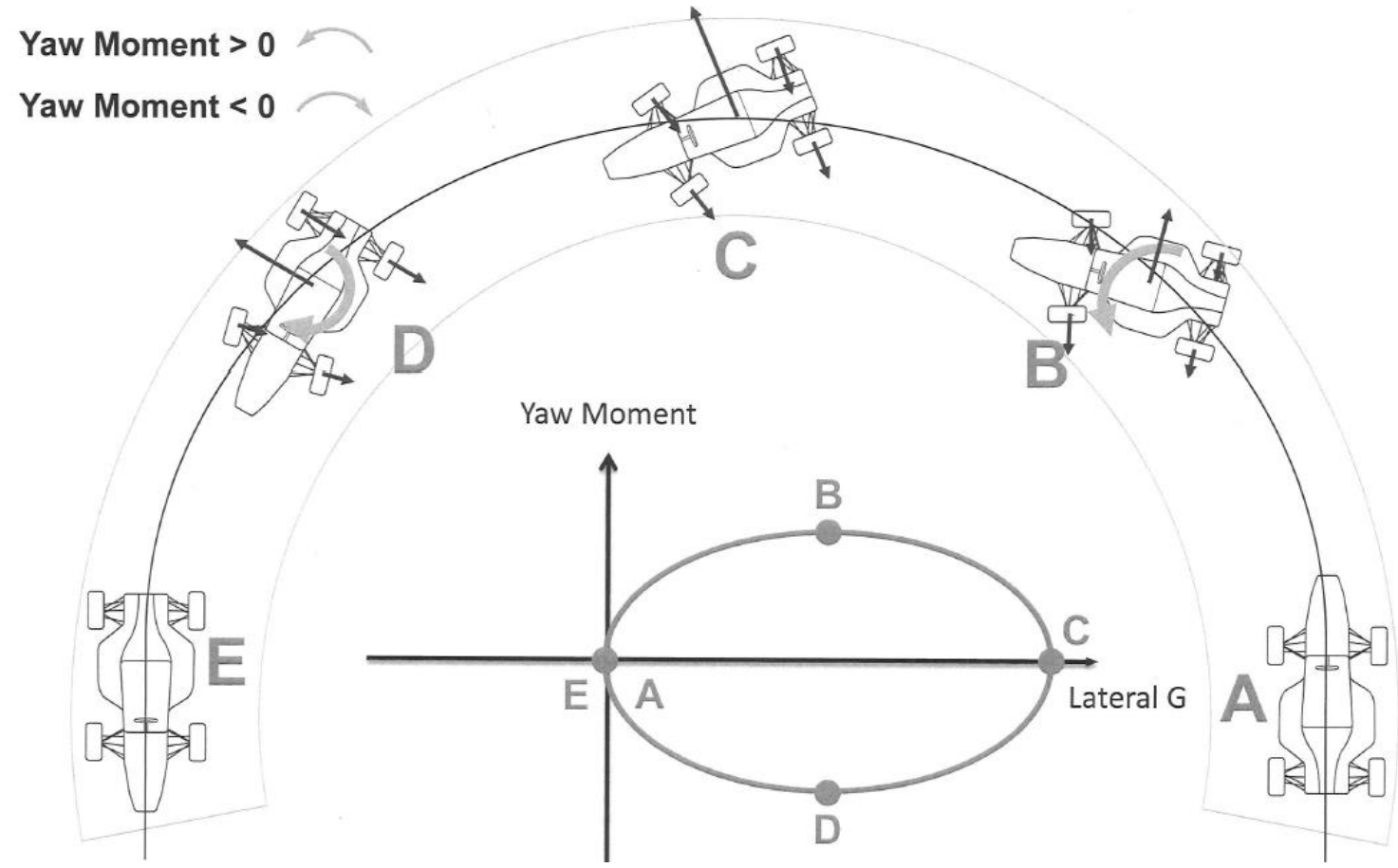
- Newton's Law

$$m_{veh} \cdot a_y = \sum F_{y,i}$$

$$I_{zz} \cdot \ddot{\Psi} = \sum M_{z,i}$$

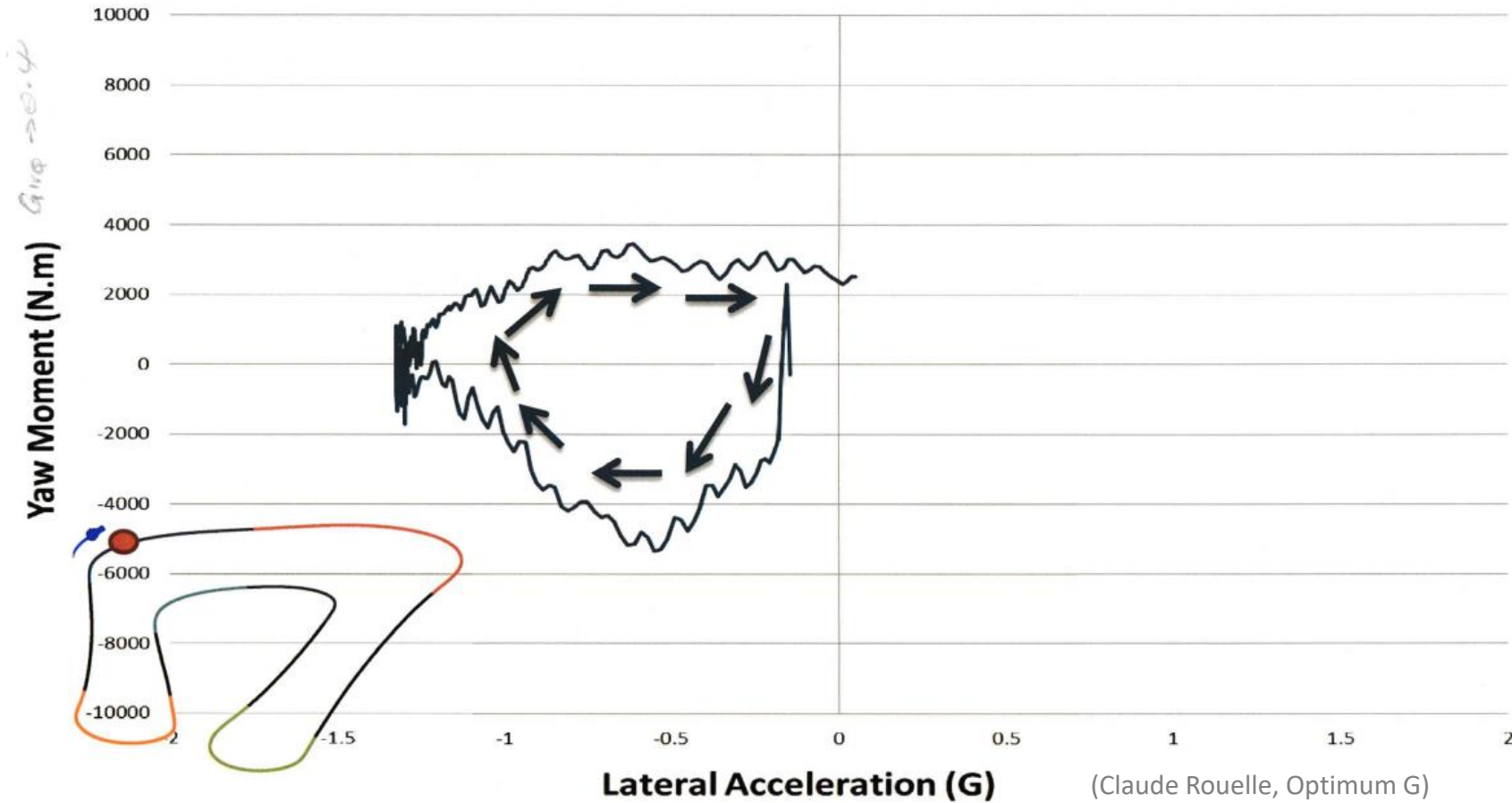
เราต้องการแรงและแรงบิดในการเลี้ยว!

โมเมนต์หันเหและการเร่งด้านข้าง



(Claude Rouelle, Optimum G)

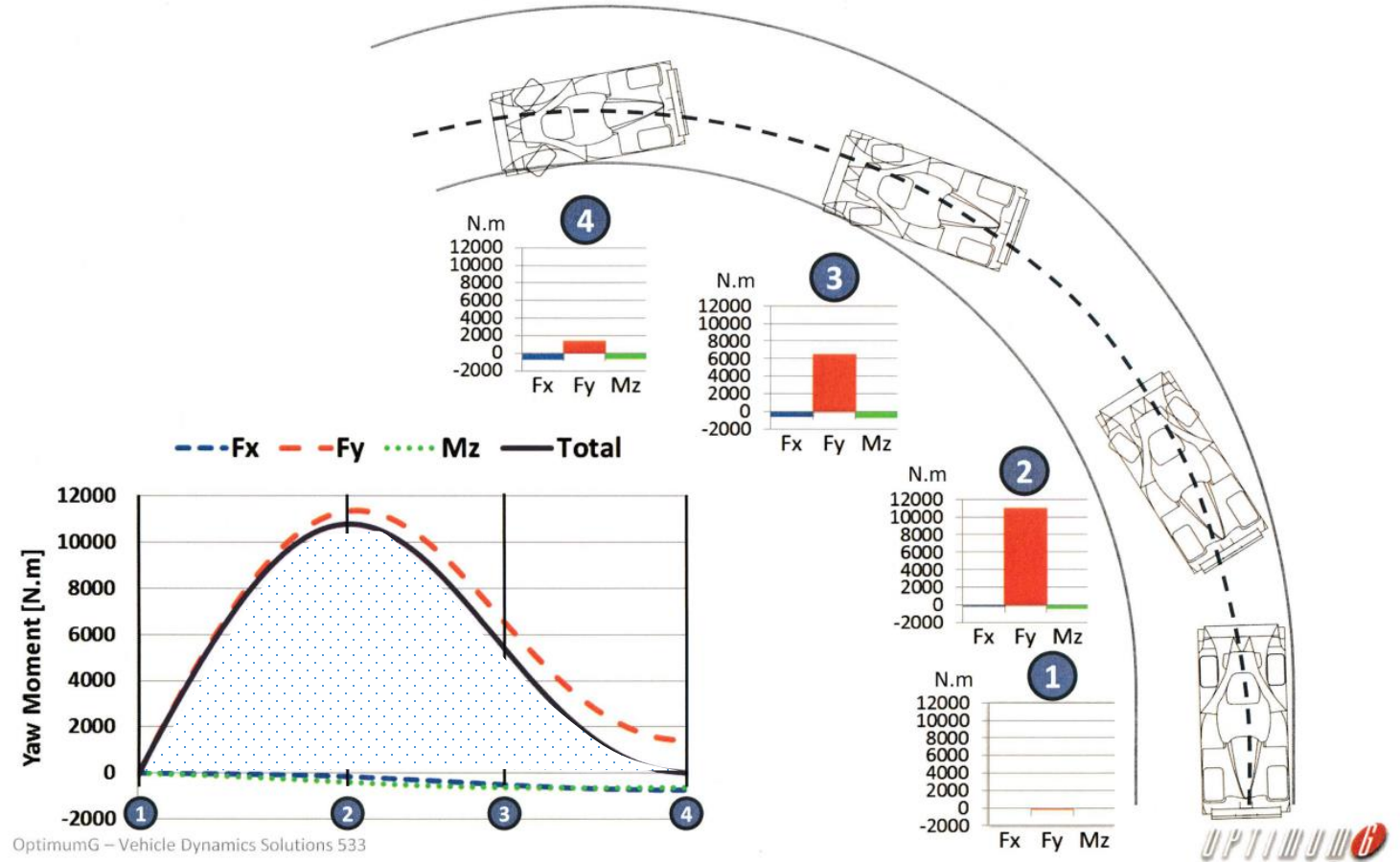
โมเมนต์หันเหกับการเร่งความเร็วด้านข้าง



หันเหขณะเข้ามุม

$$I_{zz} \frac{d\dot{\Psi}}{dt} = M_z$$

$$E_{kin,rot} = I_{zz} \cdot \frac{\dot{\Psi}^2}{2} = \int M_z dt$$



รูปร่างส่งกำลังในระบบพิกัดยาง

- รูปร่างส่งมอบสำหรับ
 - การเลื่อนตามยาว,
 - การเลื่อนด้านข้าง
- กำลังยาง $F_x \cdot F_y$
 - ใช้ในยาง CS
- แรงบิด
 - แรงบิดในการจัดตำแหน่งตัวเอง M_z เนื่องจากเส้นทางและการเสียรูป
 - แรงบิดคว่ำ M_x เนื่องจากการเสียรูปและมุมเอียง
- แรงบิดขณะขับ
 - $M_y = r_e \cdot F_y$

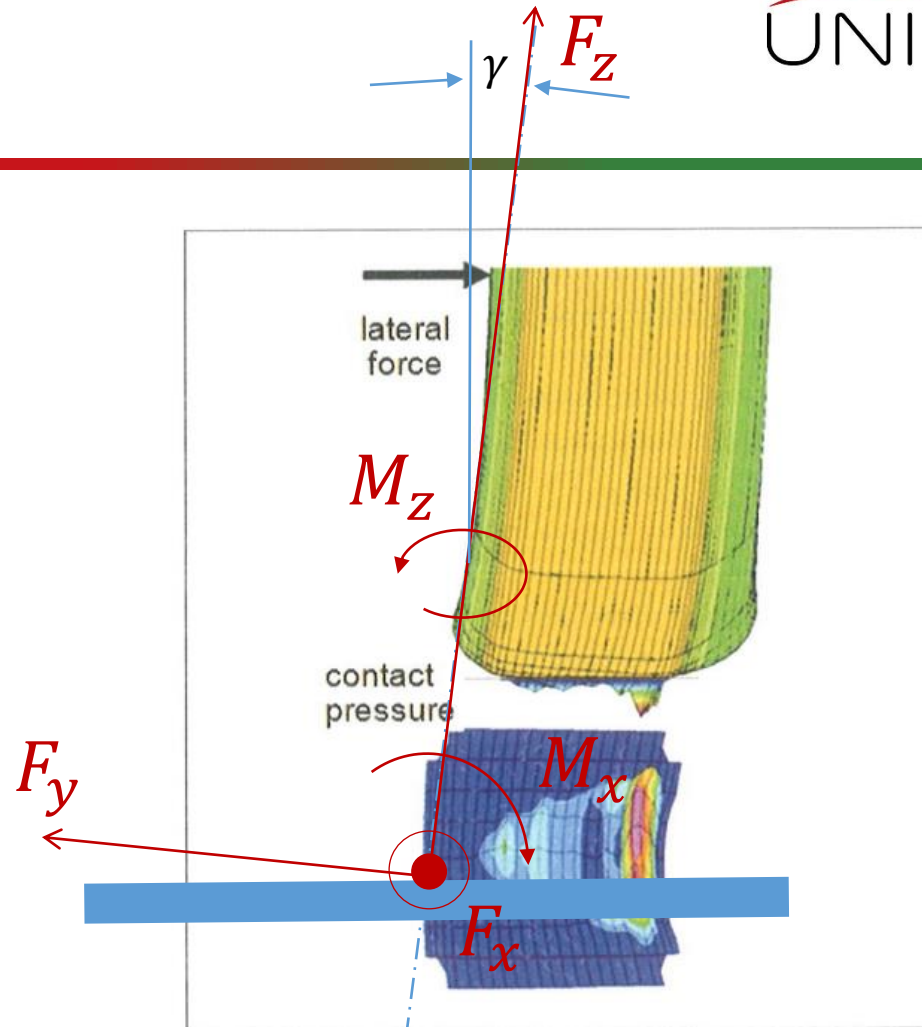
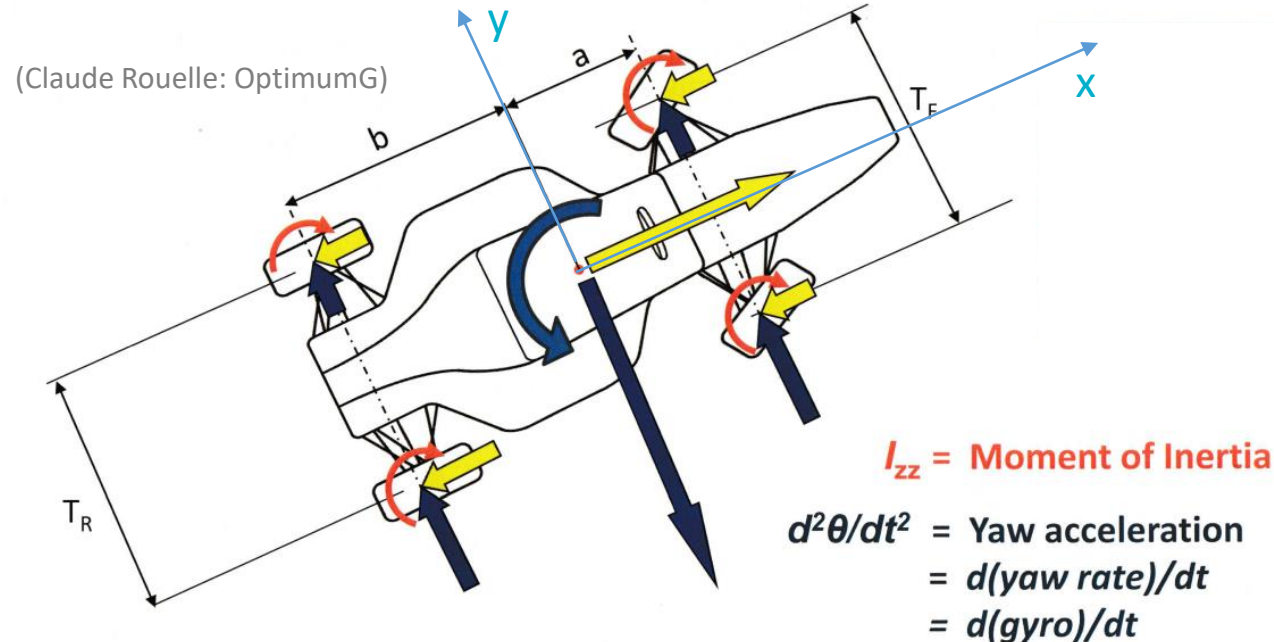


Fig. 3-433: FEM model and calculated contact pressure for a steady-state rolling tire with sideslip

แรงที่ใช้กับตัวรถ



Turn

$$m_{veh} \cdot a_y = F_{lat}$$

$$I_{zz} \cdot \ddot{\Psi} = M_{yaw}$$

Milliken-Moments-Diagram:

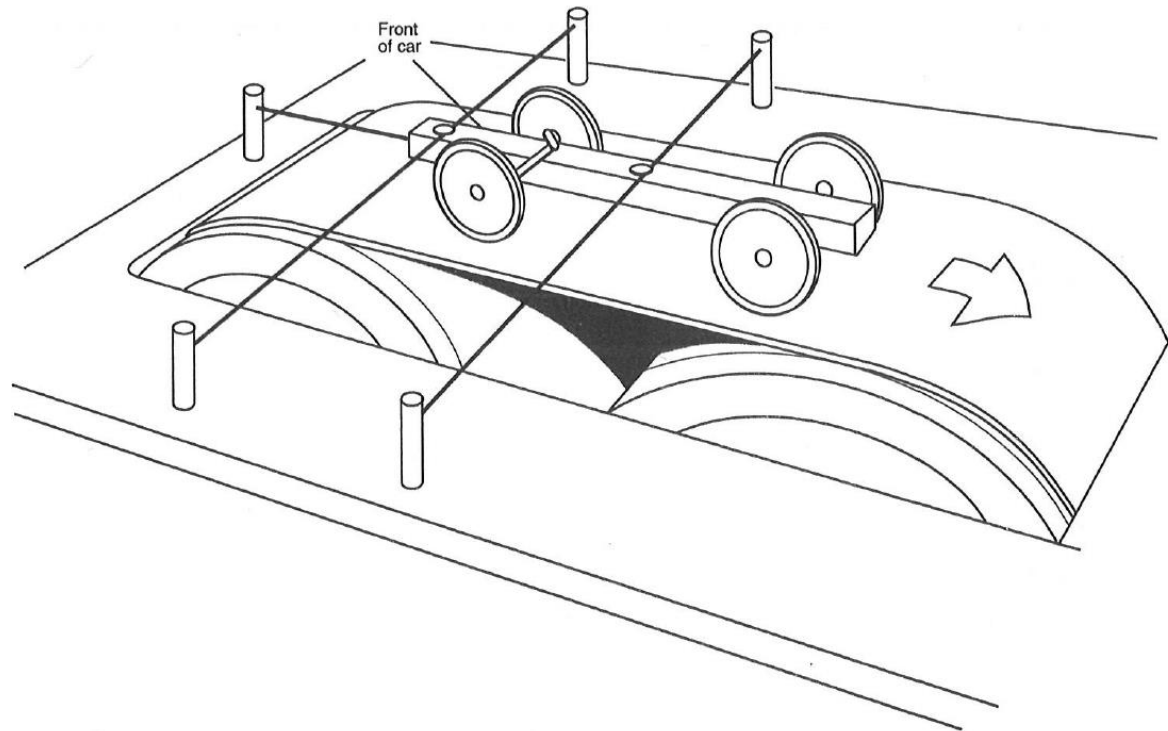
- Rolling $m_{veh} \cdot a_x = 0$
- for given β and δ we get side slip angles and tyre forces
- resultant forces F_{lat}, M_{yaw}
- diagram $M_{yaw} vs. a_y$

$$F_{lat} = (F_{yFL} \cos \delta_L + F_{yFR} \cos \delta_R) + (F_{yRL} + F_{yRR}) + [+F_{xFL} \sin(\delta_L) + F_{xFR} \sin(\delta_R)]$$

$$M_{yaw} = (F_{yFL} \cos \delta_L + F_{yFR} \cos \delta_R)a - (F_{yRL} + F_{yRR})b + \sum M_{z,i} + [-F_{xFL} \sin(\delta_L) + F_{xFR} \sin(\delta_R) - F_{xRL} + F_{xRR}]$$

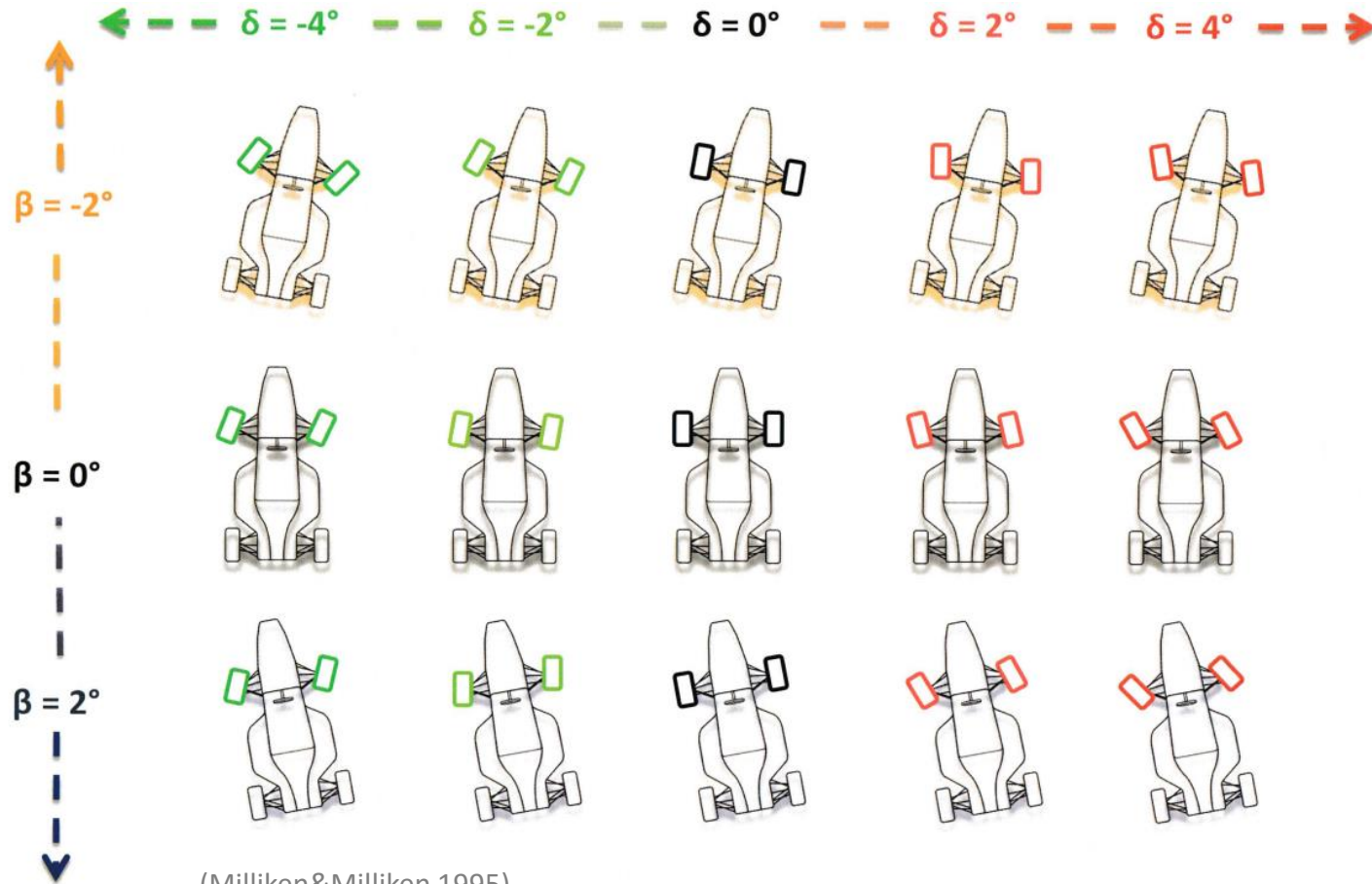
Milliken Moments Diagram = Yaw Moment vs. a_y Diagram

เราเปลี่ยนมุมบังคับเลี้ยว δ และมุมสลิปของร่างกาย β และวัด F_y และ M_z .



(Milliken&Milliken 1995)

แรงต้านข้างและโมเมนต์หันเห กับ β, δ

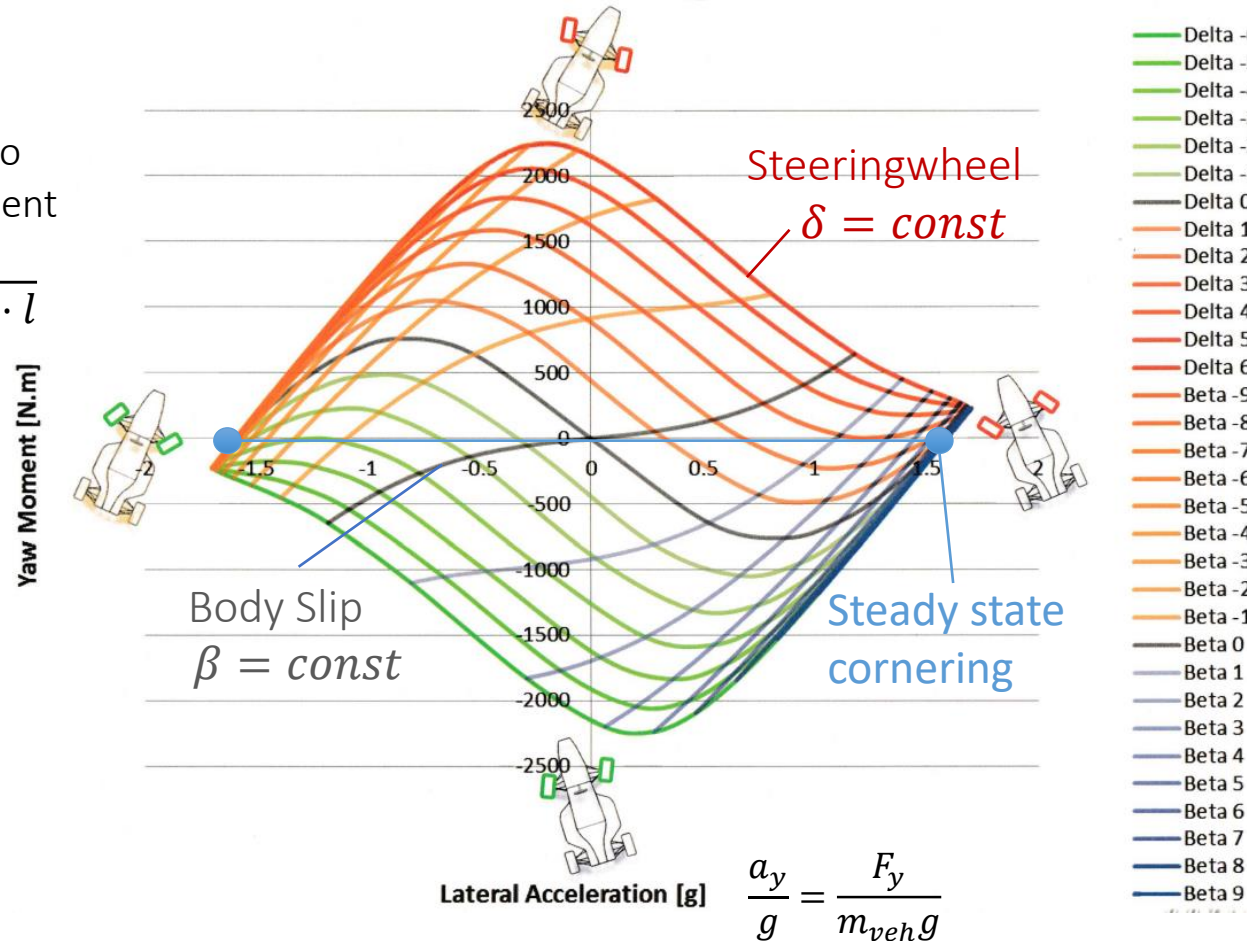


(Milliken&Milliken 1995)

YMD

or we can also scale the moment

$$C_n = \frac{M_z}{m_{veh}g \cdot l}$$



SAE-Coordinate are used here!
(Claude Rouelle: OptimumG)



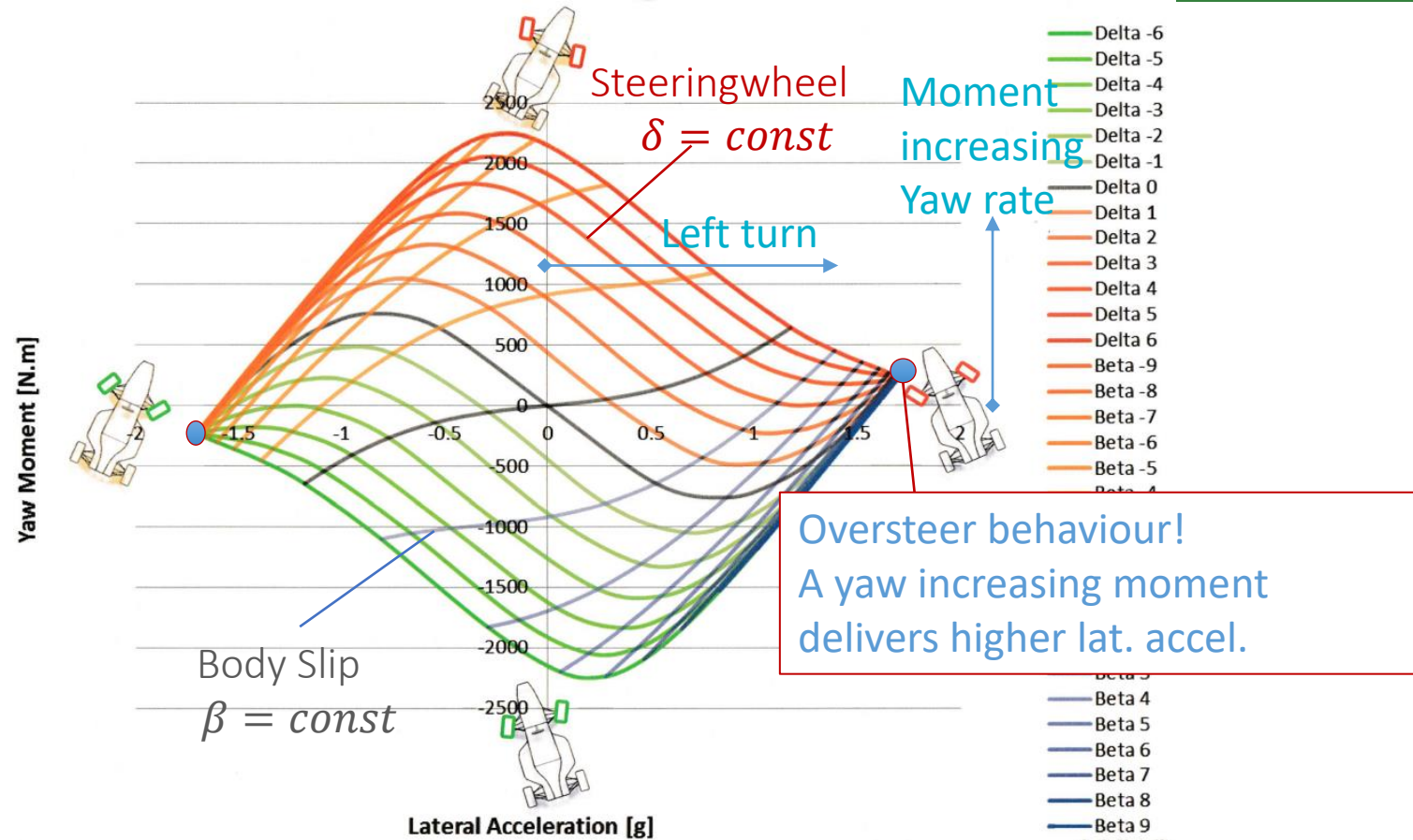
การวิเคราะห์ Force-Moment-Analysis, การวิเคราะห์ Yaw-Moment, Milliken Moments Diagram

- ... เป็นการวิเคราะห์กำลังคงที่, ของรถที่ไม่สมดุล, เราละเลย
 - ไดนามิกของยาง - ยางต้องการความยาวของการพิมพ์ L เพื่อสร้างแรง
 - อิทธิพลของแอมเปอร์ในการถ่ายเทน้ำหนัก

ให้คำตอบ

- ความสามารถในการควบคุม $\frac{dM_z}{d\delta} > 0$
 - การเพิ่มขึ้นของ δ ทำให้เกิดการเลี้ยวที่เข้มงวดขึ้นหรือไม่?
 - การเพิ่มขึ้นของ δ เพิ่มโมเมนต์หันเห (=อัตราเร่งเพื่อหันเหมากขึ้น)
- ความเสถียร $\frac{dM_z}{d\beta} < 0$
 - มีแรงบิดสำรองหรือไม่, $M_z < 0$, ถ้า β หลุดจากสมดุล?
 - เพิ่มขึ้น β ลดลง Yaw Moment (= การเร่งการหันหลังลดลง β)

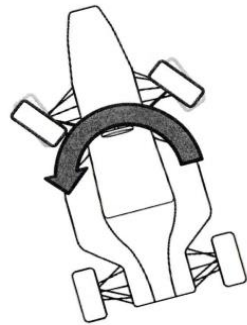
YMD – Understeer/oversteer



ความเสถียรและการควบคุม: ความโน้มเอียงใน YMD

Control

$\beta = 4 \text{ deg} \ \& \ \delta = 6 \text{ deg}$
 To
 $\beta = 4 \text{ deg} \ \& \ \delta = 7 \text{ deg}$



$$\frac{d \text{ Yaw Moment}}{d \text{ Steering Angle}}$$

Does an increase of δ increase yaw rate?

Stability

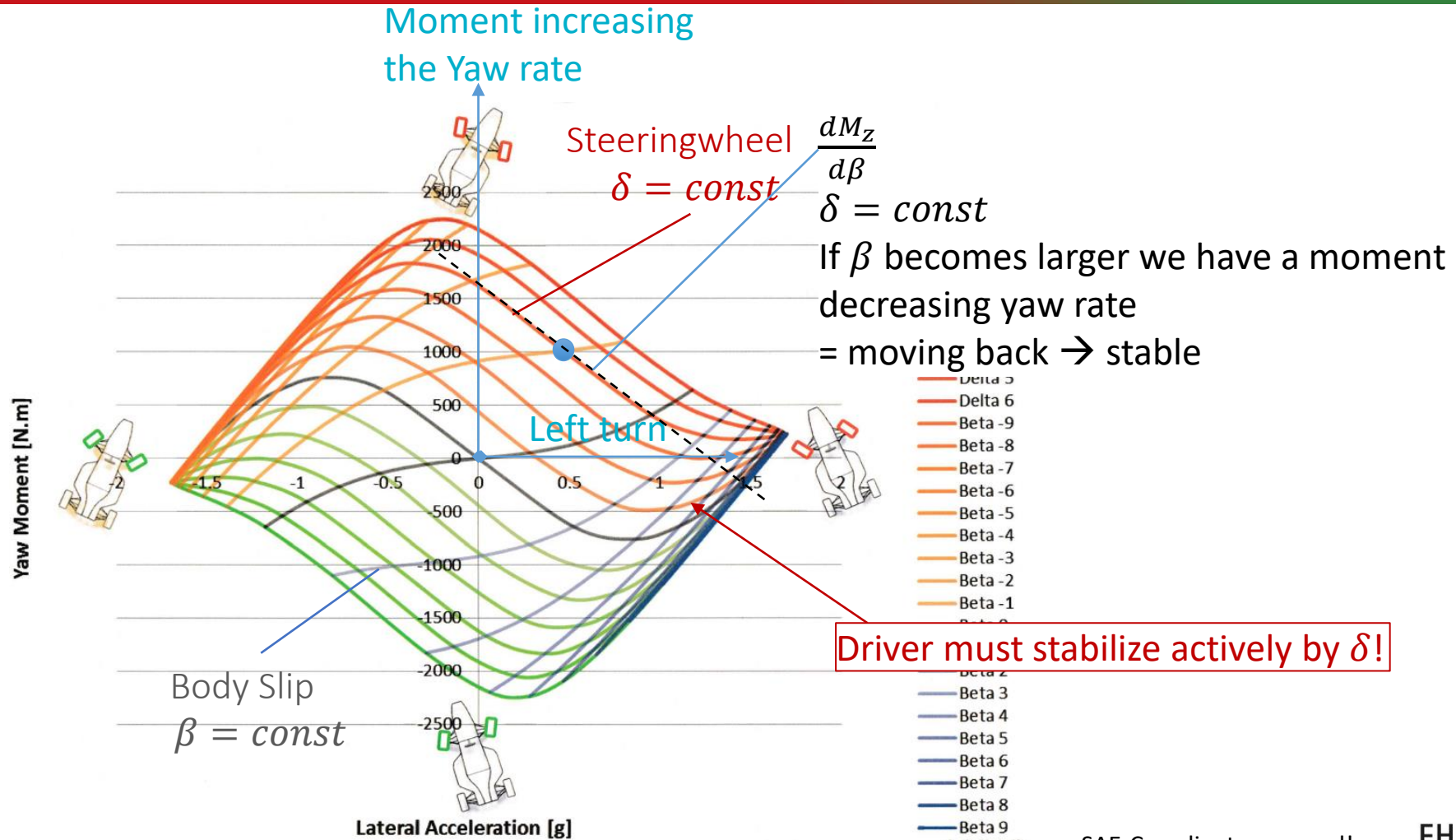
$\beta = 4 \text{ deg} \ \& \ \delta = 6 \text{ deg}$
 To
 $\beta = 5 \text{ deg} \ \& \ \delta = 6 \text{ deg}$



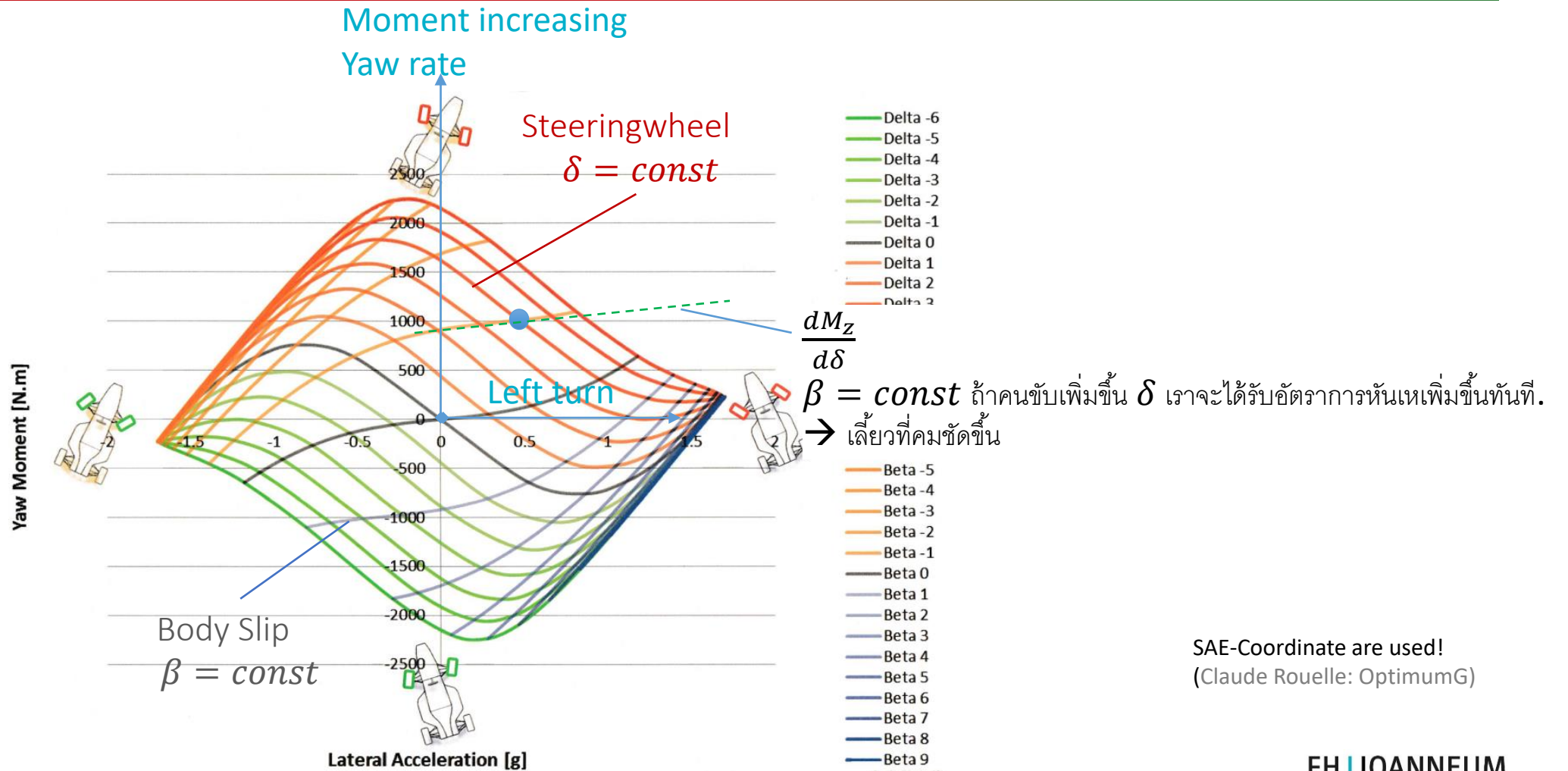
$$\frac{d \text{ Yaw Moment}}{d \text{ CG Slip Angle}}$$

Does an increase of β produce a moment moving back?

YMD – ความเสถียร

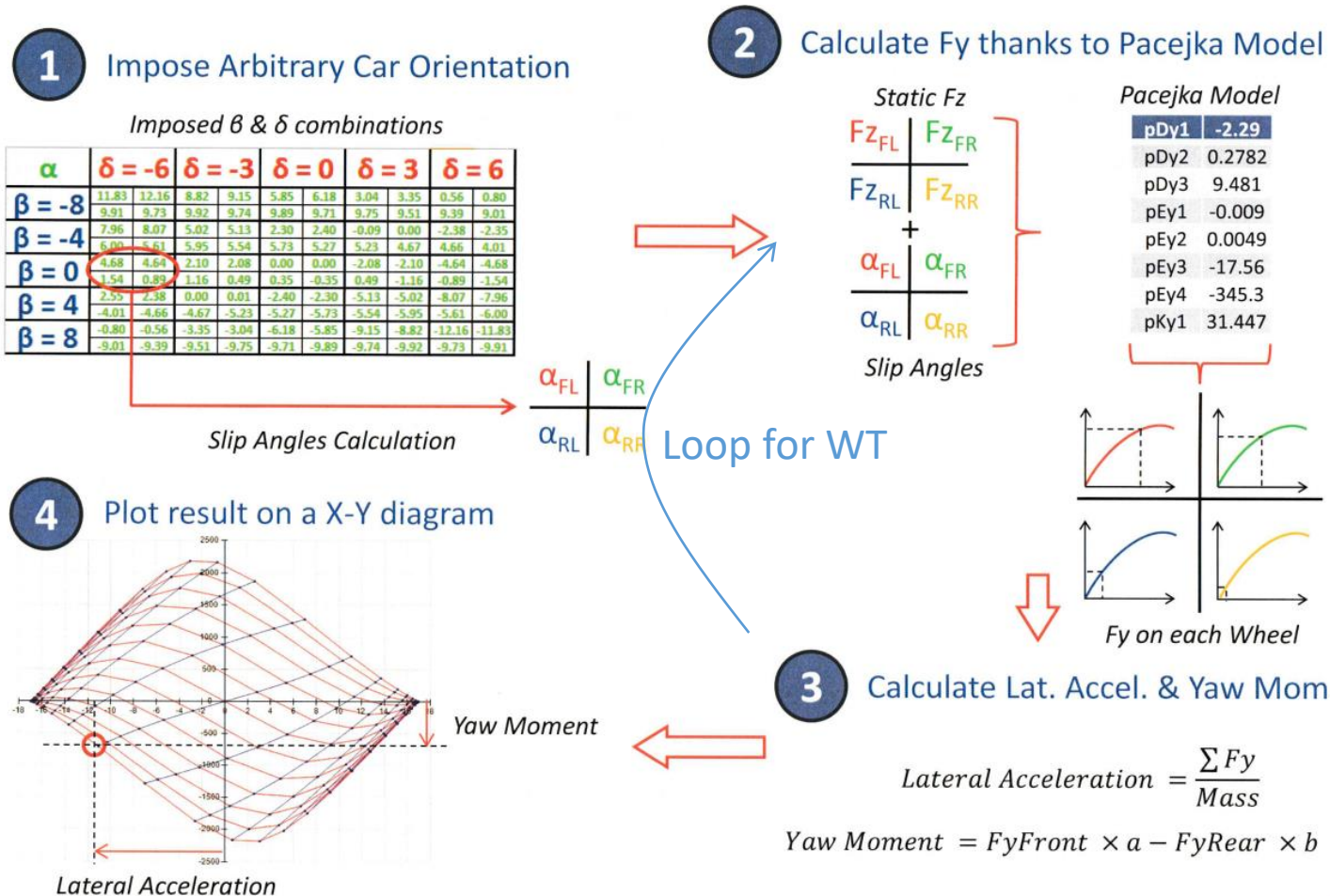


YMD – การควบคุม (ความสามารถ)

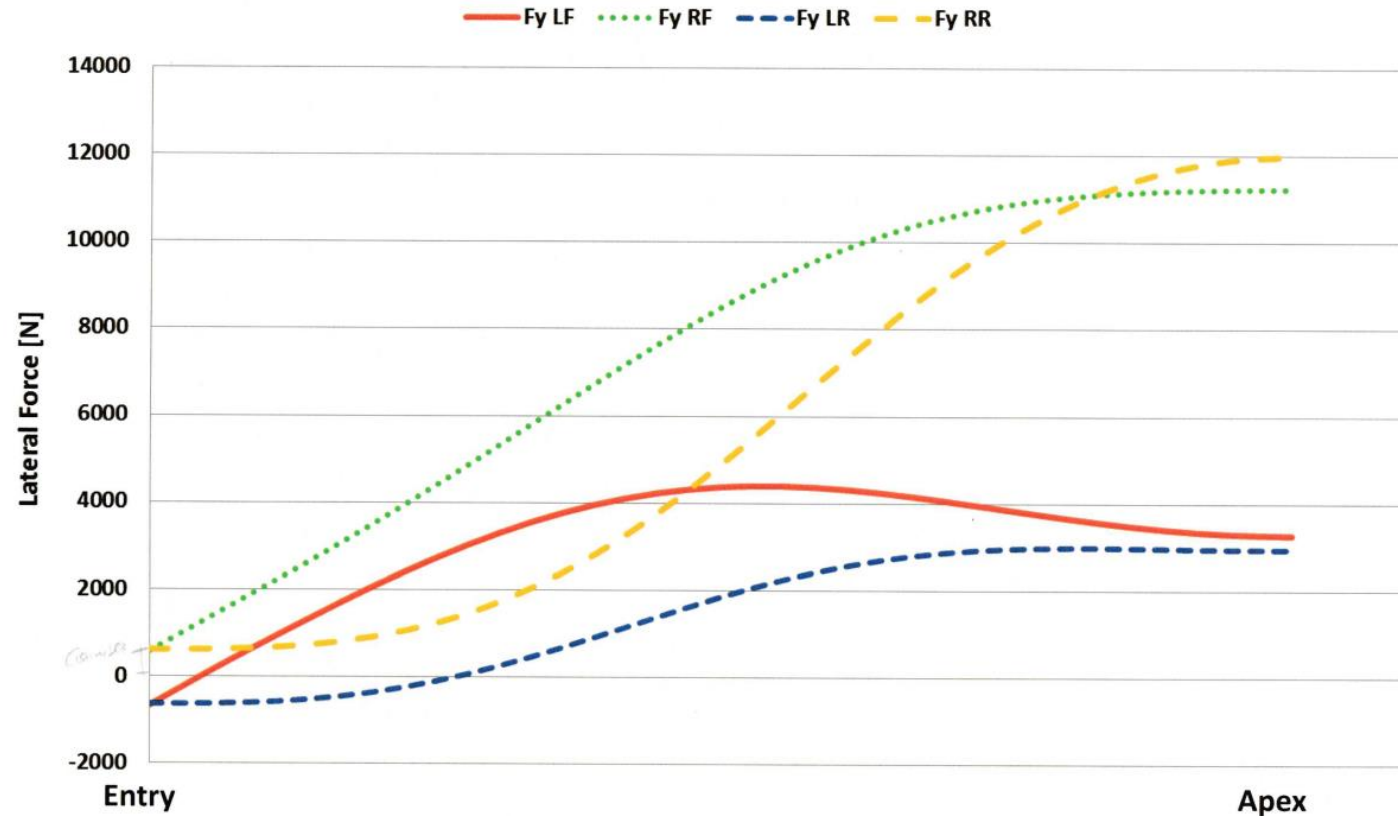


SAE-Coordinate are used!
(Claude Rouelle: OptimumG)

ฟังก์ชัน YMD



Lateral Forces



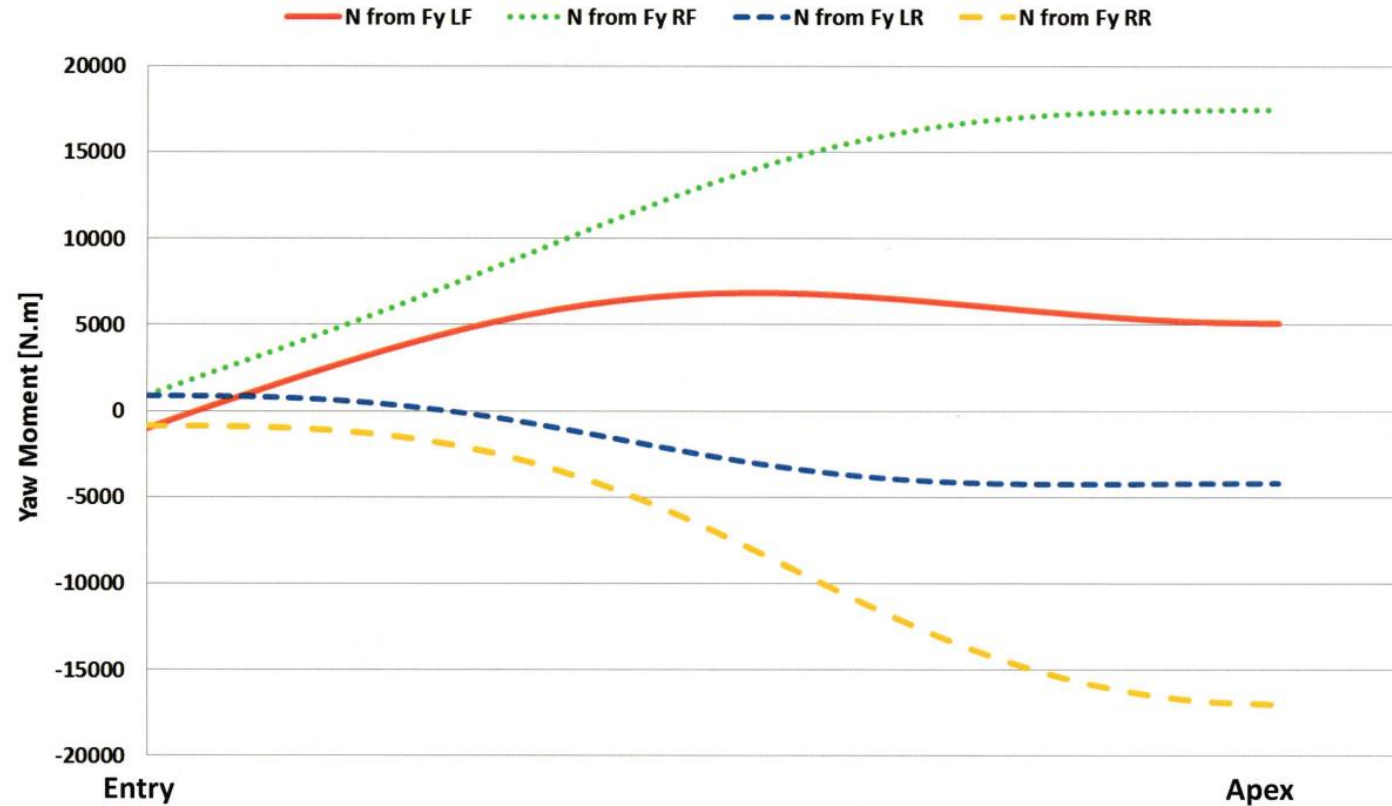
Note : Lateral Force from corner entry to apex (0N.m) – Left Turn.

OptimumG – Vehicle Dynamics Solutions 526



Co-funded by the
Erasmus+ Programme
of the European Union

Yaw Moment from Lateral Forces



Note : Dynamic yaw moment from corner entry to apex (0N.m) – Left Turn.

การอภิปราย



- ได้โปรดตั้งกลุ่ม 4-5 กลุ่ม เสนอให้ปะปนกันระหว่างมหาวิทยาลัย.
- สนทนาคำถามต่อไปนี้:
 - แนวทางการสอนอื่น ๆ ในหัวข้อที่แนะนำ
 - หัวข้อที่ฉันทลาดโดยทั่วไป (เทียบกับแผนงานภาพรวม)
 - หัวข้อที่ยกเลิกเพราะไม่คิดว่าสำคัญ.
- การนำเสนอและอภิปรายผลลัพธ์ของคุณ.



- Milliken W.F, Milliken D.: Race Car Vehicle Dynamcs,SAE Int., 1995
- Rill G.: Road Vehicle Dynamics – Fundamentals and Modelling; CRC Press Taylor Francis Group
- Heißing/Ersoy (Eds.): Chassis Handbook, 1st Ed., Vieweg+Teubner, 2011.
- Mitschke/Wallentowitz: Dynamik der Kraftfahrzeuge, 4. Auflage, Springer
- Rouelle C.: Advanced Vehicle Dynamics Applied o Race Car Design & Development, Optimum G Seminar, Denver 2016, www.optimumg.com



Engineering Knowledge Transfer Units to Increase Student's Employability and Regional Development



<https://www.facebook.com/unitederasmus/>



Co-funded by the
Erasmus+ Programme
of the European Union

This project has been funded with support from the European Commission. This publication reflects the views only of the author, and the Commission cannot be held responsible for any use which may be made of the information contained therein.598710-EPP-1-2018-1-AT-EPPKA2-CBHE-JP